

**МЕТОДИКА
РАЗРАБОТКИ РЕГИОНАЛЬНЫХ
КАРТ
НОРМАТИВНЫХ РАЙОНОВ
ПО ГОЛОЛЕДУ,
ИСПОЛЬЗУЕМЫХ
ПРИ ПРОЕКТИРОВАНИИ
И ЭКСПЛУАТАЦИИ ЛИНИЙ
ЭЛЕКТРОПЕРЕДАЧИ**



ОРГЭС

МОСКВА 1276

МЕТОДИКА
РАЗРАБОТКИ РЕГИОНАЛЬНЫХ
КАРТ
НОРМАТИВНЫХ РАЙОНОВ
ПО ГОЛОЛЕДУ,
ИСПОЛЬЗУЕМЫХ
ПРИ ПРОЕКТИРОВАНИИ
И ЭКСПЛУАТАЦИИ ЛИНИЙ
ЭЛЕКТРОПЕРЕДАЧИ

ПРОИЗВОДСТВЕННАЯ СЛУЖБА ОБОЩЕНИЯ И РАСПРОСТРАНЕНИЯ
ПЕРЕДОВОГО ОПЫТА ЭКСПЛУАТАЦИИ ЭНЕРГОСИСТЕМ И ИНФОРМАЦИИ

МОСКВА

1976

Настоящая Методика разработана Всесоюзным научно-исследовательским институтом электроэнергетики (ВНИИЭ) и предназначается для определения гололедных нагрузок на провода ВЛ и составления региональных карт.

В Методике содержатся указания по обработке данных наблюдений на метеостанциях, линиях электропередачи и связи, а также по учету влияния метеорологических условий и физико-географических особенностей местности. Кроме того, приведены номограммы для определения эквивалентной толщины стенки гололеда.

В разработке Методики участвовали доктор техн. наук В.В.Бургдорф, канд. техн. наук Е.П.Никифоров, инженеры Т.А.Бассарская, Т.Н.Голикова, Л.Е.Ломилина, Г.Д.Топоркова.

О Г Л А В Л Е Н И Е

1. Основные данные, необходимые для построения региональных карт	4
2. Обработка данных наблюдений за гололедно-заморозевыми отложениями.....	4
3. Учет влияния рельефа местности при построении региональной карты.....	8
4. Построение региональной карты нормативных районов по гололеду	9
5. Пример обработки материалов и построения региональной карты нормативных районов по гололеду для территории, на которой расположена одна из энергосистем	10
5.1. Основные данные, характеризующие территорию, на которой расположена энергосистема	10
5.2. Обработка инструментальных наблюдений метеостанции А за гололедно-заморозевыми отложениями	11
5.3. Определение закономерности распределения гололедно-заморозевых отложений на изучаемой территории	13
5.4. Построение региональной карты нормативных районов по гололеду	14
П р и л о ж е н и е 1. Сведения о гололедообразовании на линиях электропередачи и связи	15
П р и л о ж е н и е 2. Номограммы для определения эквивалентной толщины стенки гололедно-заморозевого отложения на гололедном станке метеостанции и на линиях электропередачи и связи	16

РЕШЕНИЕ № 8-8/14
ГЛАВТЕХУПРАВЛЕНИЯ И ГЛАВНИИПРОЕКТА
МИНЭНЕРГО СССР

г. Москва

22 мая 1972 г.

Главтехуправление и Главниипроект рассмотрели "Методику разработки региональных карт нормативных районов по гололеду, используемых при проектировании и эксплуатации линий электропередач", выполненную ВНИИЭ.

Главтехуправление и Главниипроект утверждают указанную Методику и рекомендуют ее для практического применения при разработке характеристик и региональных карт нормативных районов по гололеду, используемых при проектировании и эксплуатации линий электропередач.

Заместитель начальника
Главтехуправления

Д. ШАМАРАКОВ

Главный инженер
Главниипроекта

Е. МИНАКОВ

1. ОСНОВНЫЕ ДАННЫЕ, НЕОБХОДИМЫЕ ДЛЯ ПОСТРОЕНИЯ РЕГИОНАЛЬНЫХ КАРТ

Для построения региональных карт необходимы сведения о гололедных нагрузках, характеристики рельефа местности и синоптических процессов, метеорологические данные.

В качестве исходных данных о гололедных нагрузках используются масса и размеры гололедно-изморозевых отложений¹ на гололедных станках метеостанций и на проводах линий электропередачи и связи.

Характеристика физико-географических условий составляется по литературным источникам, картам и результатам обследования (выявляются преобладающие формы, относительные превышения, степень экранирования отдельных

участков территории, ее залесенность, влияние рек и водных бассейнов).

Характеристика синоптических процессов составляется по материалам местных управлений Гидрометслужбы СССР.

Характеристика метеорологических условий — комплекс погодных характеристик, сопутствующих процессу гололедообразования (температурный и ветровой режимы, влажность воздуха, туман, морось, переокладенный дождь, мокрый снег), сведений о продолжительности и повторяемости явления — составляется по климатологическим справочникам.

2. ОБРАБОТКА ДАННЫХ НАБЛЮДЕНИЙ ЗА ГОЛОЛЕДНО-ИЗМОРОЗЕВЫМИ ОТЛОЖЕНИЯМИ

2.1. Согласно ПУЭ, в качестве гололедно-изморозевой нагрузки на провода ВЛ принимается эквивалентная толщина стенки гололеда цилиндрической формы (рис. 1), приведенная к плотности $\gamma = 0,9 \text{ г/см}^3$, с нормативной вероятностью повторения один раз в 10 лет.

2.2. Для определения эквивалентной толщины стенки гололеда на проводах ВЛ необходимо эквивалентную толщину стенки, полученную по данным наблюдений на гололедном станке метеостанция, привести к условной ВЛ с проводами диаметром 10 мм, подвешенными на высоте 10 м.

2.3. Для определения эквивалентной толщины стенки гололеда используются данные наблюдений на метеостанциях, которые затем обрабатываются вероятностно-статистическим методом (приложение I). Такими сведениями являются размеры отложения и его масса. Для обработки выбираются наибольшие значения эквивалентных толщин стенок гололеда за год.

2.4. Для метеостанции с экранирующими объектами (строениями, садами, заборами, лесными массивами) гололедным станком — "открытой" метеостанции — при наличии сведений о массе гололедно-изморозевого отложения на 1 пог. м провода эквивалентная ей толщина стенки гололеда определяется по формуле

$$\delta = -\frac{d}{2} + \sqrt{\frac{P \cdot 10^3}{2,83} + \frac{d^2}{4}}, \quad (I)$$

где δ — эквивалентная толщина стенки гололеда, мм;

d — диаметр провода без гололедно-изморозевого отложения, мм;

P — масса гололедно-изморозевого отложения на 1 пог. м провода, кг.

2.5. Для "открытой" метеостанции при наличии сведений только о размерах a и c гололедно-изморозевого отложения соответствующая им масса гололедно-изморозевого отложения на гололедном станке (кг) определяется

¹ Под гололедно-изморозевыми отложениями подразумеваются все виды гололедных отложений.

по формуле

$$\rho = 0,785 \cdot 10^{-3} \cdot \gamma_{cp} (ac - d^2), \quad (2)$$

где γ_{cp} - средняя плотность определенного вида отложения, г/см³;
 a - большой диаметр отложения (с учетом диаметра провода), мм;
 c - малый диаметр отложения (с учетом диаметра провода), мм.

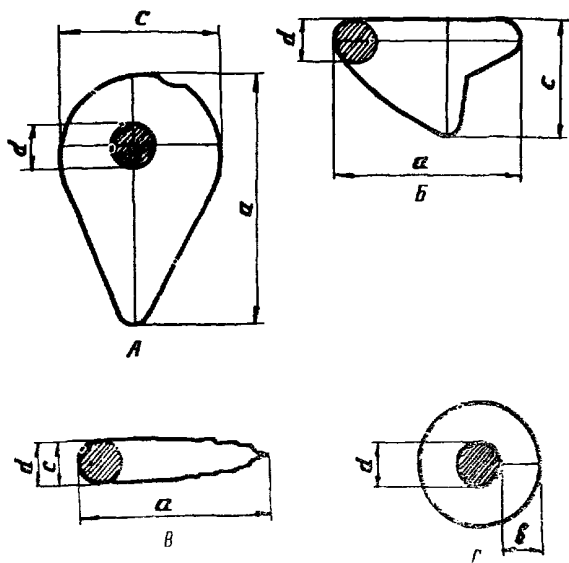


Рис.1. Возможные формы гололедно-изморозевых отложений (А, Б, В) и эквивалентная им цилиндрическая форма гололеда (Г):

a - большой диаметр отложения, мм
 c - малый диаметр (толщина) отложения, мм
 d - диаметр провода, мм
 b - эквивалентная толщина стенки гололеда, мм

Средняя плотность гололедно-изморозевого отложения (г/см³) определяется по формуле

$$\gamma_{cp} = \frac{\sum_{i=1}^n \gamma_i}{n} = \frac{1}{n} \sum_{i=1}^n \frac{\rho_i \cdot 10^3}{0,78(a_i c_i - d^2)}, \quad (3)$$

где γ_i - плотность гололедно-изморозевого отложения;

n - число измерений;

ρ_i - масса данного отложения, кг.

Используя формулу (3), можно определить значение средней плотности каждого вида отложения на изучаемой территории.

2.6. При наличии сведений только о размере a гололедно-изморозевого отложения можно определить размер c , который равен $0,6a$ для гололеда и $0,75a$ для других видов гололедно-изморозевых отложений.

2.7. Для метеостанций с защищенными экранящими объектами гололедным станком - "закрытой" метеостанции - при определении эквивалентной толщины стенки гололеда необходимо вводить коэффициент закрытости K_α (метеостанция приводится к условиям "открытой" метеостанции).

$$K_\alpha = \frac{\rho}{\rho'}, \quad (4)$$

где ρ' - масса гололедно-изморозевого отложения на 1 пог.м провода в условиях "закрытой" метеостанции, кг.

Коэффициент закрытости K_α определяется по углу закрытости α (рис.2). Угол закрытости определяется по номограмме (рис.3) или по формуле

$$\alpha = \arctg \frac{h - h_r}{L + \Delta l}, \quad (5)$$

где h - высота экранирующего объекта, м;

h_r - расстояние от земли до провода (обычно 2 м), м;

L - расстояние от ограды метеостанции до экранирующего объекта, м;

Δl - расстояние от гололедного станка до ограды метеостанции, м.

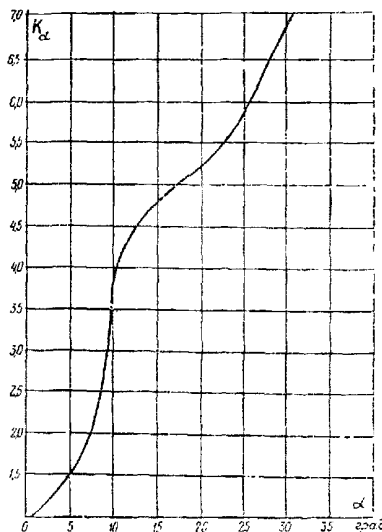


Рис.2. Зависимость коэффициента закрытости K_α от угла закрытости метеостанции α

Величины h и L берутся из Технического дела метеостанции или из Климатологического справочника "История и географическое описание метеорологических станций и постов". Значение ΔL определяется с учетом направления ветра и местоположения экранирующего объекта, защищающего гололедный станок, в соответствии с табл. I.

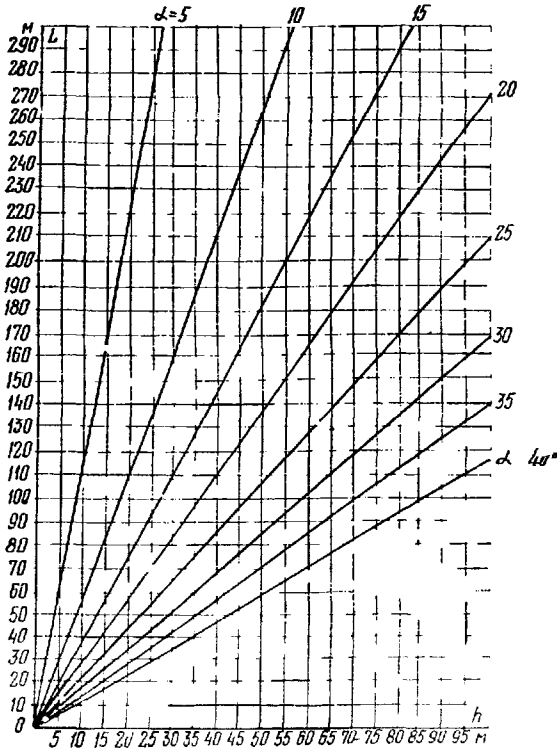


Рис. 3. Номограмма для определения угла закрытости в зависимости от высоты экранирующего объекта h и расстояния до него L .

Если гололедный станок защищен отдельными деревьями, значение α следует уменьшить вдвое.

Если экранирующий объект расположен с гололедного станка на расстоянии более 300 м, K_α принимается равной единице.

Таким образом, для условно "открытой" метеостанции масса гололедно-изморозевого отложения (P) определяется по формуле:

$$P = P' K_\alpha. \quad (6)$$

2.8. Эквивалентная толщина стенки гололеда (мм) на гололедном станке условно "открытой" метеостанции определяется по формуле (7), если известна масса отложения:

$$\delta = -\frac{d}{2} + \sqrt{\frac{P' K_\alpha \cdot 10^3}{2,83} + \frac{d^2}{4}}.$$

2.9. Эквивалентная толщина стенки гололеда (мм) на гололедном станке условно "открытой" метеостанции определяется по формуле (8), если известны размеры α , c отложения и его плотность:

$$\delta = -\frac{d}{2} + \sqrt{0,276 \gamma_{cp} (ac - d^2) K_\alpha + \frac{d^2}{4}}. \quad (8)$$

Для определения эквивалентной толщины стенки гололеда вместо трудоемких расчетов можно пользоваться номограммами (приложение 2).

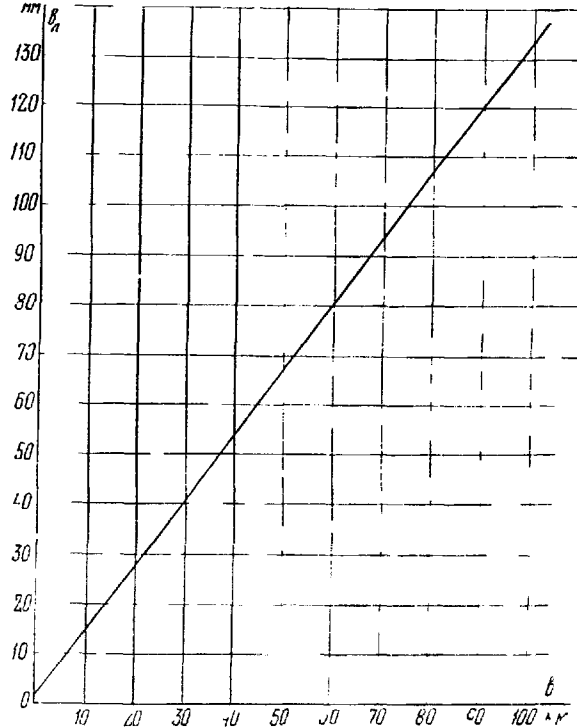


Рис. 4. График для определения δ_L .

2.10. Эквивалентная толщина стенки гололеда на проводах ВЛ (условиях ВЛ с проводами диаметром 10 мм, подвешенными на высоте 10 м) определяется по формуле

$$\delta_L = 1,05 + 1,325 \delta, \quad (9)$$

где δ_L - эквивалентная толщина стенки гололеда на проводах ВЛ, мм, либо по график (рис. 4).

2.11. Для определения эквивалентной толщины стенки гололеда на проводах ВЛ с заданной вероятностью повторения используют зависимость

$$F(\delta_L) = e^{-\left(\frac{\delta_L}{\beta}\right)^{-\theta}}, \quad (10)$$

Т а б л и ц а 1

Значение $\Delta \ell$ в зависимости от направления ветра
и местоположения экранирующего гололедный стаяк объекта

Направление ветра	З	ЗСЗ		СЗ	ССЗ	С	ССВ	СВ	БСВ	В	ВОВ	ОВ	ЮОВ	Ю	ЮСЗ	ЮЗ	ЗЮЗ		
Местоположение экранирующего объекта	ЗСЗ	СЗ	ССЗ*	СЗ	С*	С	ССВ	-	СВ	БСВ	В	В*	ВОВ	ОВ*	ЮВ*	-	ЮЗ	З*	
$\Delta \ell$, м	22	22	14	22	9	5	4	0	5	4	4	4	5	5	5	22	0	30	24

*Влияние экранирующего объекта учитывается только при расположении его на расстоянии менее 10 м от метеостанции. При большем расстоянии экранирующий объект защитного влияния на гололедный стаяк не оказывает.

где $F(\delta_n)$ - вероятность того, что эквивалентная толщина стенки гололеда не превысит значения δ_n ;

β, θ - параметры распределения.

После двойного логарифмирования формулы (10) получается линейная зависимость между

$$\lg \lg \left[\frac{1}{F(\delta_n)} \right] \text{ и } \lg(\delta_n).$$

Обработка материалов для построения графика (рис.5) распределения вероятностей наибольших эквивалентных толщин стенок гололеда за год производится следующим образом:

а) составляется статистический ряд годовых наибольших значений δ_n (в порядке возрастания);

б) для каждого значения δ_n определяется интегральная вероятность (обеспеченность) по формуле (II)

$$F(\delta_n) = \frac{m}{n+1}, \quad (II)$$

где m - порядковый номер члена ряда;

n - общее число членов;

в) на клетчатке вероятностей строится зависимость

$$\delta_n = f[F(\delta_n)],$$

для чего по оси абсцисс откладывается $F(\delta_n)$; по оси ординат - δ_n . При проведении экстраполяционной прямой следует ориентировать-

ся на большие значения толщин стенок гололеда ввиду того, что малые значения не определяют нормативную нагрузку;

г) значения обеспеченности $F(\delta_n)$, соответствующие заданной повторяемости, определяются по формуле (12)

$$F(\delta_n) = \frac{N-1}{N}, \quad (12)$$

где N - период (год), в течение которого наибольшее значение толщины гололеда не будет превышено.

Для периода, составляющего 10 лет,

$$F(\delta_n) = 90\%.$$

2.12. Для разработки характеристики надежности гололедно-зиморовевых образований всей исследуемой территории используются данные наблюдений на метеостанциях и данные опыта эксплуатации линий электропередачи и связи, обработанные вероятностно-статистическим методом (приложение I).

По полученным данным строится карта-схема линий электропередачи и связи, поврежденных гололедом (рис.6), в том же масштабе, что и региональная карта.

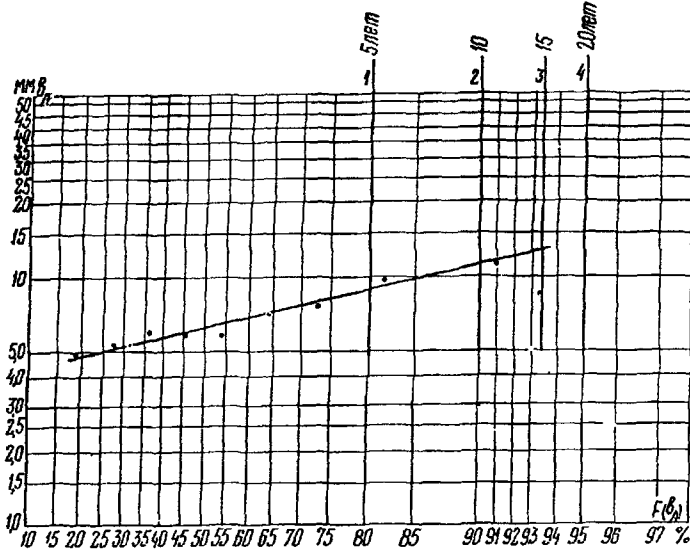


Рис.5. График для определения эквивалентной толщины стенки гололеда с различной обеспеченностью:
I-4 обеспеченности, соответствующие повторяемости толщины стенки гололеда один раз в 5,10, 15 и 20 лет

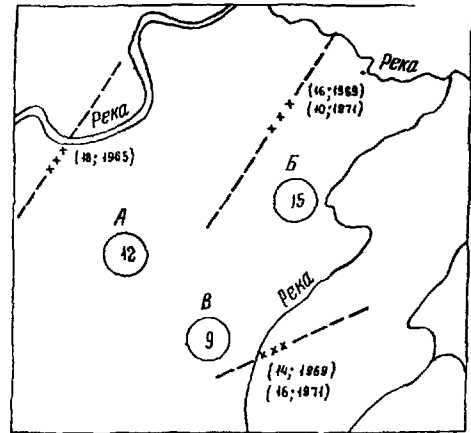


Рис.6. Фрагмент оформления карты-схемы линий электропередачи и связи, поврежденных гололедом:

--- линии электропередачи или линии связи;
-x x- место повреждения линии электропередачи или линии связи.

Примечания: I. В скобках указаны толщина стенки гололеда и г наблюдения. 2. А,Б,В - метеостанции. 3. Цифры в кружочке - эквивалентная толщина стенки гололеда на гололедном станке метеостанции.

3. УЧЕТ ВЛИЯНИЯ РЕЛЬЕФА МЕСТНОСТИ ПРИ ПОСТРОЕНИИ РЕГИОНАЛЬНОЙ КАРТЫ

3.1. Влияние рельефа местности на процесс гололедообразования определяется комплексом физико-географических условий. На рассматриваемой территории в зависимости от абсолютной и относительной высоты места, форм рельефа и экспозиции склона по отношению к гололедонесущему потоку, за исключением горных районов, следует определить два основных типа рельефа.

Тип I. Плоская или пересеченная небольшими оврагами и балками местность с относительными превышениями не более 100 м - равнина.

Тип II. Сильно пересеченная местность с относительными превышениями более 100 м - возвышенность. Во II типе рельефа следует выделить: подтип 1 - наветренные склоны; подтип 2 - подветренные склоны; подтип 3 - вершины; подтип 4 - открытые для гололедонесущего потока долины рек; подтип 5 - закрытые от гололедонесущего потока долины рек.

Для того, чтобы определить тип рельефа, строятся на гипсометрическом плане в масштабе 1:500000 схема распределения склонов по экспозициям. Экспозиция, характеризующая

ориентировку склонов по отношению к сторонам света и к плоскости горизонта, определяет в данной местности подверженность действию ветра того или иного направления. Следует выделять четыре экспозиции склонов - северную, восточную, южную и западную. Для этого необходимо сделать следующее: на той части листа карты, где находится изучаемая возвышенность, через ее центральную часть провести две взаимно перпендикулярные линии - одну с северо-запада на юго-восток, другую с юго-запада на северо-восток. Та часть возвышенности, которая попадает в западную четверть, имеет западную экспозицию, в южную четверть - южную экспозицию и т.д. (рис.7).

Кроме того, для выделения экспозиции склонов можно использовать метод, предложенный Главной геофизической обсерваторией.

Выделенные экспозиции склонов в зависимости от направления гололедонесущего потока относят к соответствующим подтипам рельефа.

3.2. Для каждого типа (подтипа) рельефа строятся графики зависимости эквивалентной толщины стенки гололеда ($\delta_{\text{л}}$) от абсо-

литной высоты (H) места расположения метеостанции $\beta_n = f(H)$ (рис.8). В том случае, если в исследуемом районе для характеристики какого-то типа рельефа недостаточно данных наблюдений, следует использовать результаты наблюдений метеостанций в соседней области, имеющих такой же тип рельефа и характеризующихся аналогичными синоптическими условиями процессов гололедообразования.

Кроме того, для построения графиков могут быть использованы наблюдения за гололедно-изморозевыми отложениями на линиях электропередачи и связи, обработанные вероятностно-статистическим методом.

Склон северной экспозиции

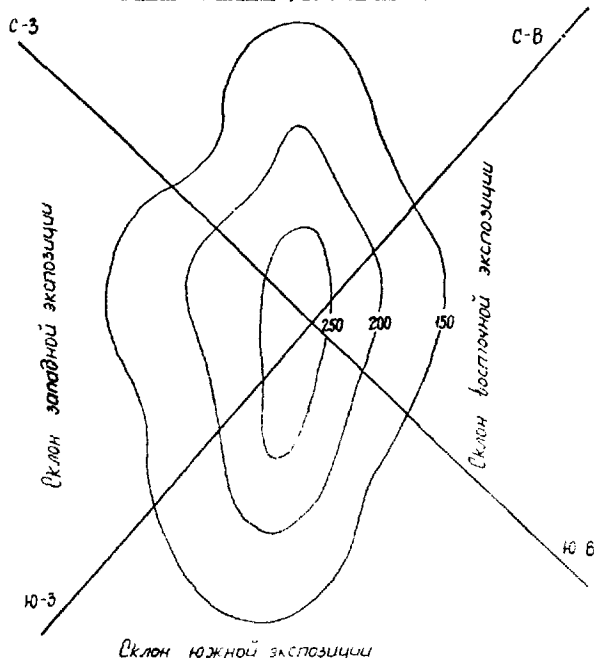


Рис.7. Схема распределения склонов по экспозициям

4. ПОСТРОЕНИЕ РЕГИОНАЛЬНОЙ КАРТЫ НОРМАТИВНЫХ РАЙОНОВ ПО ГОЛОЛЕДУ

Региональные карты нормативных районов по гололеду выполняются на гипсометрическом бланке в масштабе 1:500000. Значения нормативных эквивалентных толщин стенок гололеда для соответствующих районов по гололеду принимаются по табл.2.

Границы соответствующих районов по гололеду проводятся по нижнему значению эквивалентной толщины стенки по изогипсам с учетом типов и подтипов рельефа. Граничные значения высотных отметок H определяются по графикам (см.рис.8).

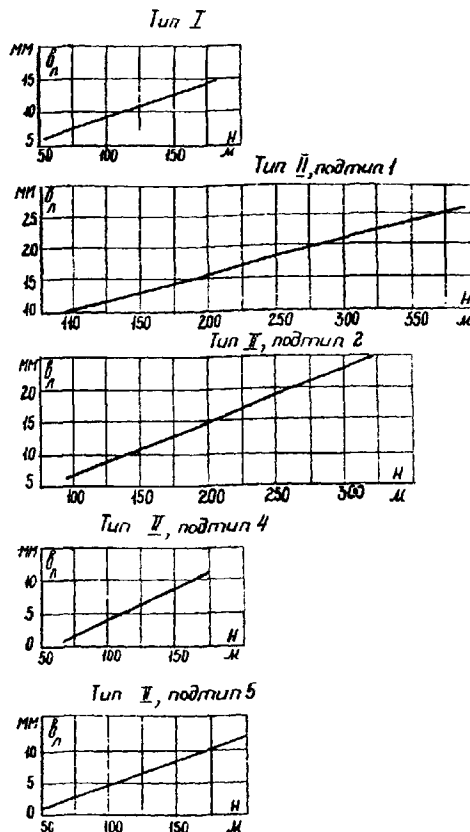


Рис.8. Зависимость эквивалентной толщины стенки гололеда (β_n) от абсолютной высоты (H) места расположения метеостанции для различных типов рельефа, по данным наблюдений на метеостанциях и ВД

3.3. Зависимости (см.рис.8) используются при построении региональной карты нормативных районов по гололеду.

Для разных типов рельефа получаются, как правило, различные зависимости толщины стенки гололеда от абсолютной высоты места расположения метеостанции. Более гололедная территория может быть расположена на отметках ниже менее гололедной. Например, в местности, отнесенной ко II типу рельефа, I подтипу - "наветренные склоны" - III район по гололеду может располагаться в зоне от изогипсы 200 м до изогипсы 250 м абсолютной высоты над уровнем моря. В местности, отнесенной к этому же типу, II подтипу - "под-

Т а б л и ц а 2

Нормативная эквивалентная толщина стенки гололеда

Район СССР по гололеду	Предельное значение эквивалентной толщины стенки гололеда, мм	Нормативная эквивалентная толщина стенки гололеда (мм) с повторяемостью один раз в 10 лет
I	До 7,4 вкл.	5
II	Св. 7,4 до 12,4 вкл.	10
III	Св. 12,4 до 17,4 вкл.	15
IV	Св. 17,4 до 22,4 вкл.	20
Особый	Св. 22,4	Св. 22

ветренные склоны" - III район по гололеду может распространяться в зоне от изогипсов 250 м до изогипсов 300 м.

5. ПРИМЕР ОБРАБОТКИ МАТЕРИАЛОВ И ПОСТРОЕНИЯ РЕГИОНАЛЬНОЙ КАРТЫ НОРМАТИВНЫХ РАЙОНОВ ПО ГОЛОЛЕДУ ДЛЯ ТЕРРИТОРИИ, НА КОТОРОЙ РАСПОЛОЖЕНА ОДНА ИЗ ЭНЕРГОСИСТЕМ

5.1. Основные данные, характеризующие территорию, на которой расположена энергосистема

Территория расположена на востоке Европейской части СССР.

Долинами рек территория делится на три части. В северо-восточной части имеется возвышенность (высота до 235 м), которая сильно пересечена оврагами, балками и резко обрывается к долине реки. Северная часть - холмисто-увалистая равнина, высшая точка ее - 260 м. Западная часть представляет собой волнистую равнину, понижающуюся к юго-западу. Наиболее возвышенный район территории - южная часть (абсолютная высота - 367 м).

Реки имеют глубоко врезаемые долины, водоразделы представляют собой слегка возвышенные речные, круто обрывающиеся у долин рек. Леса занимают в среднем 17% всей площади.

На территории ежегодно отмечается гололед и изморозь. Образование изморози связано с адвекцией тепла на восток Европейской территории СССР по барьеру антициклонов. Образование гололеда характеризуется выносом холодного воздуха, обусловленным движением циклонических центров.

Вынос холодного воздуха на территорию энергосистемы происходит в результате следующих основных процессов, вызывающих значительные гололеды:

Это несоответствие закономерно и границы районов по гололеду проводятся между изогипсами в месте перехода от одного типа рельефа к другому.

В пересеченной местности при переходе от одного района к гололеду к другому наличие всех промежуточных районов по гололеду не обязательно (II район может граничить с IV и т.п.).

а) перемещения циклонических центров с запада на восток по северным и средним широтам. При процессах этого типа наблюдаются наиболее интенсивные гололеды на всей территории, кроме юго-восточной части;

б) перемещения циклонических центров с северо-запада на юго-восток Европейской части СССР - "вырывающие циклоны";

в) перемещения циклонов на Европейскую часть СССР с юга и юго-запада. Наиболее интенсивные гололеды при этом наблюдаются в юго-восточной части территории;

г) образования гололеда на стационарных фронтах.

Преобладающее направление ветра при гололеде и изморози на изучаемой территории - юго-западное. "Розы ветров" для территории энергосистемы представлены на рис. 9.

Для гололедного районирования территории, на которой расположена энергосистема, используются материалы наблюдений за гололедно-изморозевыми образованиями из Климатологического справочника "Гололедно-изморозевые явления" и метеорологических экземпляров (табл. 3).

По Климатологическому справочнику определяется температура воздуха при гололедно-изморозевых образованиях. На изучаемой территории образование гололеда наблюдается при температуре от 0 до -5°C, изморози от -3 до -17°C, ско-

Т а б л и ц а 3
Данные наблюдений за гололедно-изморозевыми явлениями на метеостанциях

Метеостанция	Абсолютная высота расположения метеостанции над уровнем моря, м	Период инструментальных наблюдений за гололедно-изморозевыми отложениями, годы	Число дней с		
			гололедом	изморозью	суммарное
А	90	1952-1974	8	14	22
Б	174	1952-1974	10	28	38
В	181	1952-1974	11	25	36

ного отложения от 0 до -20°C .

Эти явления наблюдаются, как правило, при мороси, дожде или тумане.

Преобладающее направление ветра при гололедно-изморозевых образованиях юго-западное (см.рис.9). Период гололедообразования, как правило, начинается в сентябре и заканчивается в мае (рис.10).

Для большинства метеостанций максимальное число дней с гололедом и изморозью приходится на декабрь.

Суммарное число дней с гололедом и изморозью колеблется от 22 (высота расположения метеостанции над уровнем моря 90 м) до 83 (высота расположения 337 м).

Четкой зависимости числа дней с гололедом и изморозью от высоты расположения метеостанции на изучаемой территории не наблюдается.

В качестве исходных материалов для построения региональной карты ворончатых районов по гололеду используются данные инструментальных измерений гололедно-изморозевых отложений на всех метеостанциях изучаемой территории за период наблюдений не менее 10 лет, а также данные о фактических размерах отложений на линиях электропередачи и связи, криволинейных и поврежденкам (см.приложение 1).

По данным приложения 1 строится карта-схема линий электропередачи и связи, поврежденных гололедом (см.рис.6).

5.2. Обработка инструментальных наблюдений метеостанции А за гололедно-изморозевыми отложениями

Метеостанция А расположена в восточной части области, в лесостепи. Рельеф - водни-

стая равнина, пересеченная долинами рек, балками и оврагами.

Метеоплощадка расположена на пологой верхней части склона. Закрытость метеоплощадки была определена по материалам Климатологического справочника "История и физико-географическое описание метеорологических станций и постов".

Из климатологических справочников и метеорологических ежемесяч-

ников выбираются наибольшие за год значения массы гололедно-изморозевых отложений или их размеры, которые сводятся в табл.4.

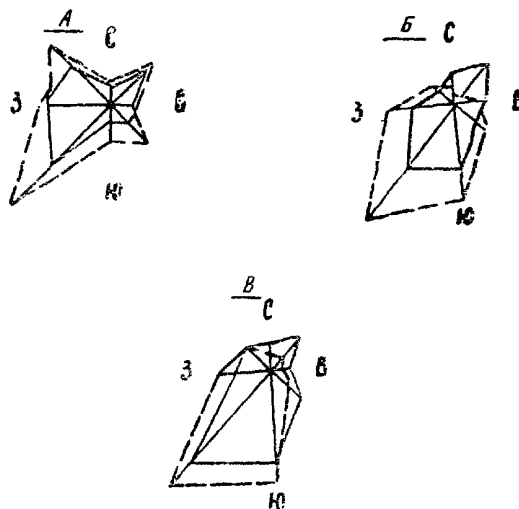


Рис.9. "Роза ветров" для метеостанций А,Б,В:
--- при гололеде; — при изморози

Обработка материалов производится в такой последовательности:

а) по номограммам (см.приложение 2) или по формулам (7) или (8) определяется эквивалентная толщина стенки гололеда на гололедном станке за каждый год. Например, за 1962-1963 гг. наибольшая масса гололеда ($P = 128 \text{ г/м}$) наблюдалась при ветре юго-восточного направления.

Т а о л и ц а 4

Данные инструментальных наблюдений на метеостанции А
(образец заполнения)

Год	Характеристика отложения			Метеоусловия			Угол закрытости гололедной станка, град	Коэффициент закрытости	Толщина стенки голода на гололедном станке, мм	Коэффициент пересчета на условия ВЛ	Толщина стенки гололеда на проводах ВЛ, мм		Обеспеченность толщины стенки гололеда, %
	Р и д	Размер, мм	Масса, г	Температура, °С	Направление ветра в начале наблюдения	Максимальная скорость ветра за период наблюдения, м/с					по го-дам	в воз-раста-ющем поряд-ке	
I	2	3	4	5	6	7	8	9	10	11	12	13	14
1961-1962	Изморозь кристаллическая	35x28	40	-15,0	ССВ	3	2	1,1	0,21	2,01	0,42	0,36	18,2
1962-1963	Гололед	19x13	128	-5,0	ЗВ	12	2	1,1	0,5	1,6	0,8	0,51	63,6

Согласно описанию метеоплощадки, с учетом данных табл. I при ветре юго-восточного направления угол закрытости метеоплощадки составляет 2° (см. табл. 4). По рис. 2 определяется коэффициент закрытости, равный I, I. Эквивалентная толщина стенки гололеда на гололедном станке "открытой" метеостанции определяется по формуле (7).

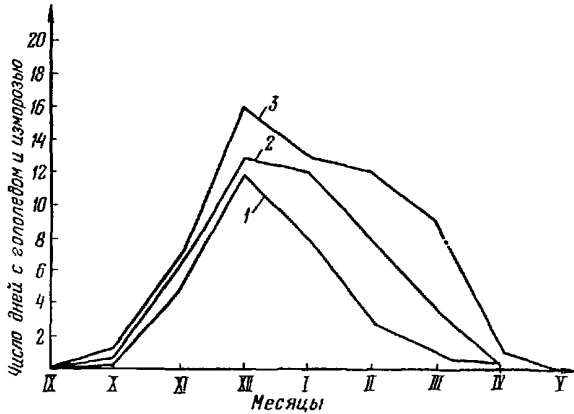


Рис. 10. Годовой ход суммарного числа дней с гололедом и изморозью для метеостанций А (кривая 1), Б (кривая 2), В (кривая 3)

Аналогично вычисляется наибольшее значение толщины стенки гололеда к за другие годы;

б) по рис. 4 определяется эквивалентная толщина стенки гололеда на проводах ВЛ (см. табл. 4, графа I2);

г) значения $\delta_{л}$ располагаются в возрастающем порядке (см. табл. 4, графа I3) и для каждого значения по формуле (II) определяется обеспеченность $F(\delta_{л})$ - см. табл. 4, графа I4;

г) на клетчатке вероятностей строится зависимость (см. рис. 5)

$$\delta_{л} = f[F(\delta_{л})];$$

д) для повторяемости один раз в 10 лет (обеспеченность 90%) по рис. 5 определяется эквивалентная толщина стенки гололеда на проводах ВЛ, равная 12 мм.

Аналогично обрабатываются данные по всем метеостанциям; значения $\delta_{л}$ сводятся в табл. 5.

Т а б л и ц а 5

Эквивалентные толщины стенок гололеда с вероятностью повторения один раз в 10 лет по метеостанциям

Метеостанция	Абсолютная высота расположения метеостанции над уровнем моря, м	Эквивалентная толщина стенки гололеда, мм
А	90	12
Б	174	14
В	181	15

5.3. Определение закономерности распределения гололедно-изморозевых отложений на изучаемой территории

На территории энергосистемы по способу, указанному в разд. 3 настоящей методики, строится карта экспозиции склонов с учетом преобладающего при гололеде и изморози направления ветра (гололедонесущий поток). На карте выделяются следующие типы и подтипы рельефа (рис. 11): тип I; тип II, подтип 1, 2, 4, 5.

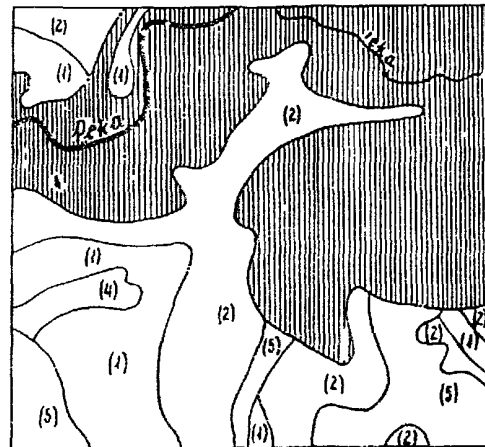


Рис. 11. Фрагмент оформления карты экспозиции склонов с типами рельефа

▨ тип I рельефа;

□ тип II рельефа;

в скобках указан подтип рельефа

Метеостанции объединяются в группы по выделенному типу рельефа (табл. 6).

Для каждого типа рельефа строятся графики зависимости эквивалентной толщины стенок

Т а б л и ц а 6
Классификация метеостанций по типам рельефа

Метеостанция	Абсолютная высота расположения метеостанции над уровнем моря, м	Рельеф
А М Н	90 80 70	Тип I
Б Р К	174 200 201	Тип II, подтип I
В Д С	181 170 150	Тип II, подтип 2

ки гололеда с повторяемостью один раз в 10 лет от абсолютной высоты места расположения метеостанции (см.рис.8)* по данным наблюдений на метеостанциях и ВЛ, обработанных вероятностно-статистическим методом.

По графикам (см.рис.8) определяется абсолютная высота над уровнем моря районов по гололеду по типам рельефа (табл.7).

Данные этой таблицы являются основой районирования по гололеду изучаемой территории.

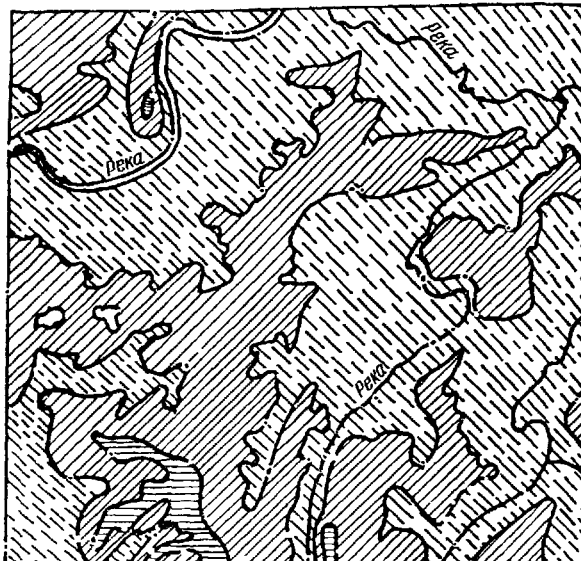


Рис.12. Фрагмент оформления региональной карты нормативных районов по гололеду:

II район III район IV район

Примечание. При наличии I района и особого района их обозначают на карте соответственно: и .

Т а б л и ц а 7
Абсолютная высота над уровнем моря районов по гололеду по типам рельефа

Рельеф	Абсолютная высота над уровнем моря районов по гололеду				
	I	II	III	IV	Особый
Тип I	До 80 вкл.	Св. 80 до 140 вкл.	Св. 140	-	-
Тип II, подтип I	-	До 125 вкл.	Св. 125 до 190 вкл.	Св. 190 до 270 вкл.	Св. 270
Тип II, подтип 2	До 110 вкл.	Св. 110 до 170 вкл.	Св. 170 до 230 вкл.	Св. 230 до 300 вкл.	Св. 300
Тип II, подтип 3	До 130 вкл.	Св. 130	-	-	-
Тип II, подтип 4	До 140 вкл.	Св. 140	-	-	-

5.4. Построение региональной карты нормативных районов по гололеду

Для построения региональной карты нормативных районов по гололеду карта (см.рис. II) накладывается на гиссометрический бланк (масштаб 1:500000).

Для каждого типа рельефа на карту (см.рис. II) наносятся границы районов по голо-

*Для построения графиков могут быть использованы данные наблюдений метеостанций в соседних с территорией расположения экватористемы областях.

леду с учетом их абсолютной высоты над уровнем моря (см.табл.7).

На рис.12 приведен фрагмент оформления региональной карты нормативных районов по гололеду.

На региональные карты нормативных районов по гололеду необходимо наносить населенные пункты, реки, озера, водохранилища и их наименования.

СВЕДЕНИЯ О ГОЛОЛЕДОБРАЗОВАНИИ НА ЛИНИЯХ ЭЛЕКТРОПЕРЕДАЧИ
(образцы заполнения ведомостей)

Название ВЛ	Год ввода в эксплуатацию	Напряжение, кВ	Марка провода	Район по гололеду	Дата отложения гололеда	Участок ВЛ с наибольшим гололедообразованием и разрушен, км	Абсолютная отметка территории, по которой проходит ВЛ	Характеристика отложения						Направление и скорость ветра, м	Характер повреждения
								Вид	γ г/см ³	a, ζ мм ²	δ^* мм	P г	δ^{**} мм		
Западные электросети															
Елшанка-Ивановка	1961	110	АС-150	II	13/XI 1967 г.	Район Тихие горы	150	Сложное отложение	0,5	120x92	3I	4350	32	II-5	Сильное провисание, сдвигивание, пережог проводов
Фидер I от п/ст. "Каменка"	1965	10	АС-25	II	30/X-2/XI 1966 г.	Район поселка Петровка	150-200	Гололед (прозрачный)	0,9	40x36	I6	1040	I6	Нет св.	Обрыв проводов в трех пролетах, поломка девяти опор
Северные электросети															
Красное-Крыловка	1960	35	АС-70	II	29/X 1966 г.	Нет св.	150-200	Гололед	0,75	70	I9	Нет св.	Нет св.	II-7	Поломка семи опор, наклон четырех опор, обрыв проводов в девяти пролетах
Власовка-Гроздевка	Нет св.	10	A-25 A-35	II	29/X 1966 г.	Нет св.	150-200	Гололед	0,75	50	I4	Нет св.	Нет св.	Нет св.	Обрыв проводов, поломка опор

*Значения δ получено по размеру a или по произведению $a \cdot c$

**Значение ζ получено по массе P .

СВЕДЕНИЯ О ГОЛОЛЕДОБРАЗОВАНИИ НА ЛИНИЯХ СВЯЗИ

Название линии связи *	Марка провода	Абсолютная отметка местности, по которой проходит линия связи, м	Дата отложения гололеда	Характеристика отложения				Направление, скорость ветра, м/с	Характер повреждения
				Вид	γ г/см ³	a мм	δ мм		
Ивановка-Петровка	Ст.4	150-200	I/XII 1965 г.	Зернистая изморозь	0,1	100	12,5	03,5	Обрывы проводов
Каменка-Запачное	Ст.4	100-150	I2/XII 1966 г.	Гололед	0,75	50	13,5	03,6	Обрывы проводов, поломка 20 столбов
Антоновка-Павловка	Ст.4	200-250	3I/XII 1967 г.	Гололед	0,75	70	2I	0,6	Местные обрывы проводов, поломка столбов

*Названия условные.

НОМОГРАММЫ ДЛЯ ОПРЕДЕЛЕНИЯ ЭКВИВАЛЕНТНОЙ ТОЛЩИНЫ СТЕНКИ
ГОЛОЛЕДНО-ИЗМОРОЗЕВОГО ОТЛОЖЕНИЯ НА ГОЛОЛЕДНОМ СТАНКЕ МЕТЕОСТАНЦИИ
И НА ЛИНИЯХ ЭЛЕКТРОПЕРЕДАЧИ И СВЯЗИ

Номограммы для определения эквивалентной толщины стенки гололедно-изморозевого отложения на гололедном станке метеостанции с учетом закрытости станка приведены:

а) по массе отложения - на рис. I3 и I4; (см. вклейки);

б) по произведению $a \cdot c$ (a и c - большой и малый диаметры отложения) для различной плотности отложения - на рис. I5-23 (см. вклейки);

в) по большому диаметру a для различной плотности отложения - на рис. 24-32 (см. вклейки).

Номограммы для определения эквивалентной толщины стенки гололедно-изморозевого отложения на проводах ВЛ различного диаметра приведены:

а) по массе отложения - на рис. 33 (см. вклейку);

б) по большому диаметру a для различной плотности отложения - на рис. 34-42 (см. вклейки);

в) по произведению $a \cdot c$ (a и c - большой и малый диаметры отложения) для различной плотности отложения - на рис. 43-51 (см. вклейки).

Ответственный редактор Б.Ф. Зябкина

Техн. редактор Е. А. Сапожникова

Редактор А. А. Шкеляян

Корректоры: В. И. Шахматов
О. Н. Тимахов

4, 7 уч. - изд. л.

Цена 47 коп.

(661/2) Заказ № 137/76

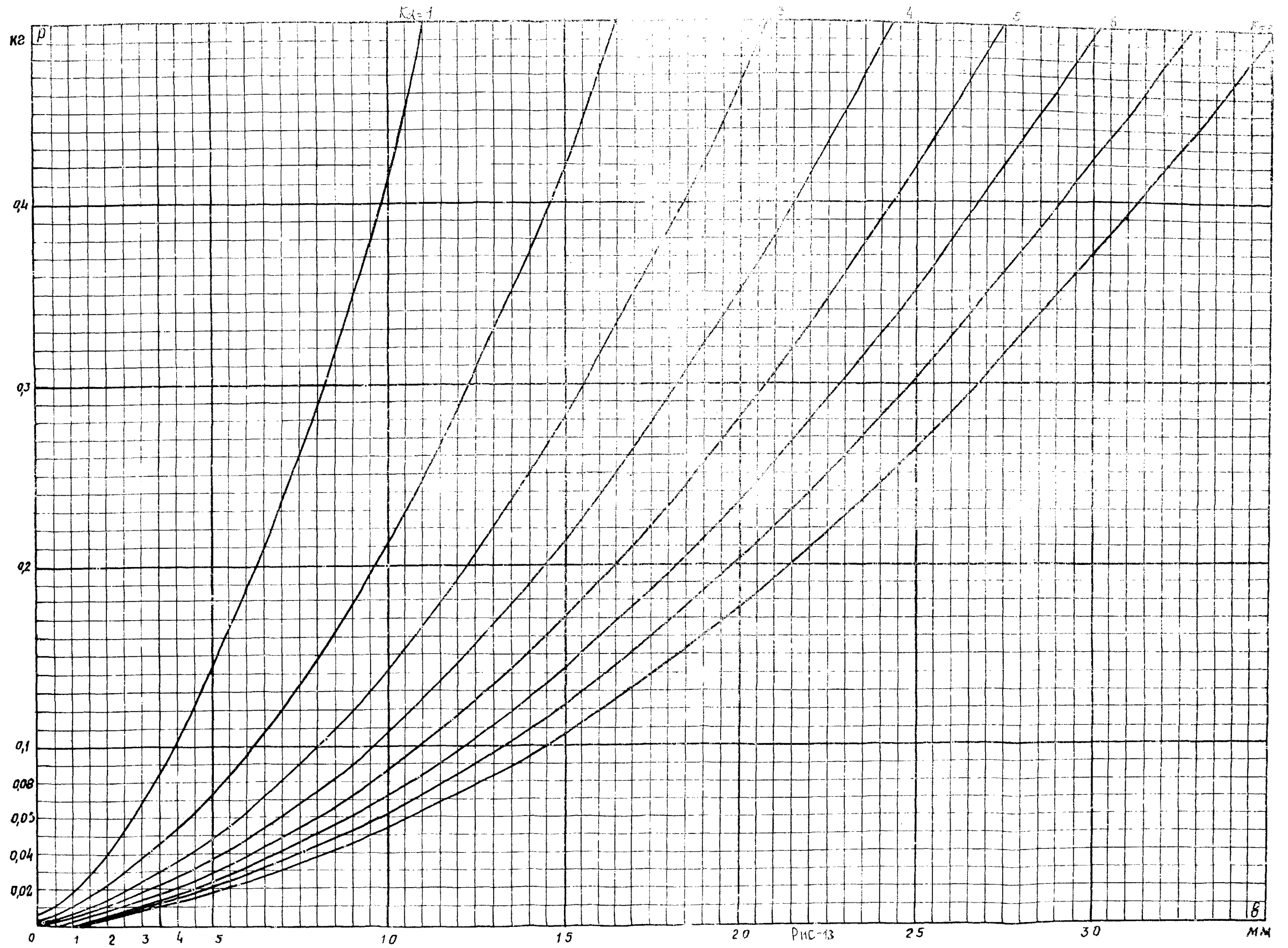
Л 58548

Подписано к печати 22/1 1976 г.

Тираж 1300 экз.

Ротапринт СЦНТИ ОРГРЭС

109432, Москва, Е-432, 2-й Козуховский проезд, д. 29, корп. 6



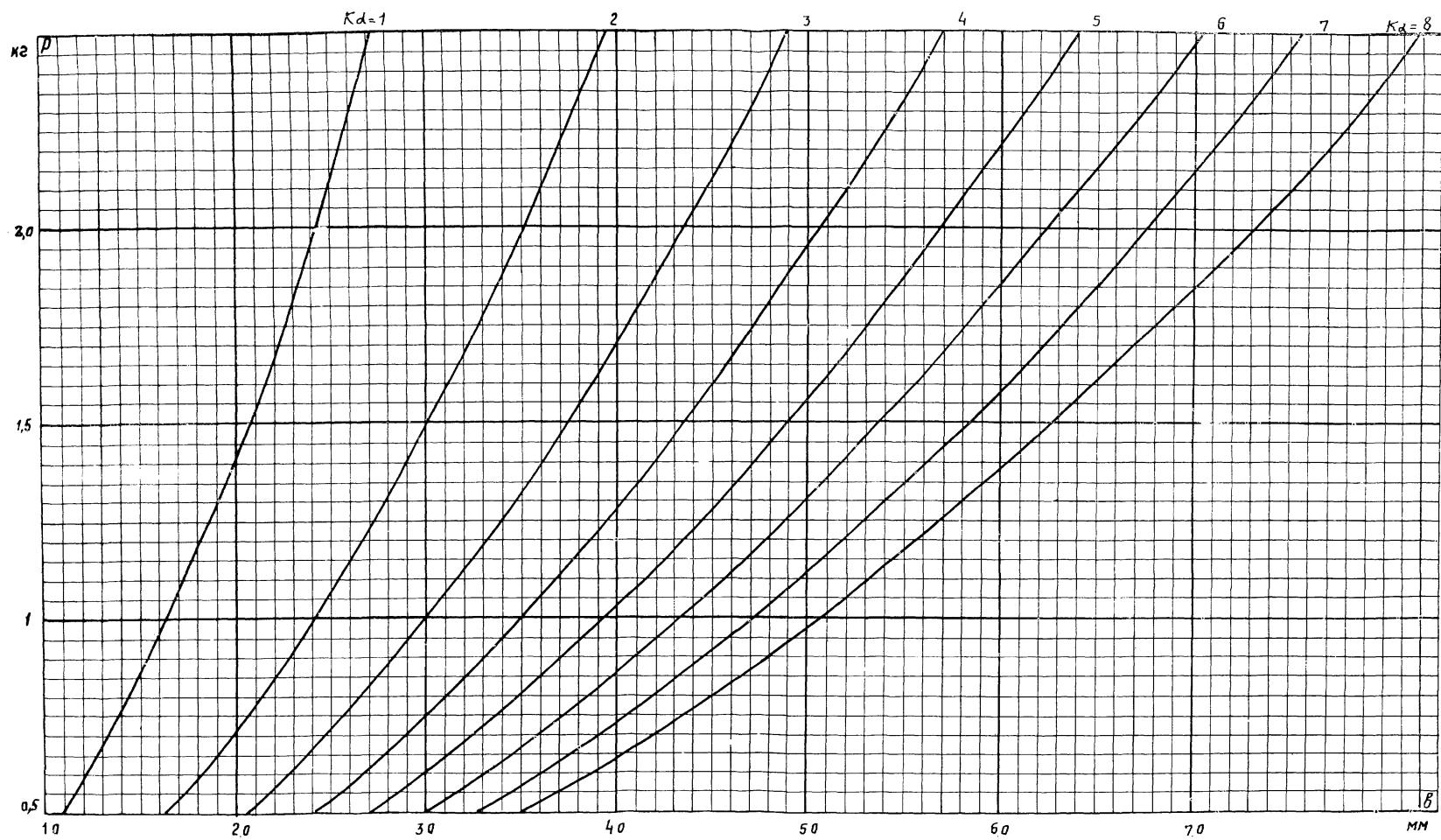
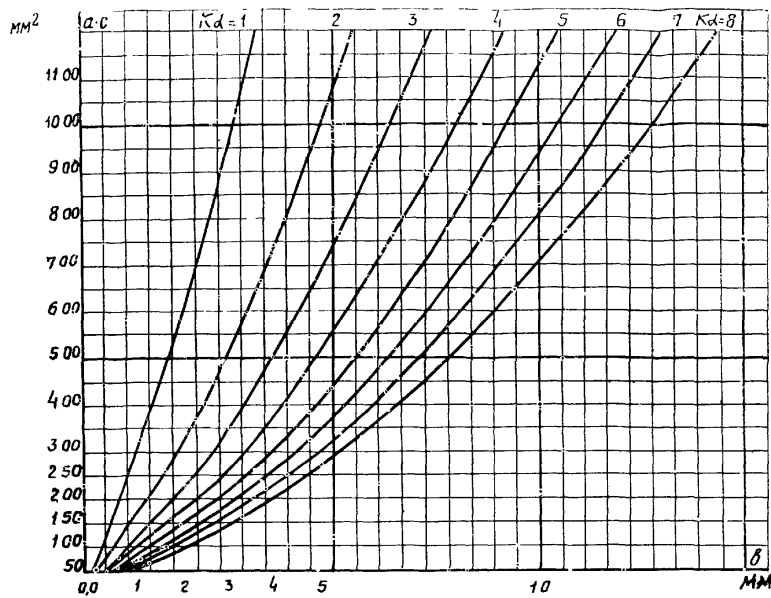
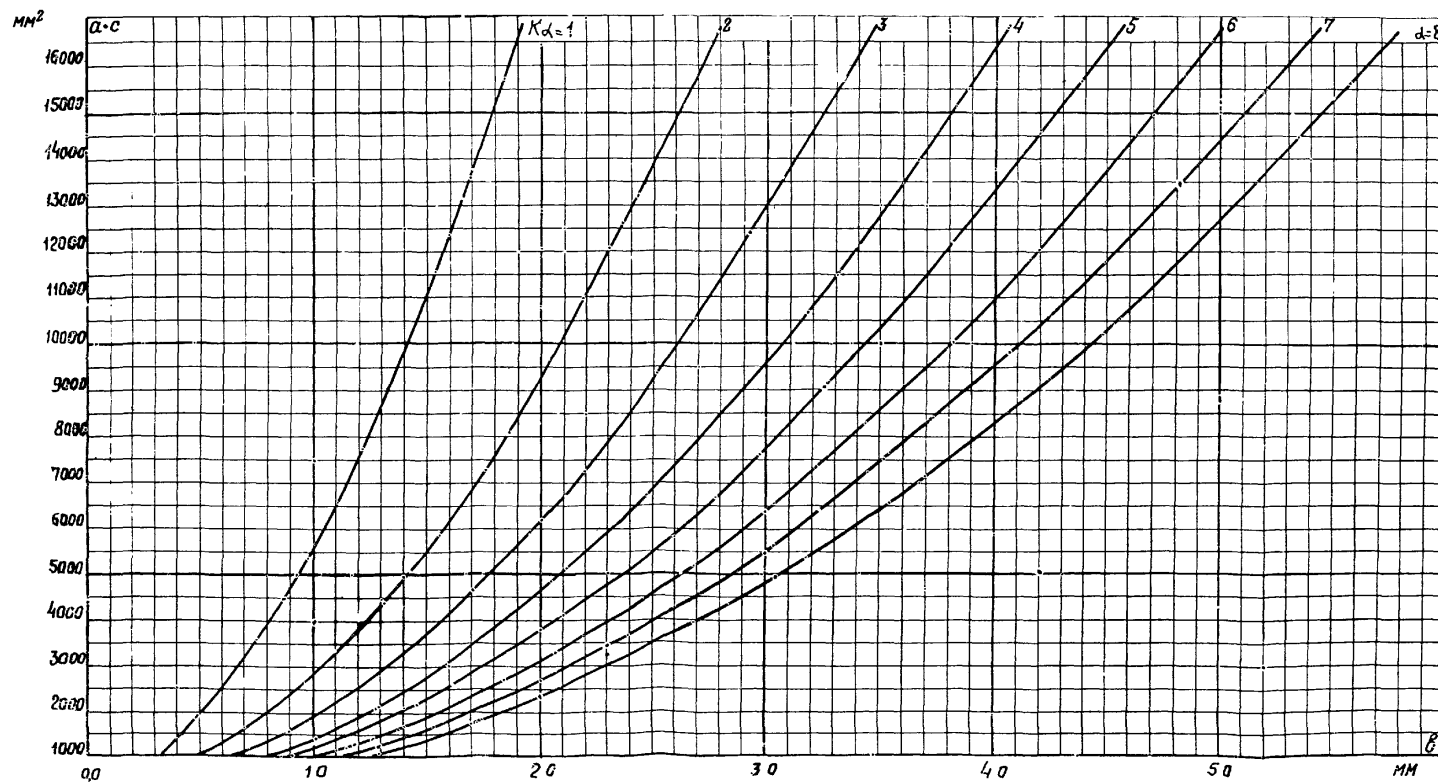
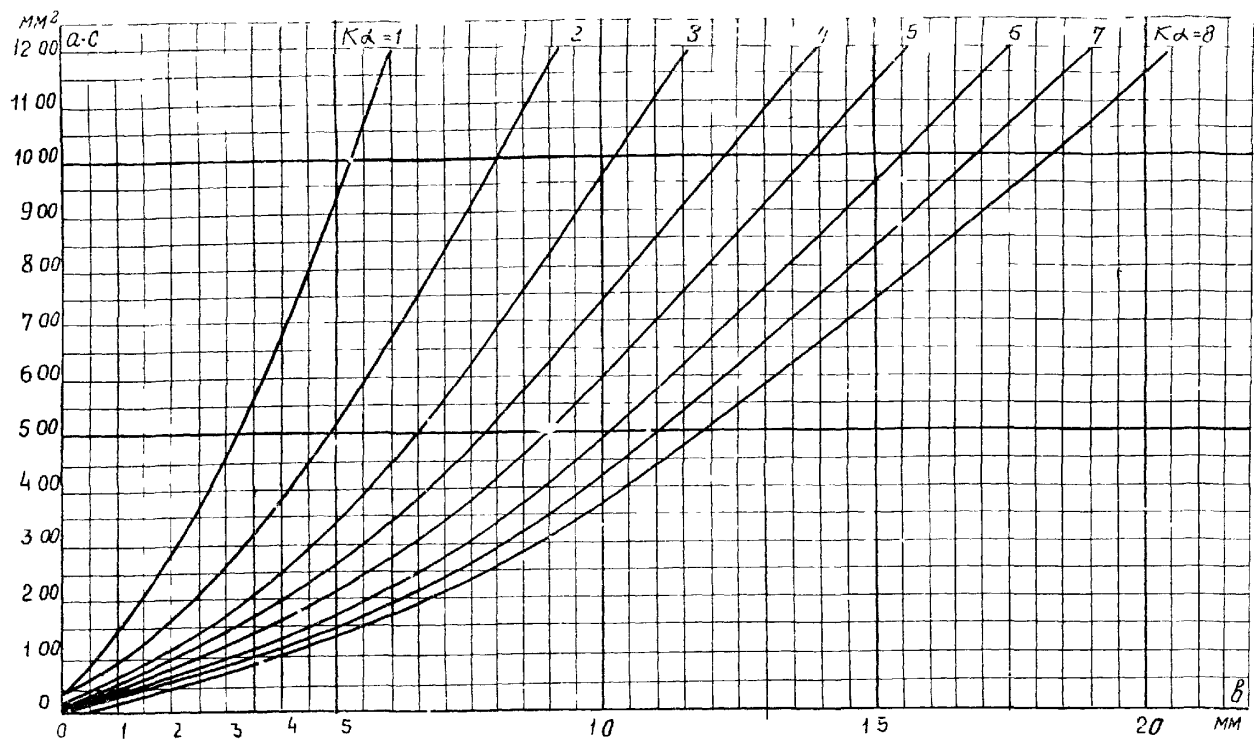


Рис. 14

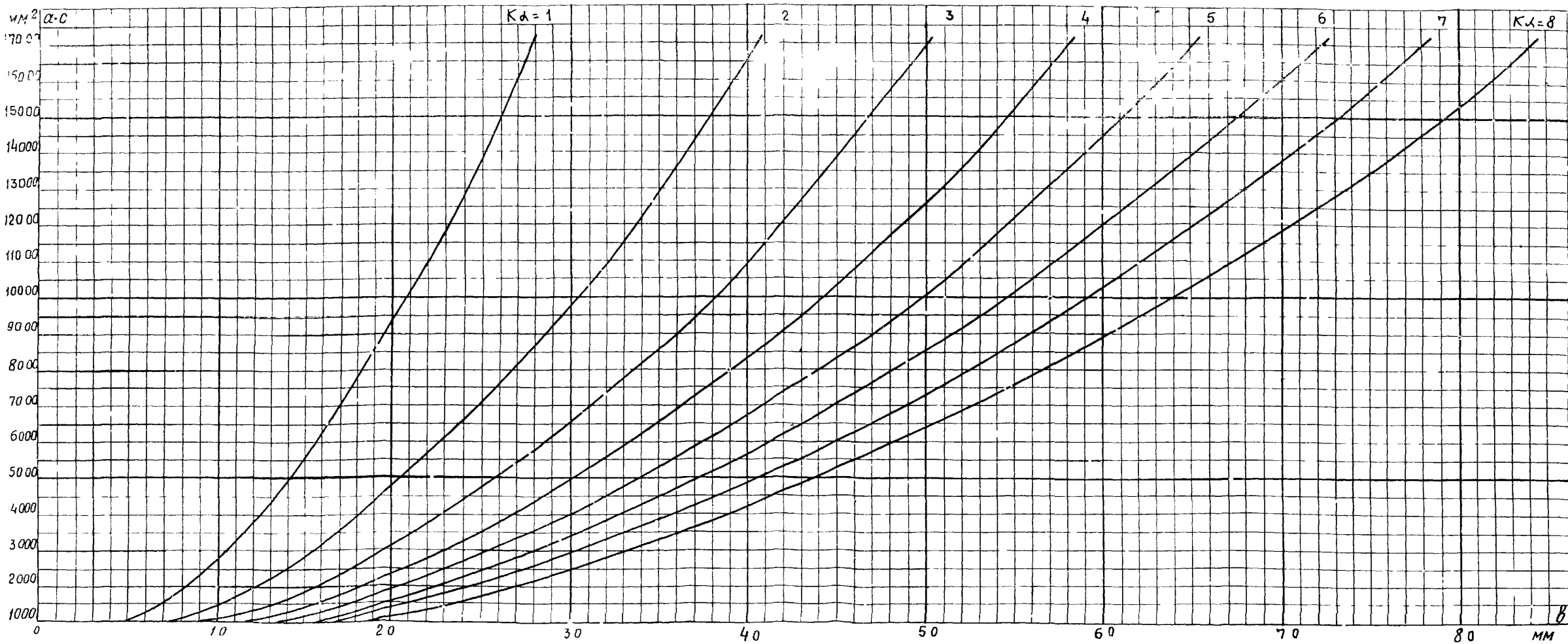


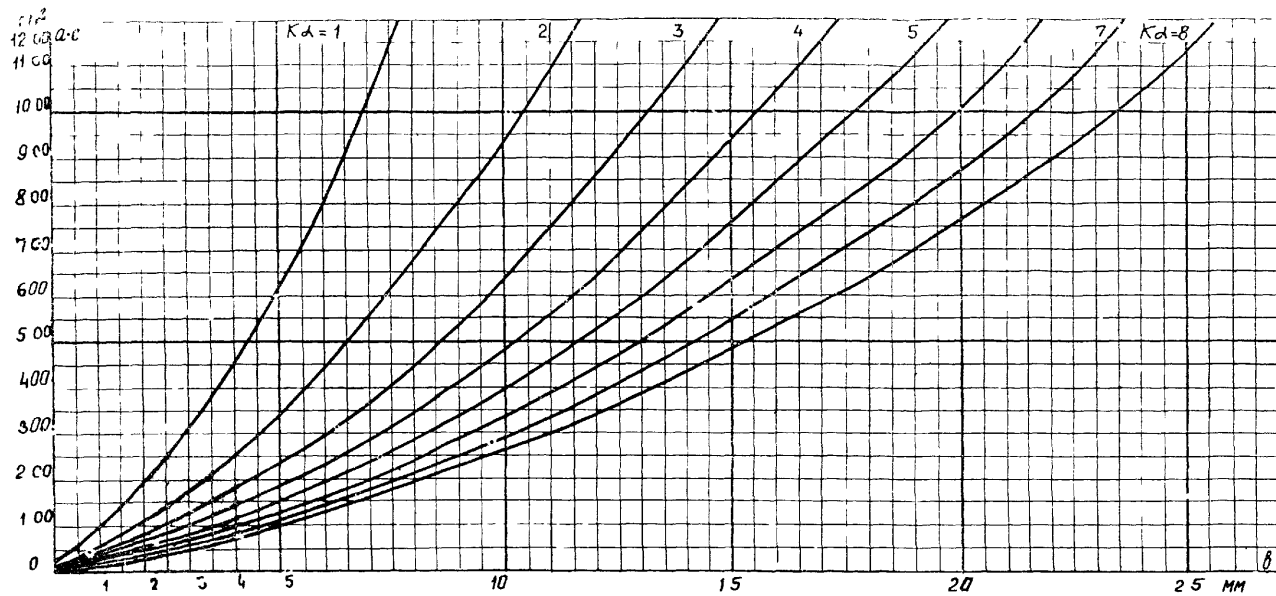
$$\delta = 0,12 / \text{cm}^3$$





$$\gamma = 0,2 \text{ e/cm}^3$$





$$\delta = 0,3 \text{ z/cm}^3$$

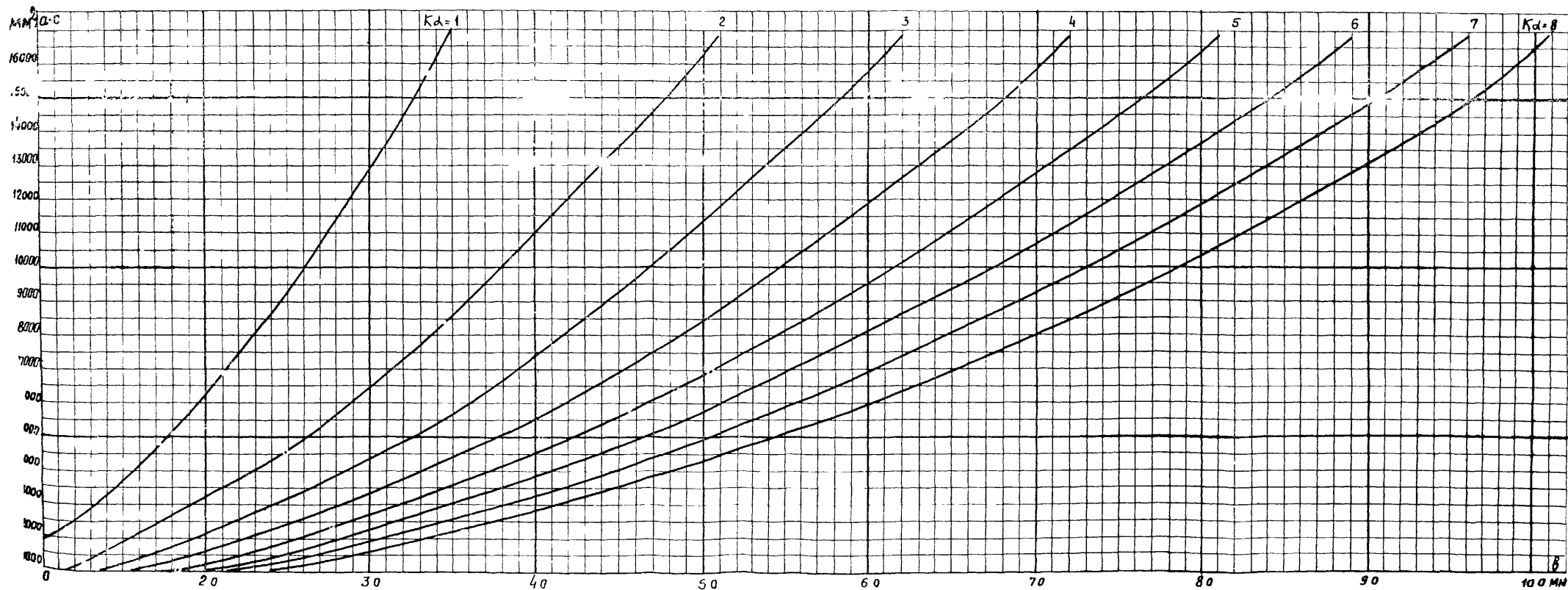
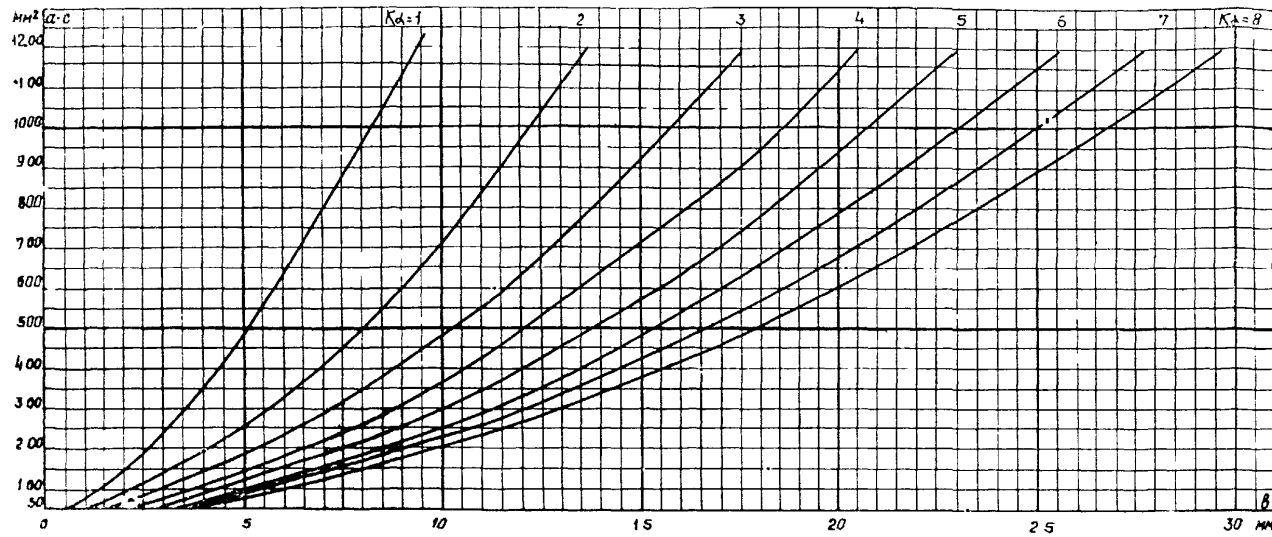


Рис. 17



$$\gamma = 0,4 \text{ г/см}^3$$

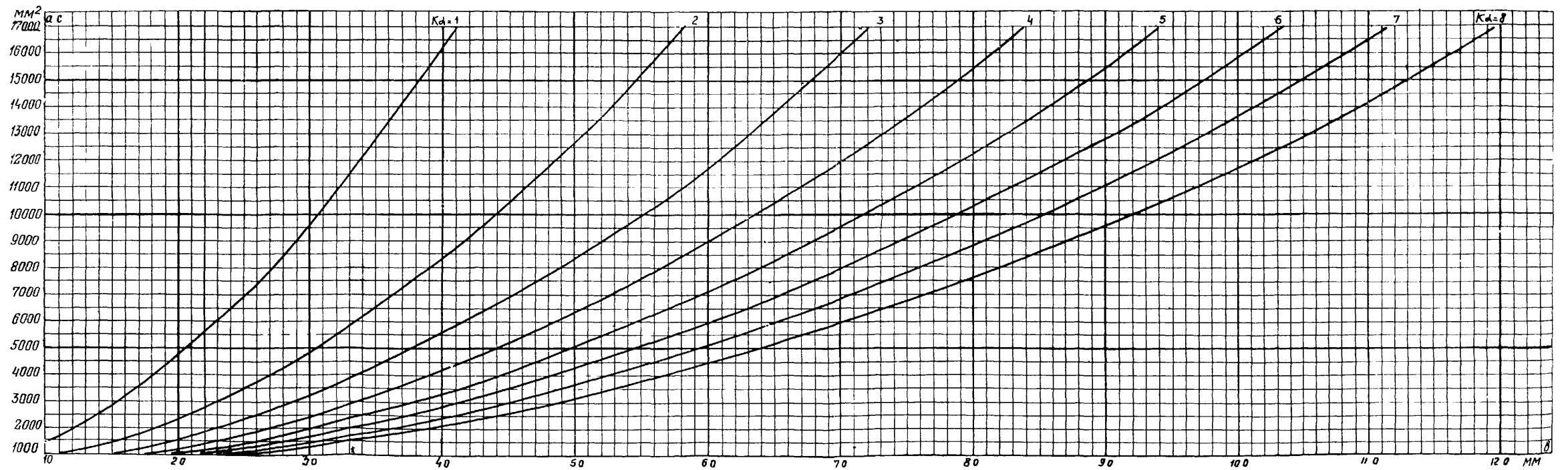


Рис. 18

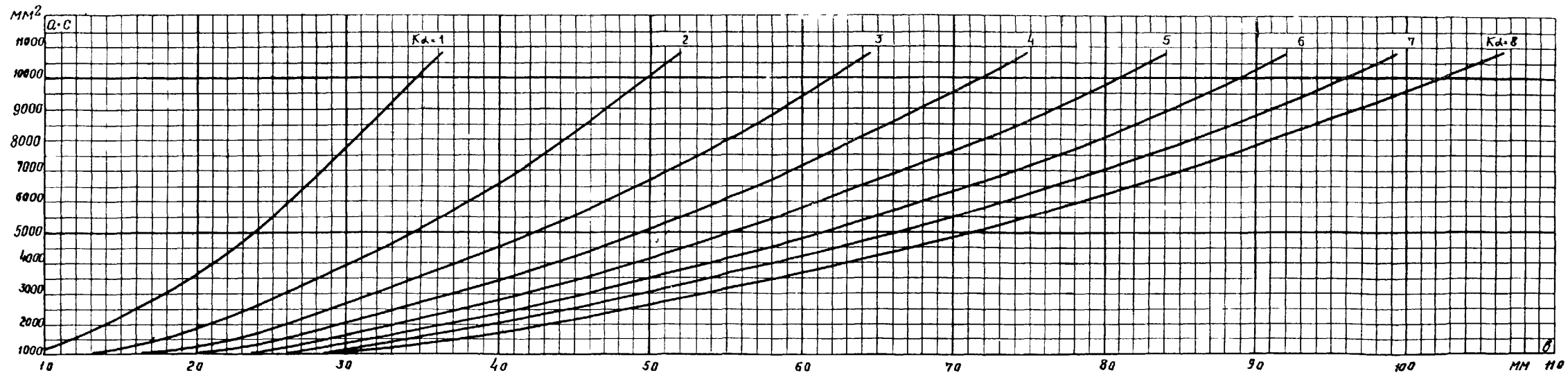
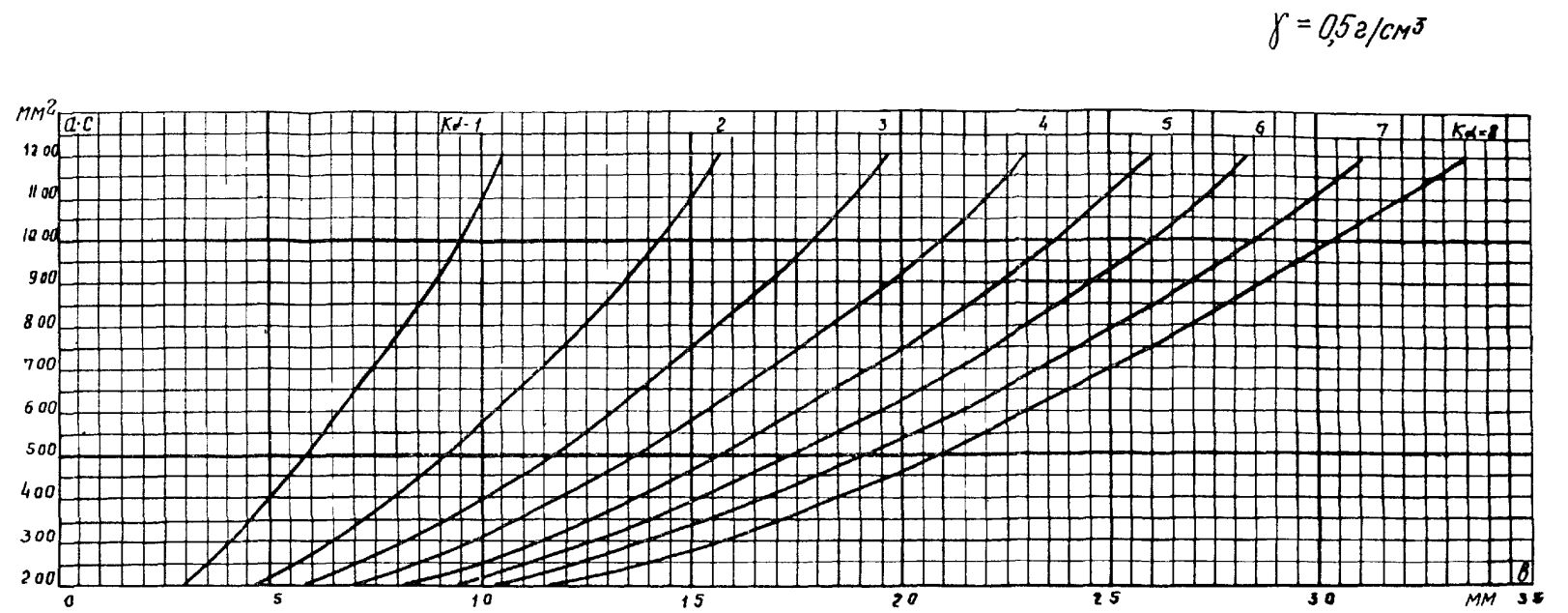
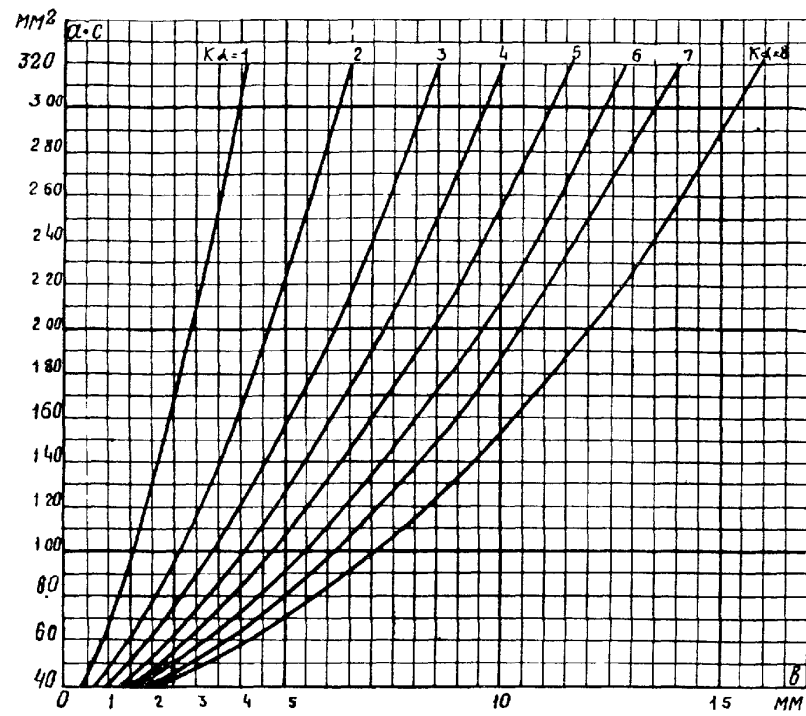


Рис. 19

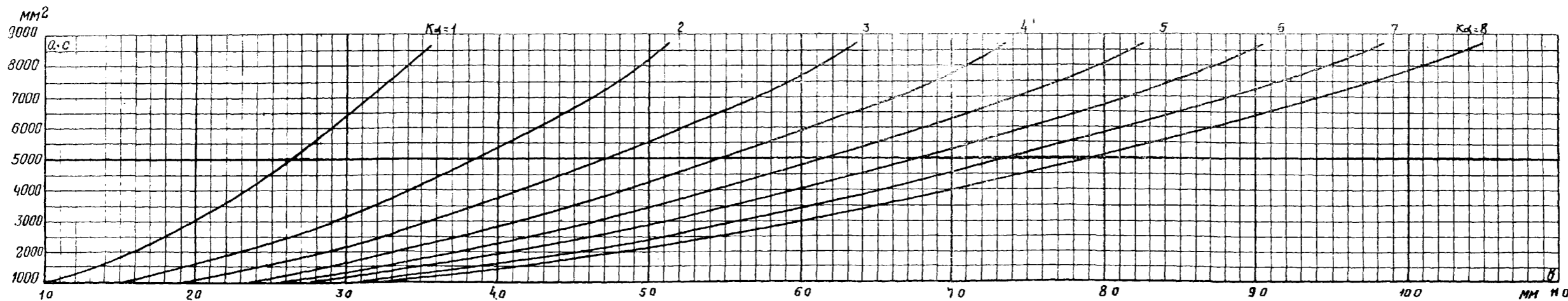
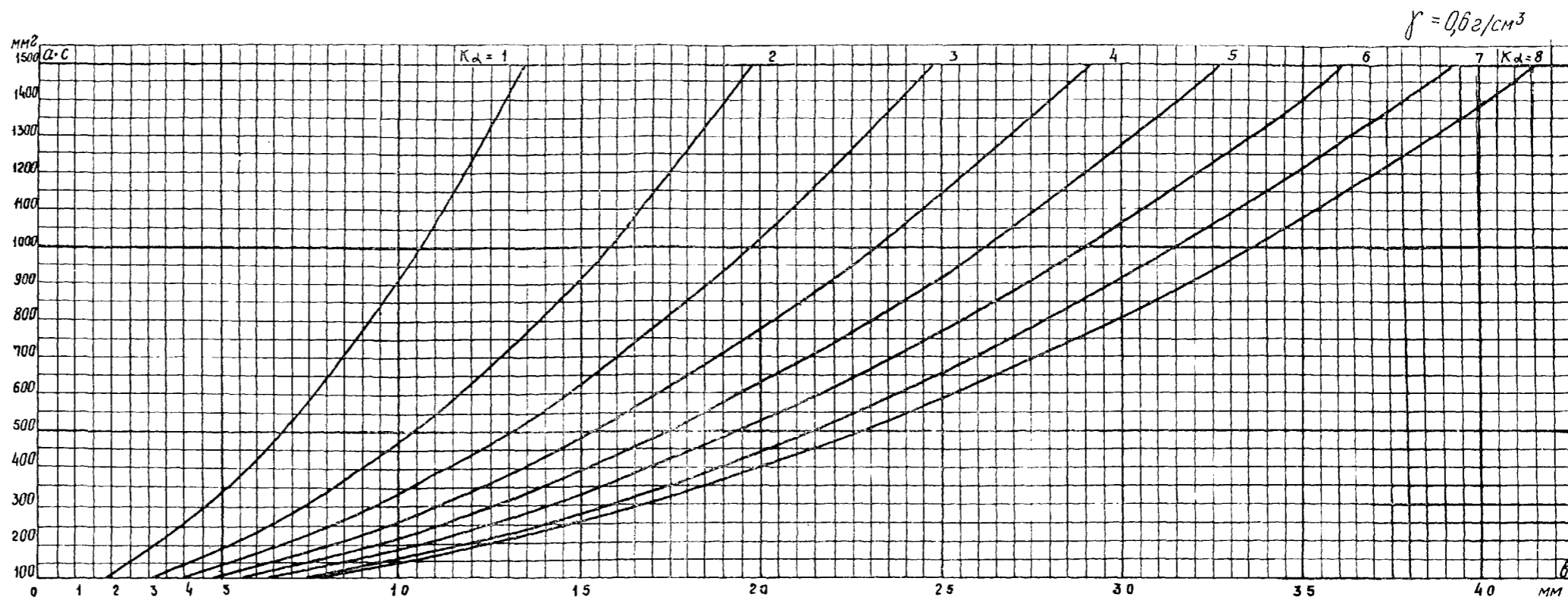
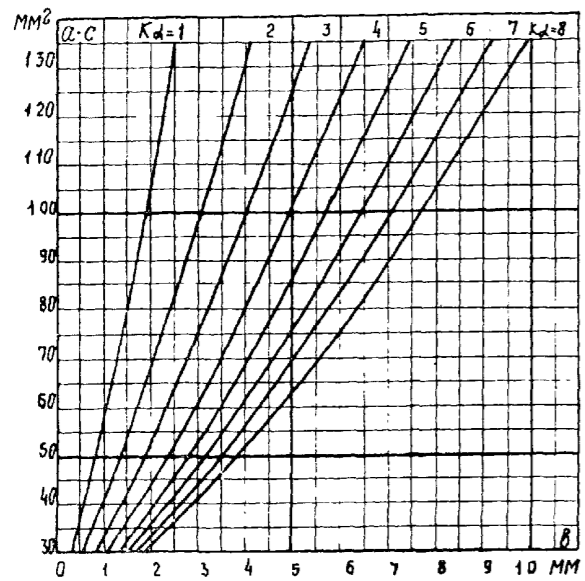


Рис. 20

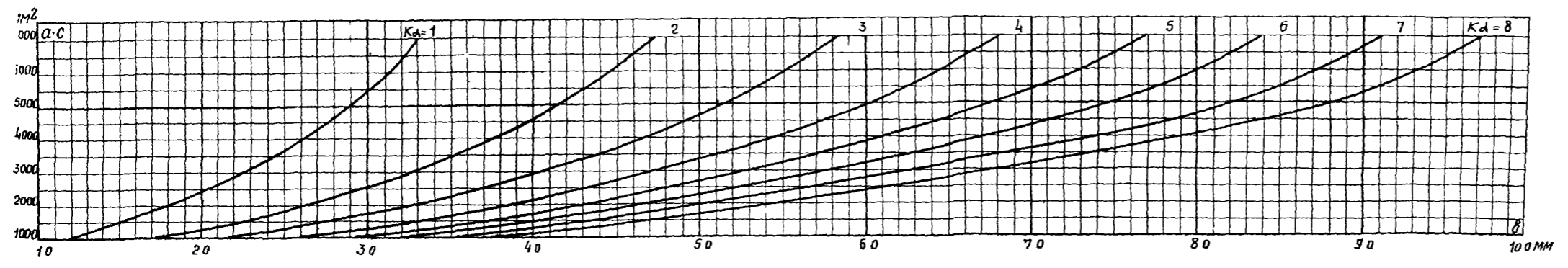
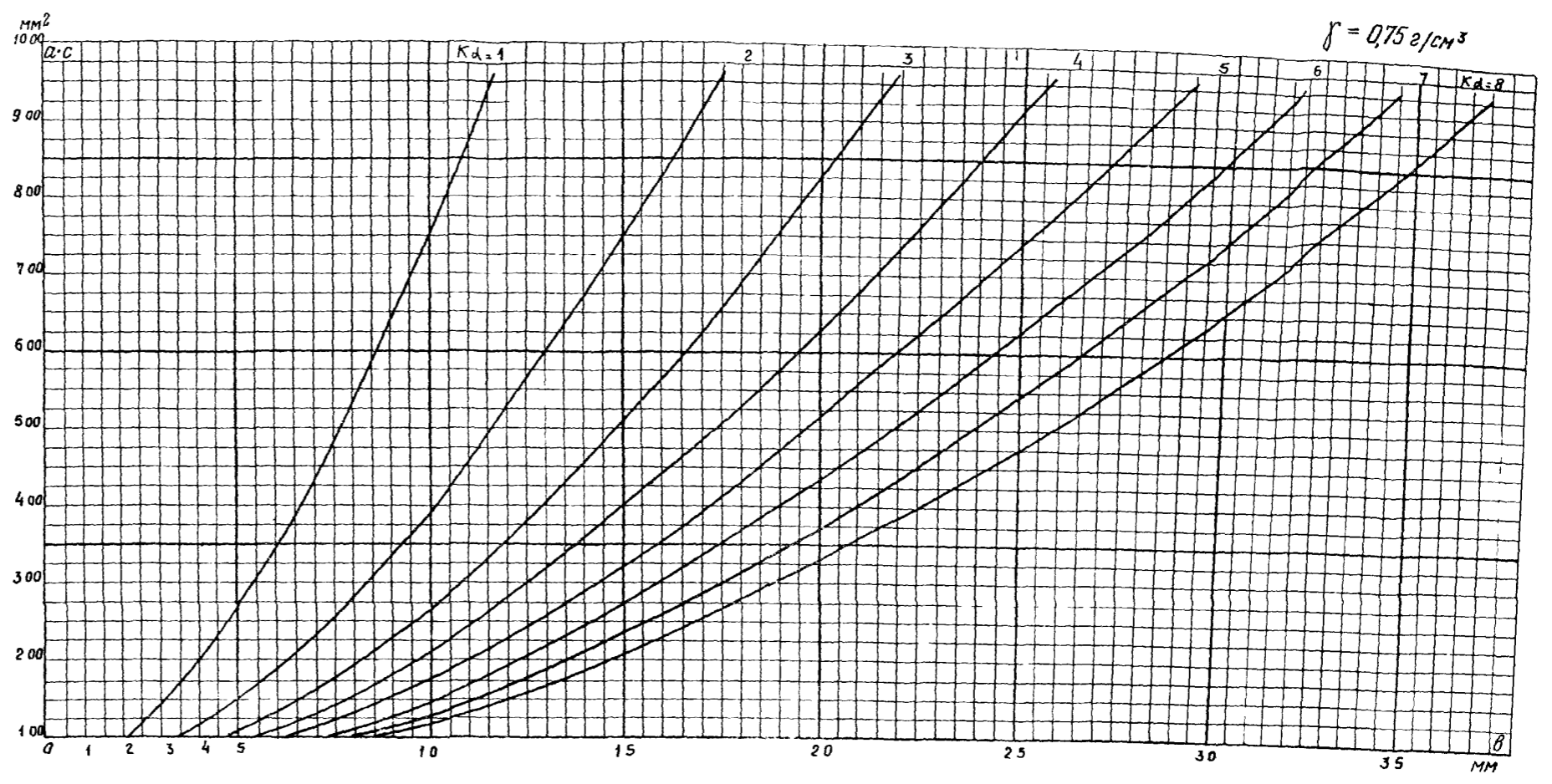
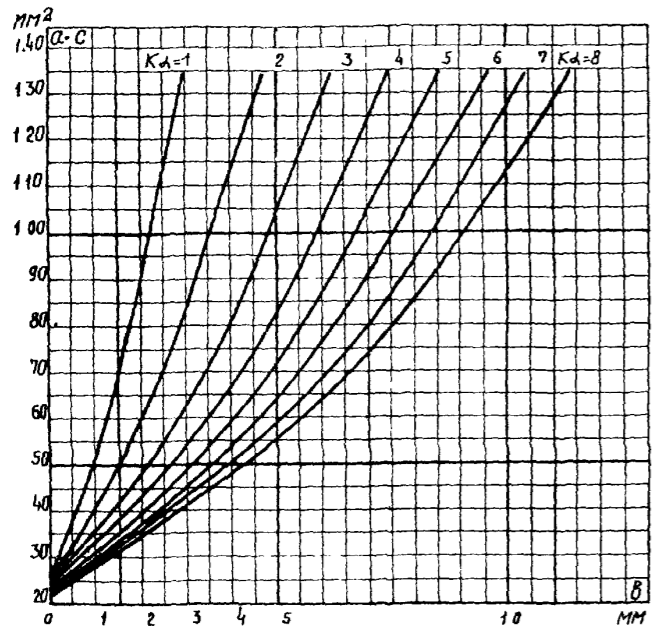


Рис. 21

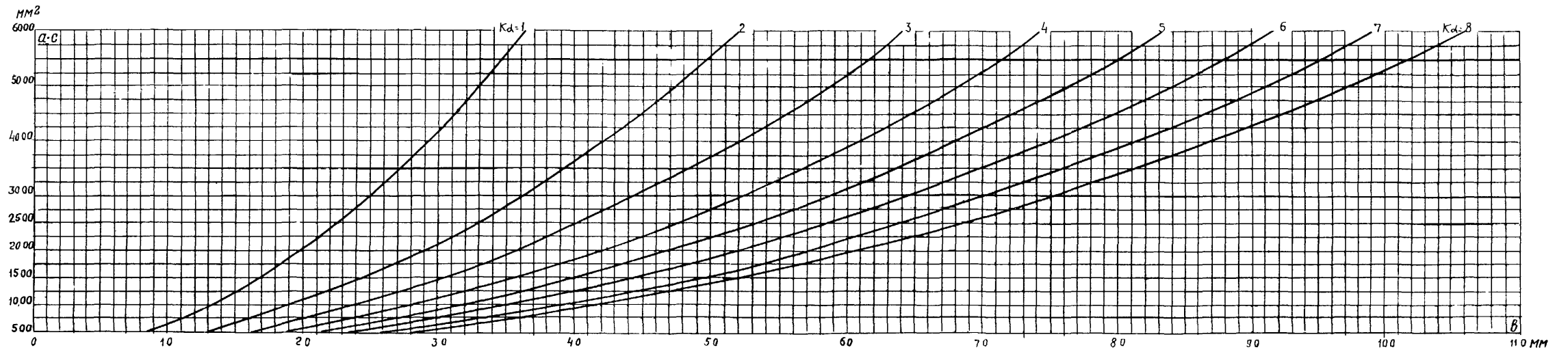
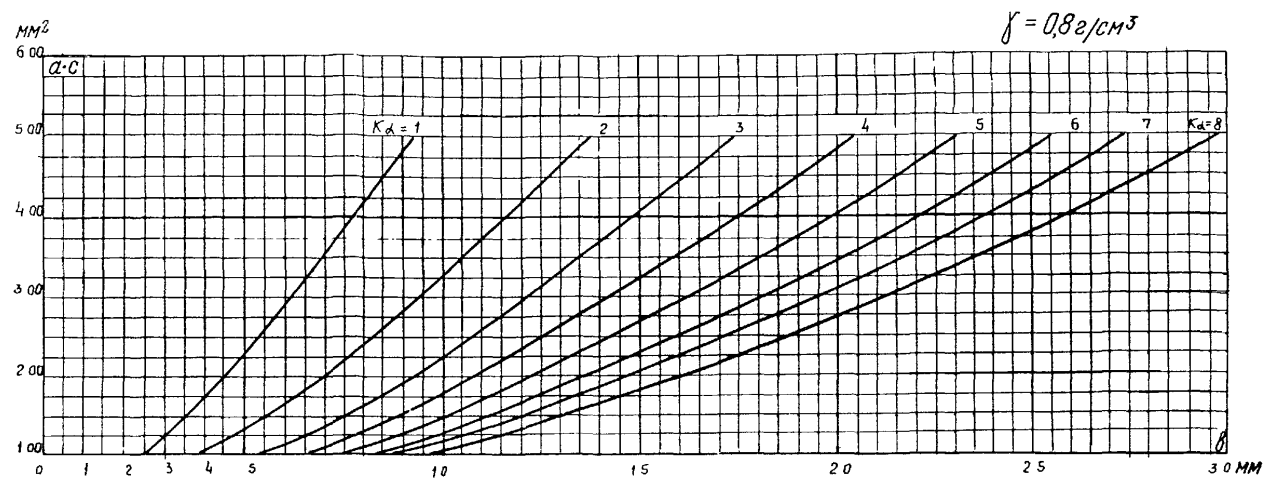
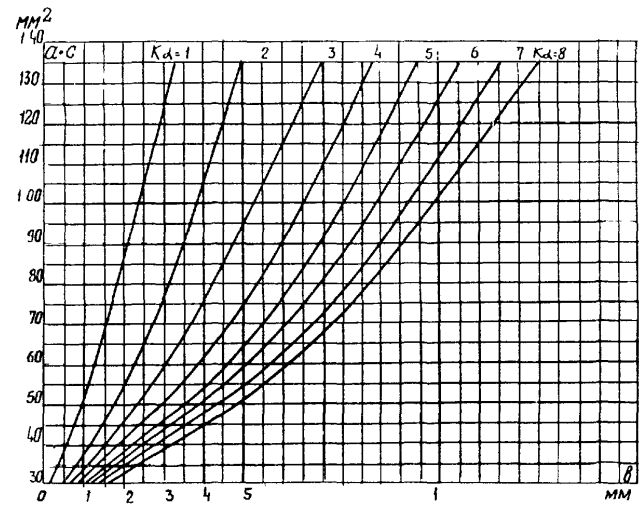


Рис. 22

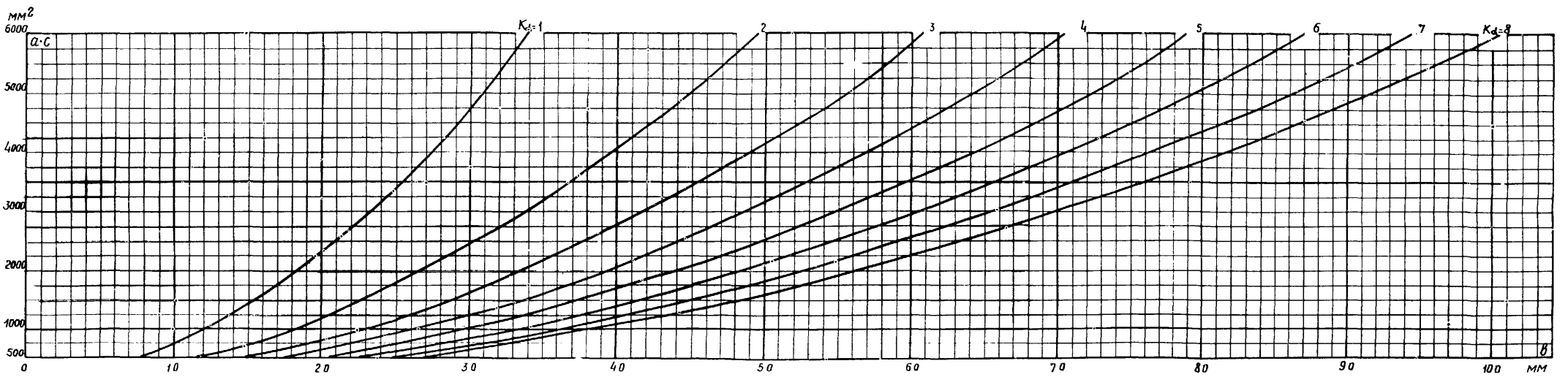
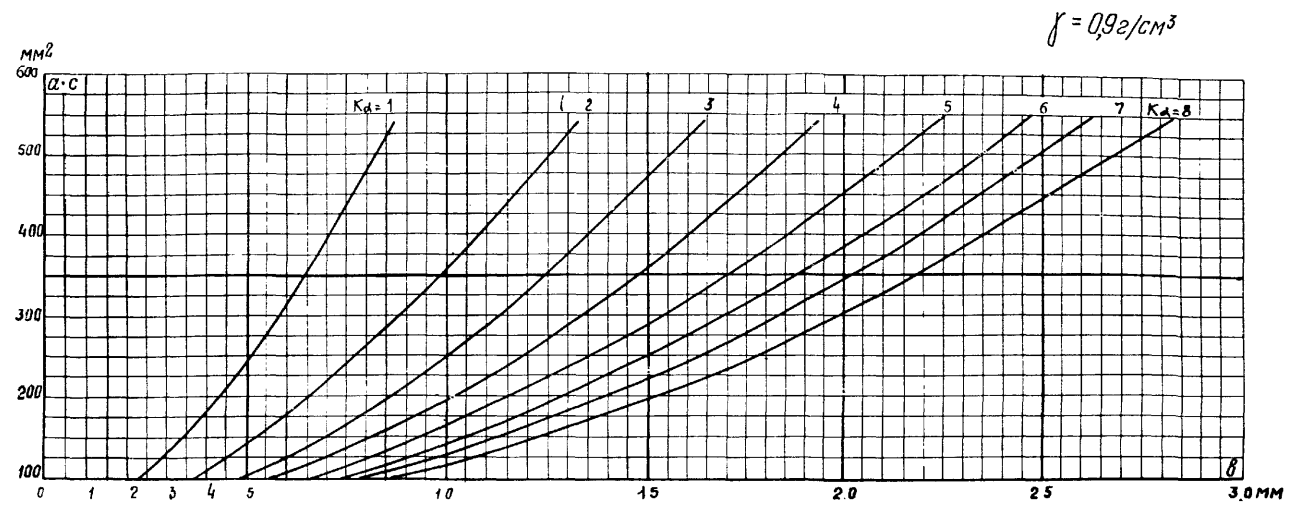
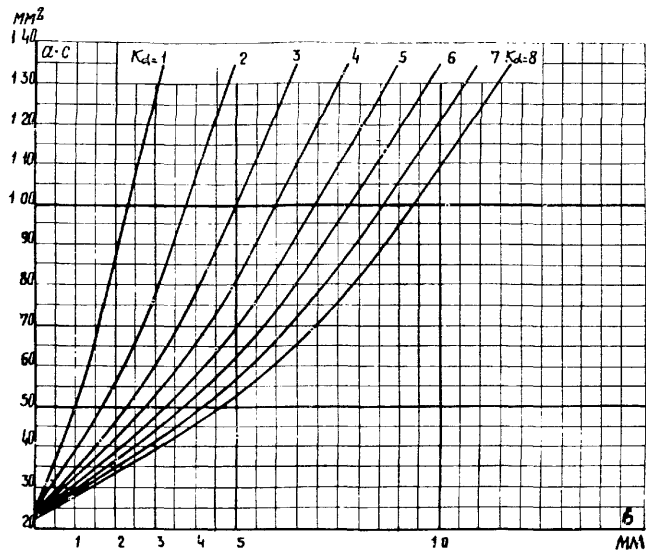
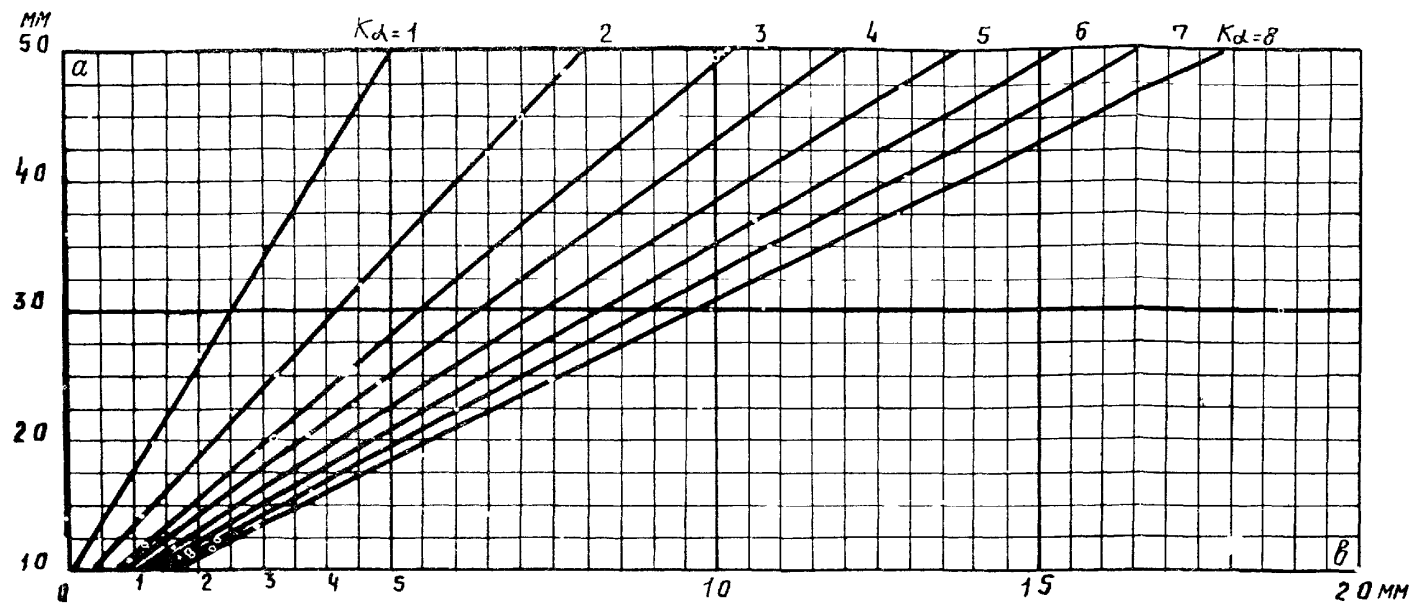


Рис. 23



$$\gamma = 0,12/cm^3$$

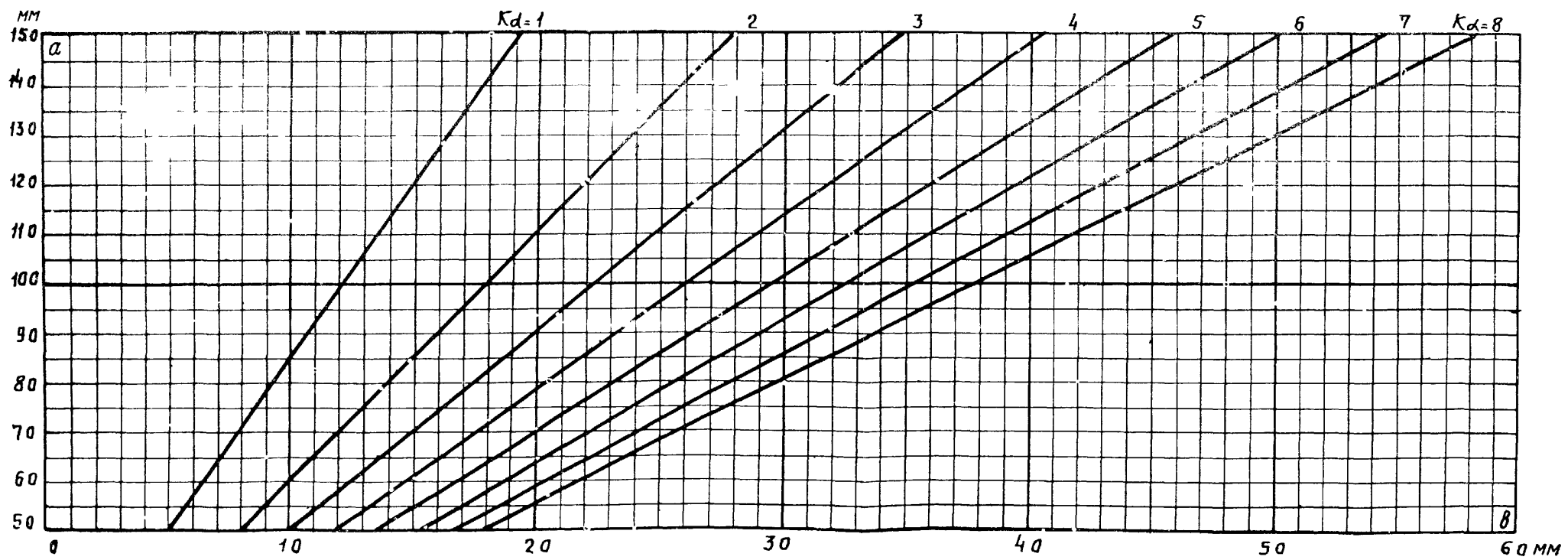
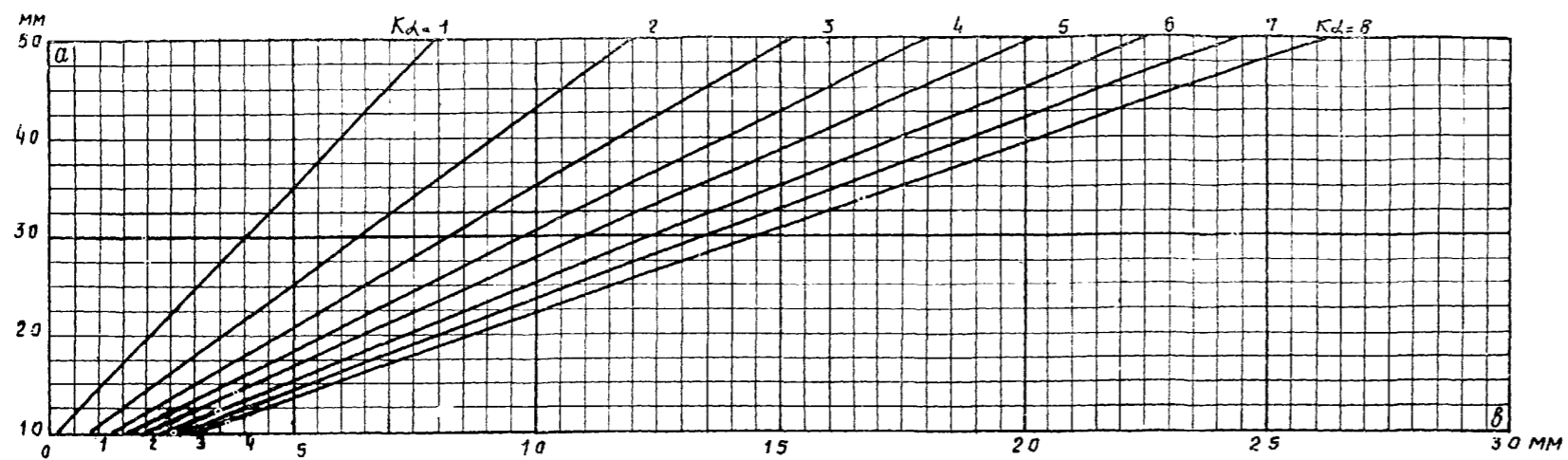


Рис. 24



$\gamma = 0,2 \text{ г/см}^3$

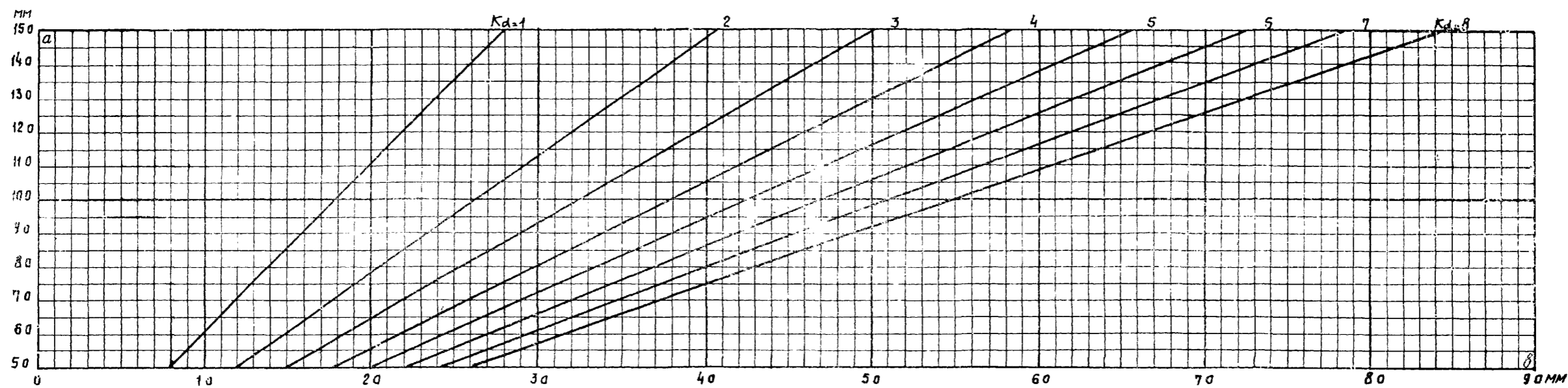


Рис.25

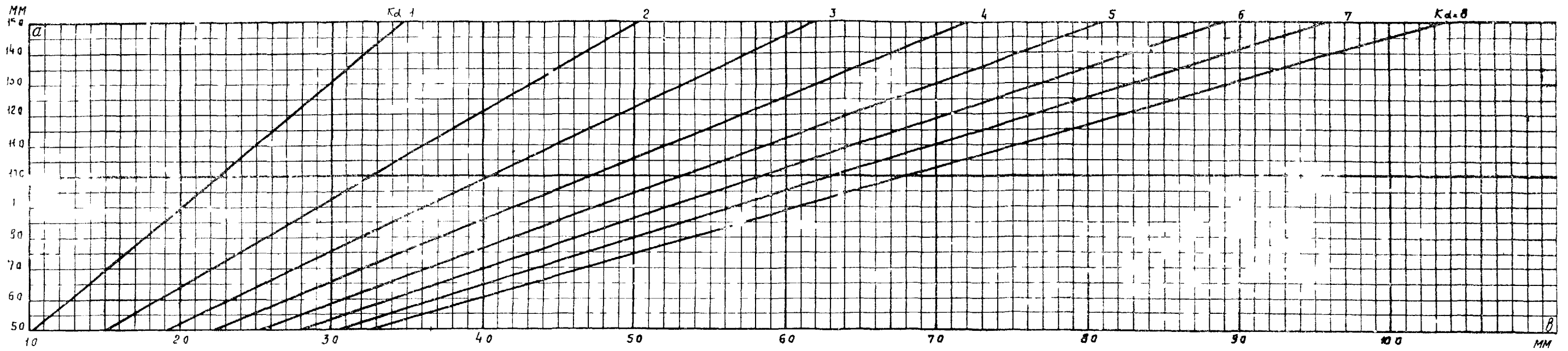
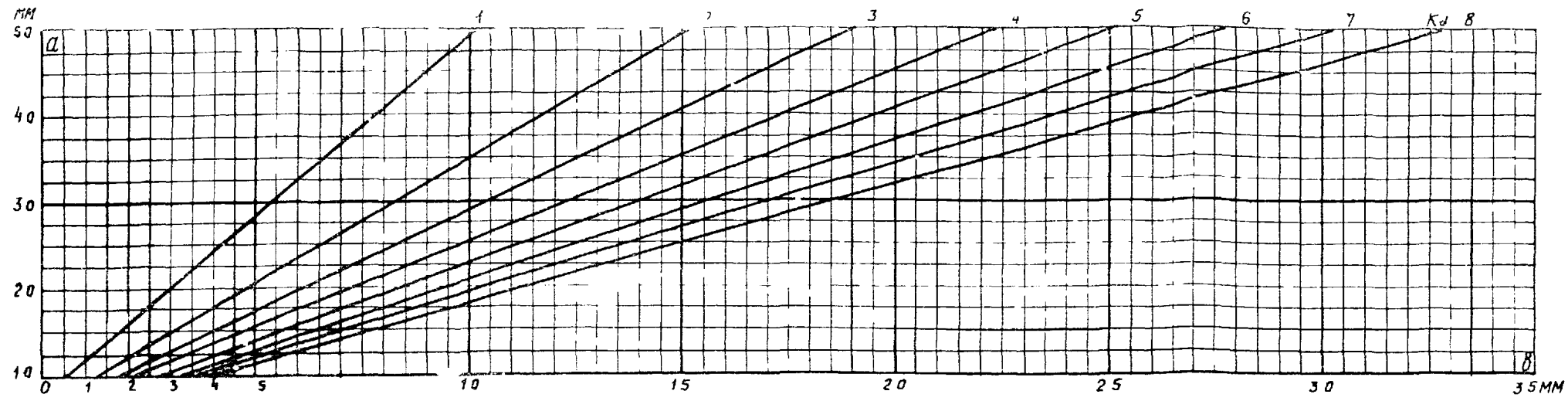


Рис.26

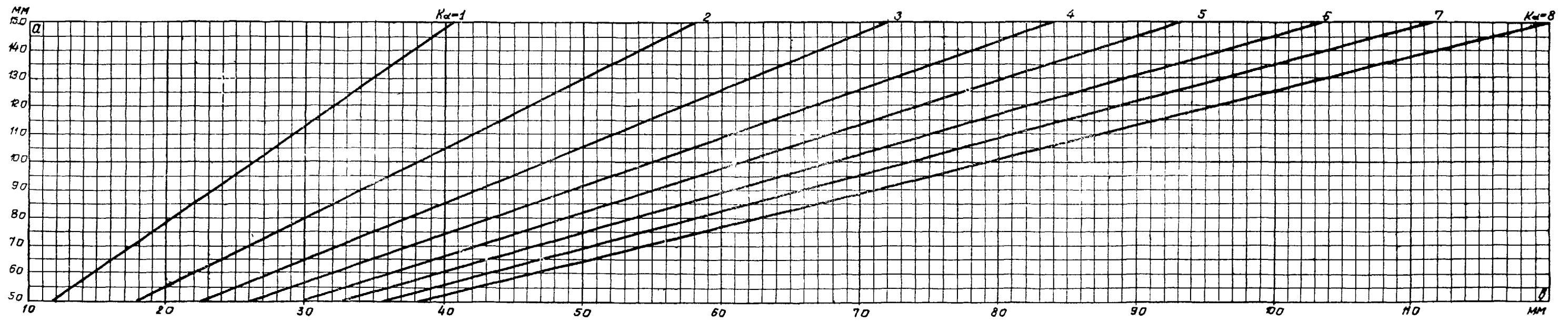
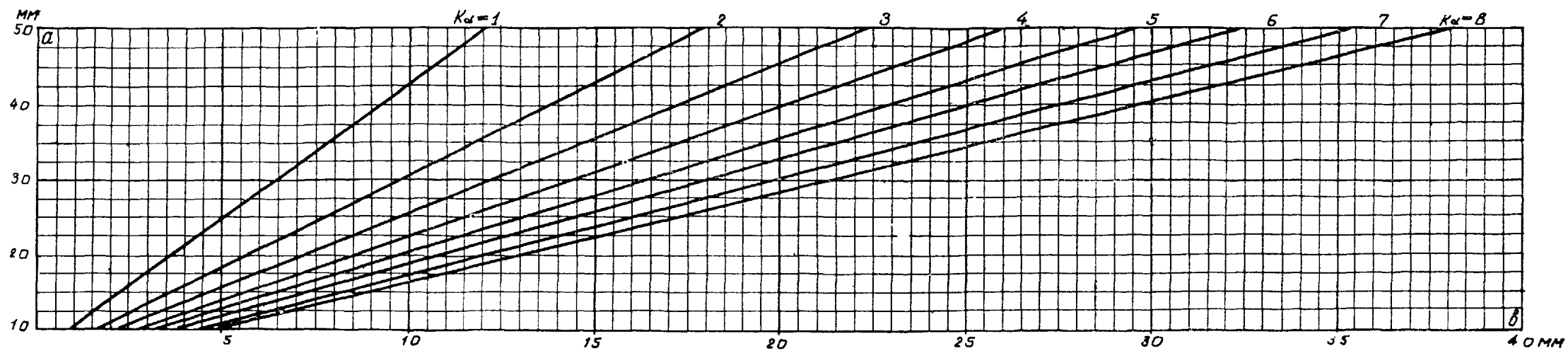


Рис.27

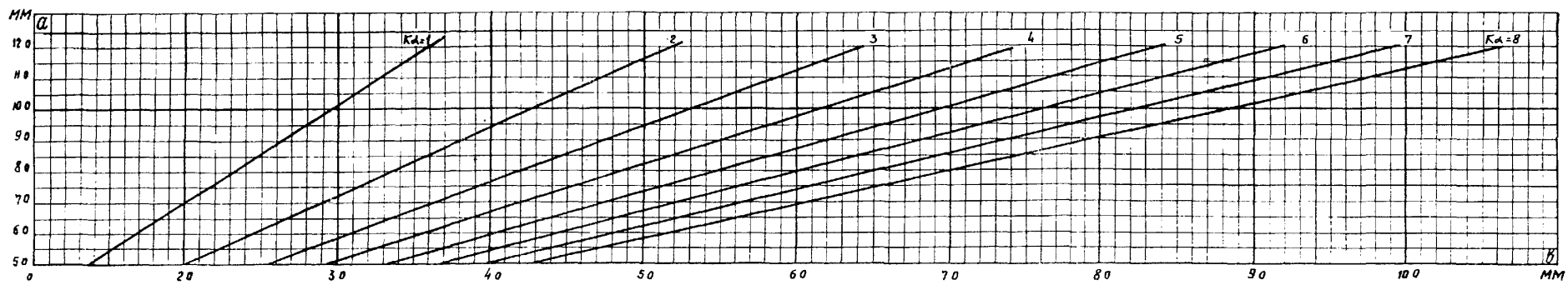
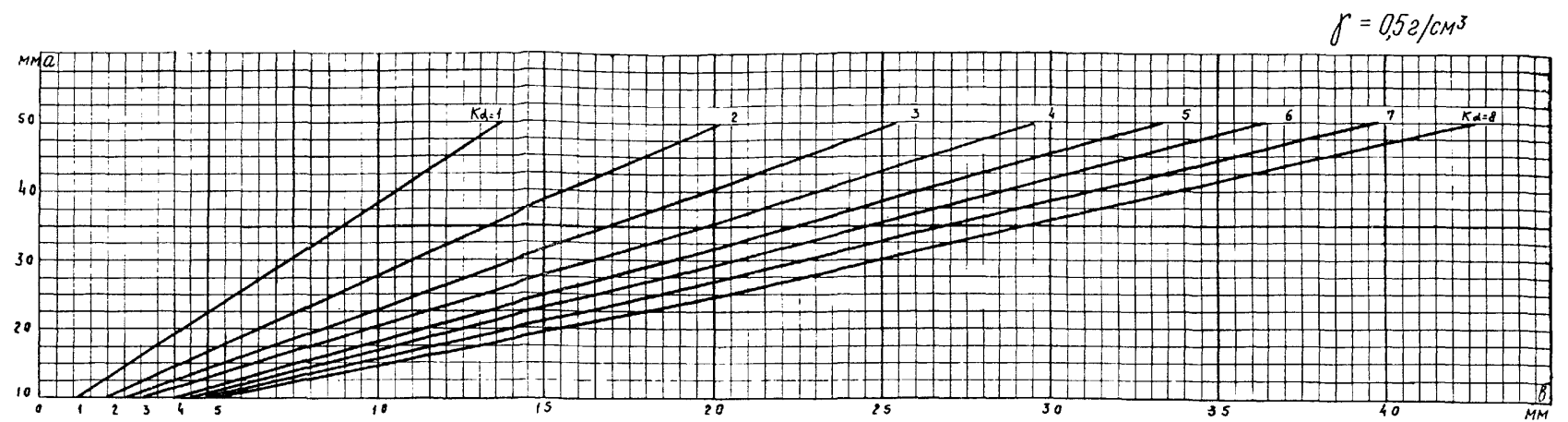
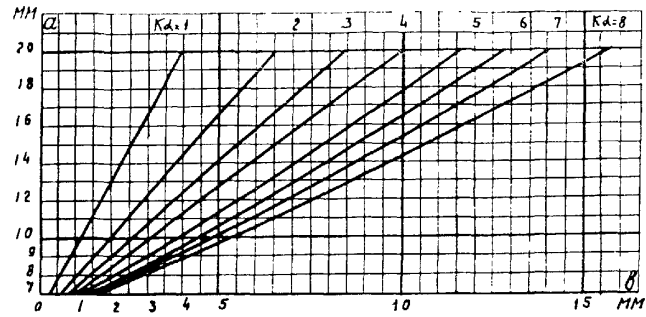


Рис. 28

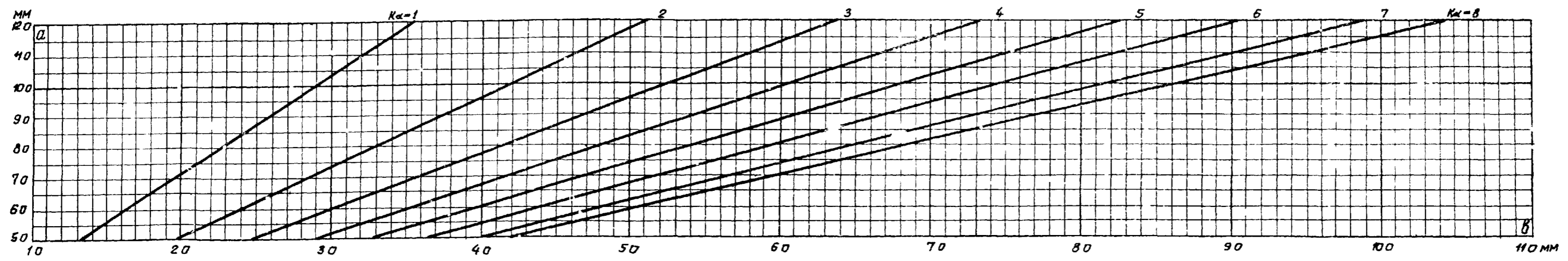
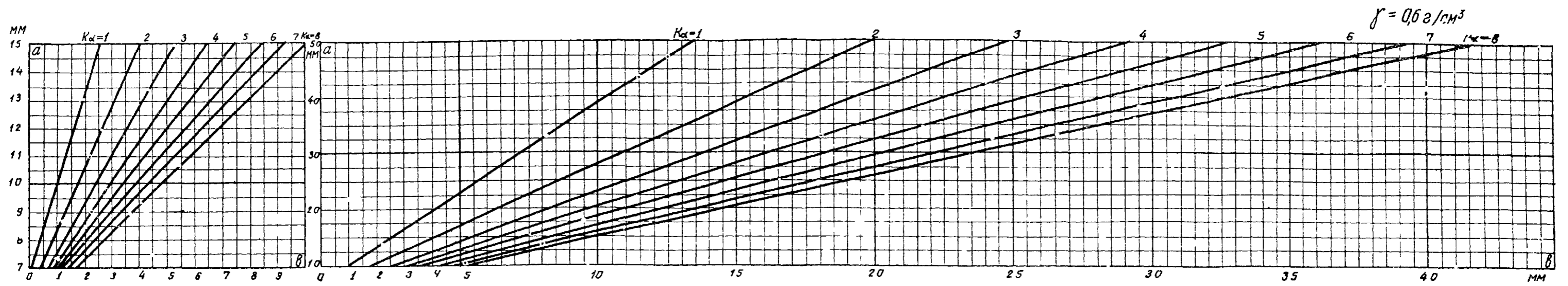


Рис. 29

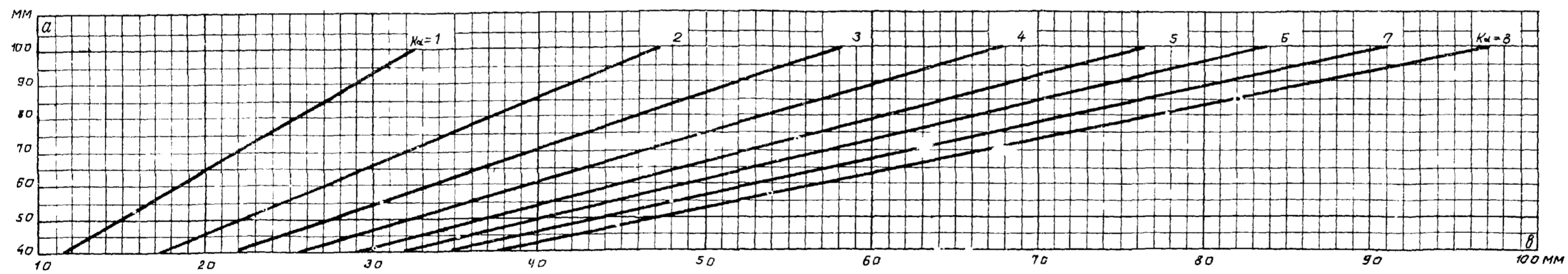
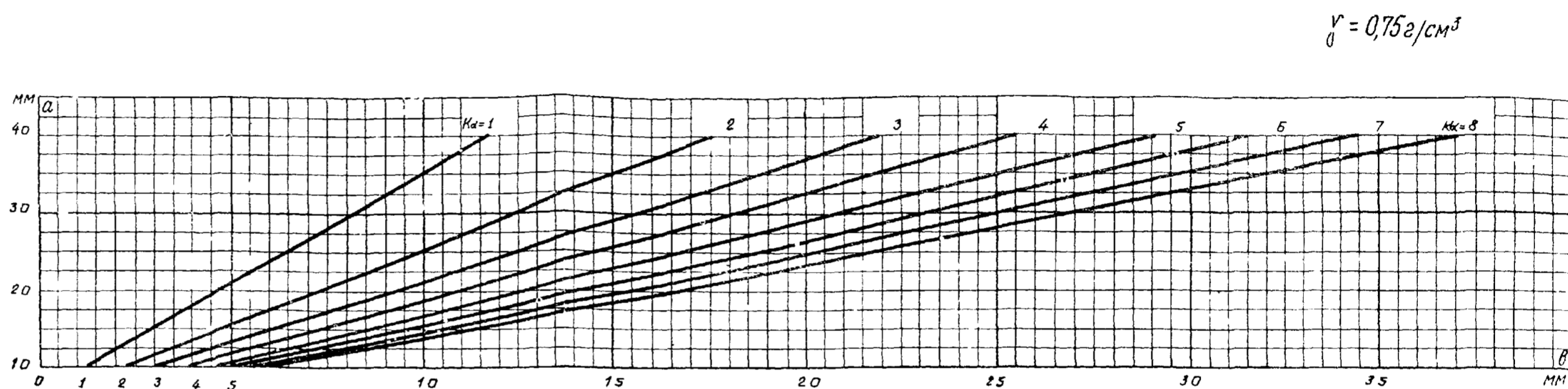
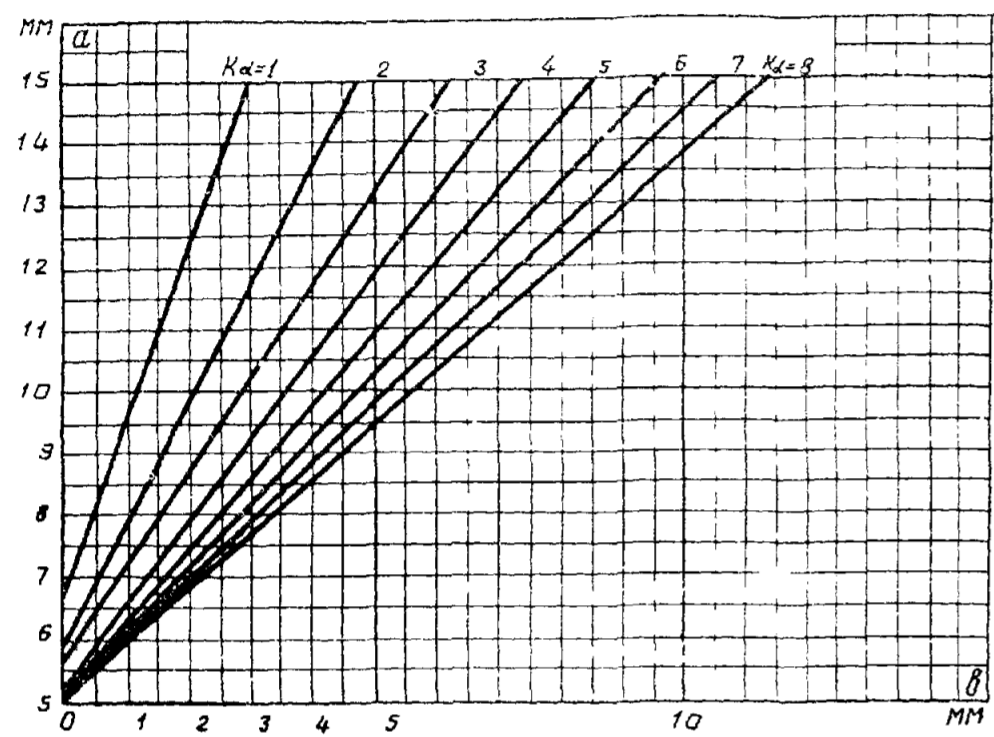
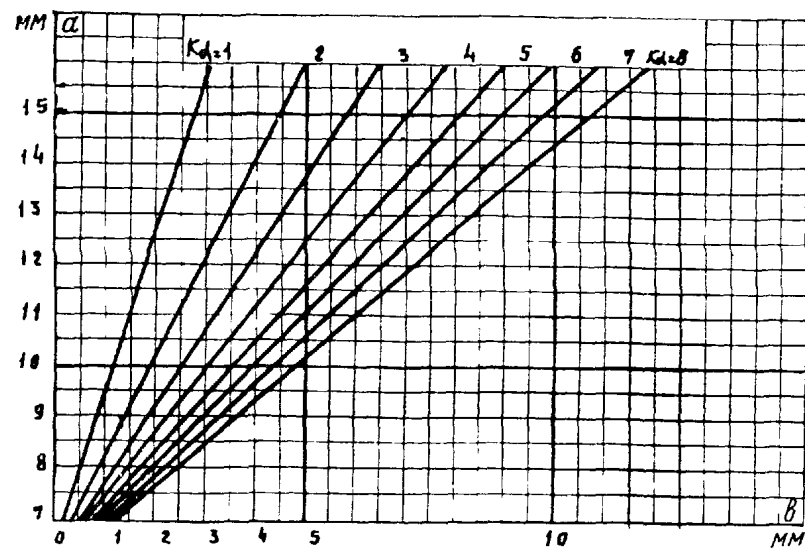


Рис. 30



$\gamma = 0.82/cm^3$

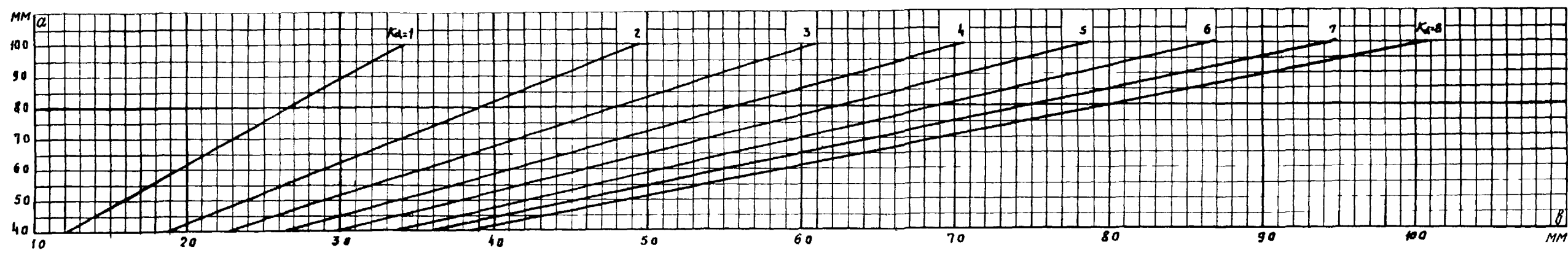
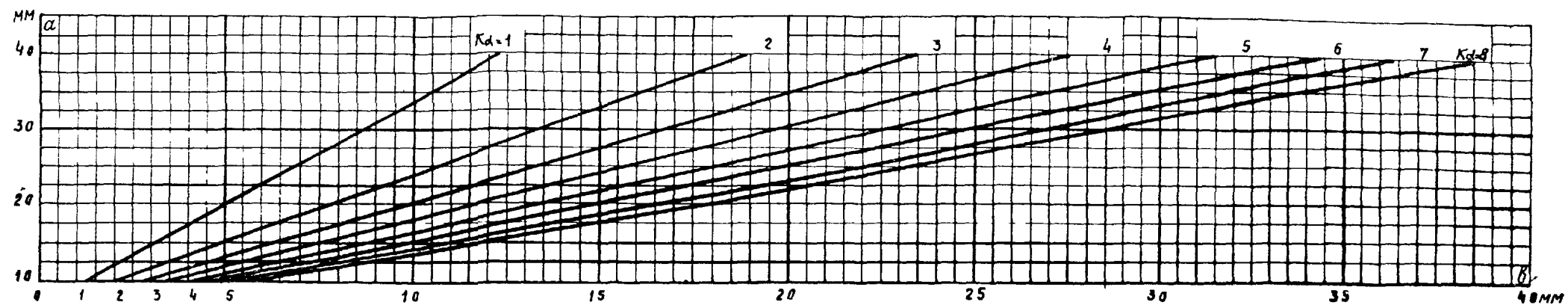
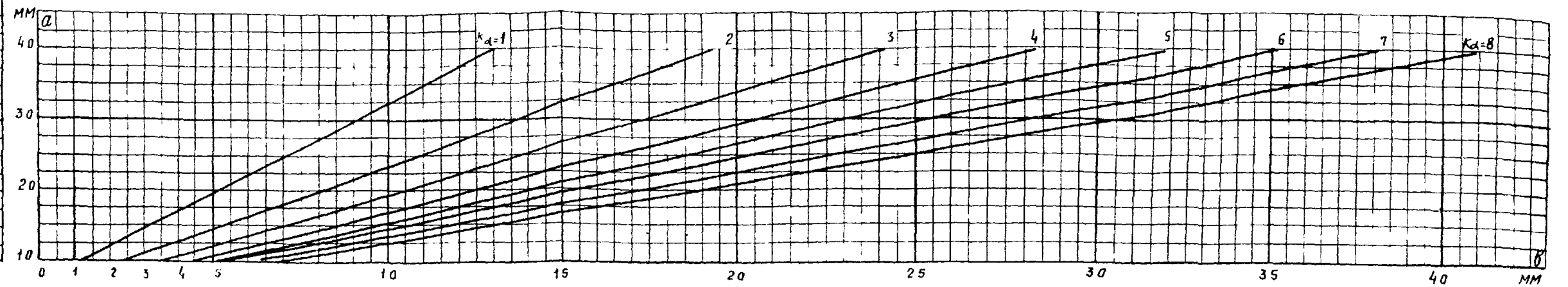
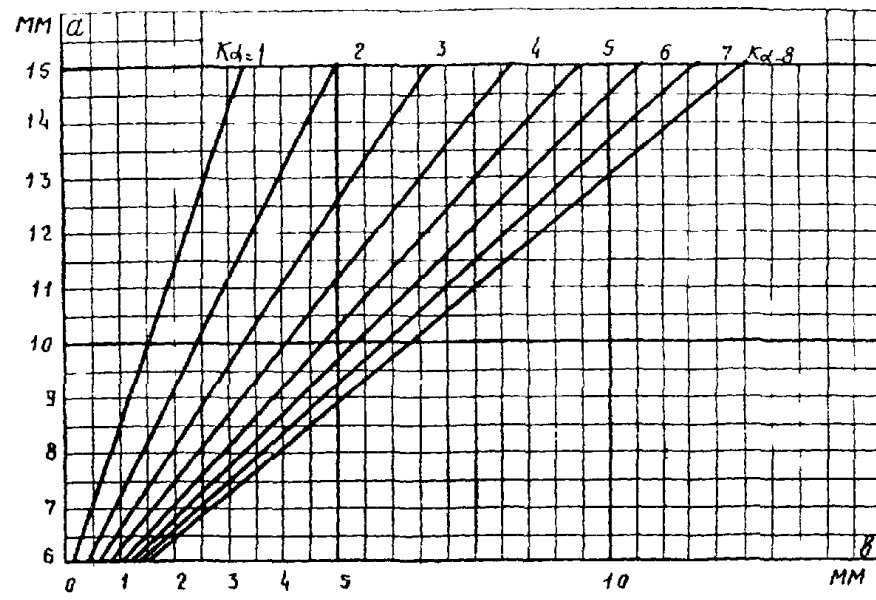


Рис.31



$\gamma = 0,92/cm^3$

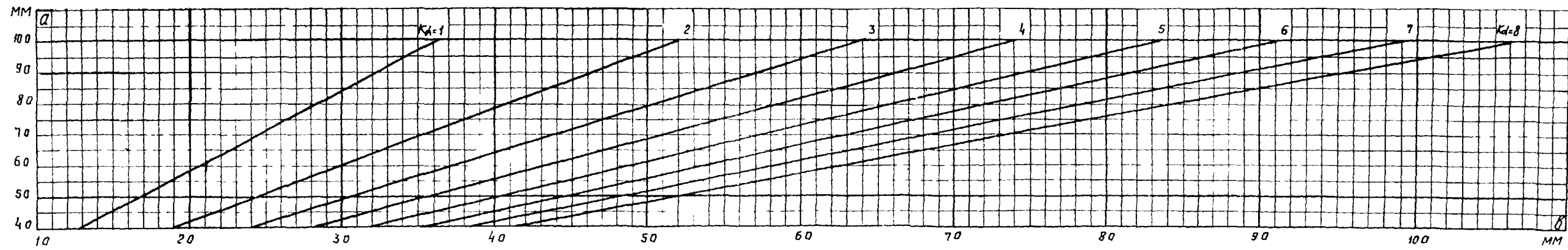


Рис.32

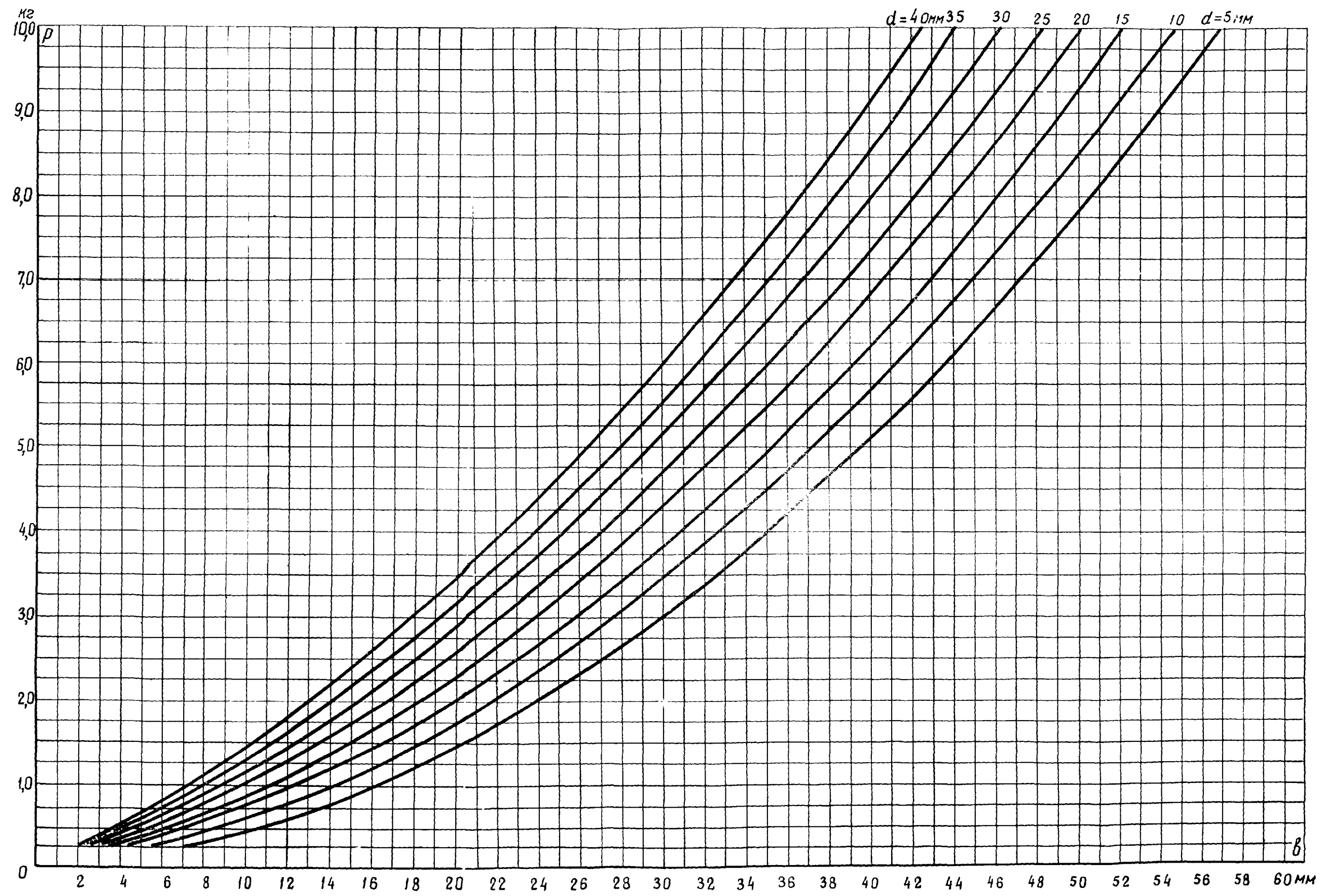


Рис.33

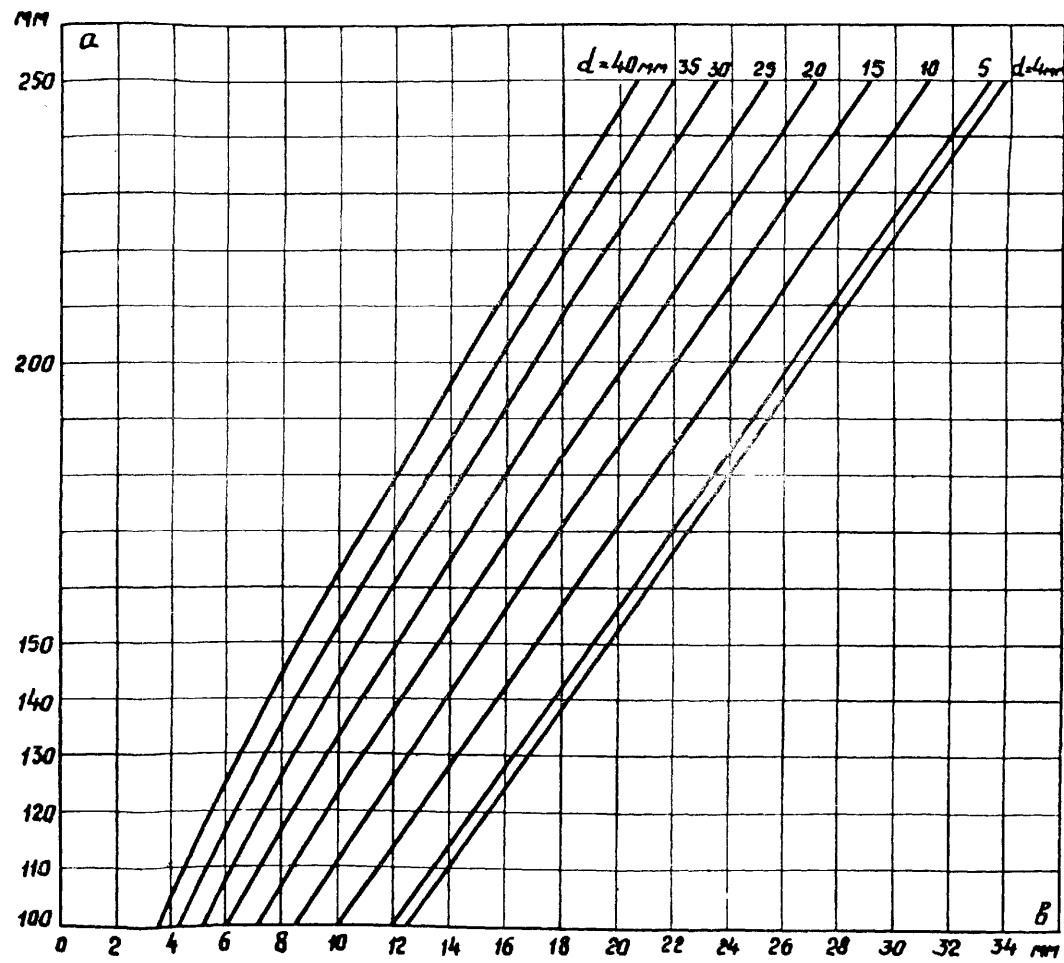
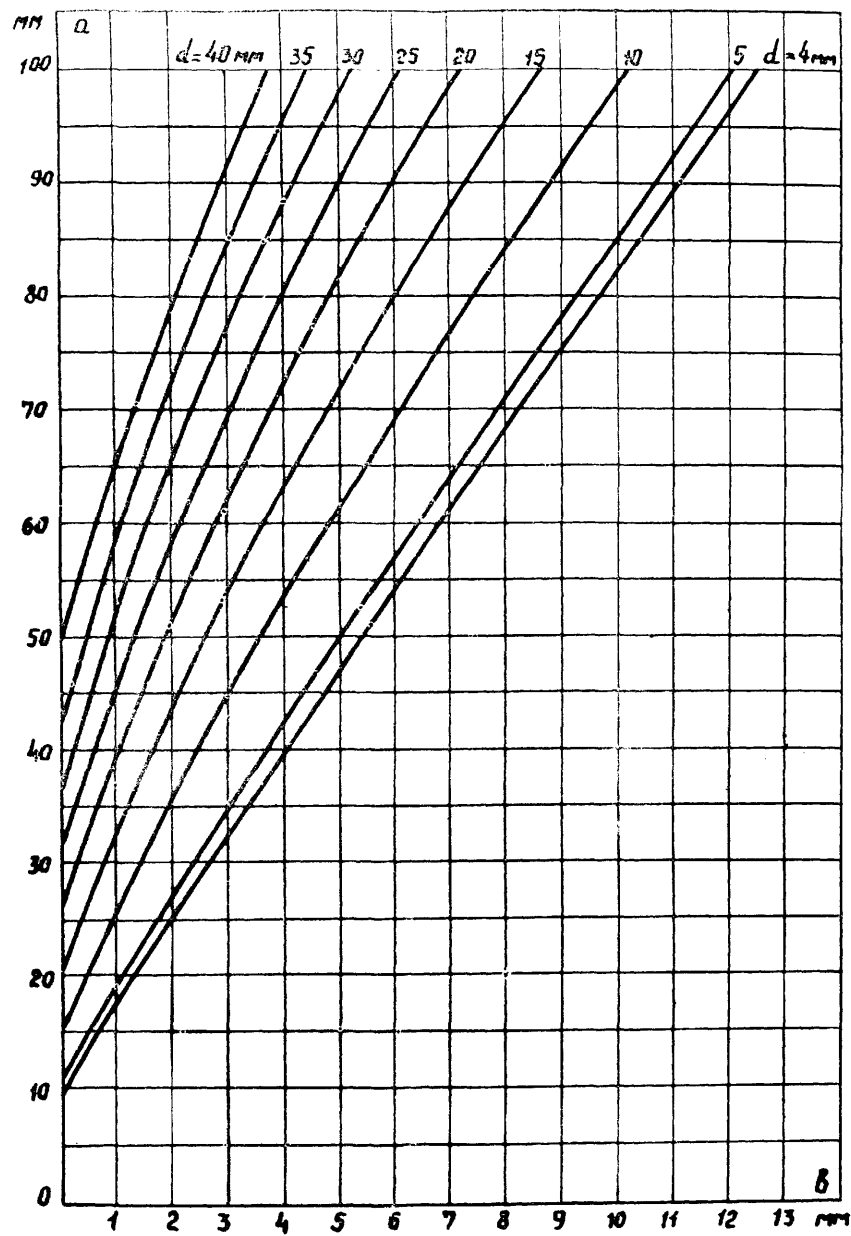


Рис.34

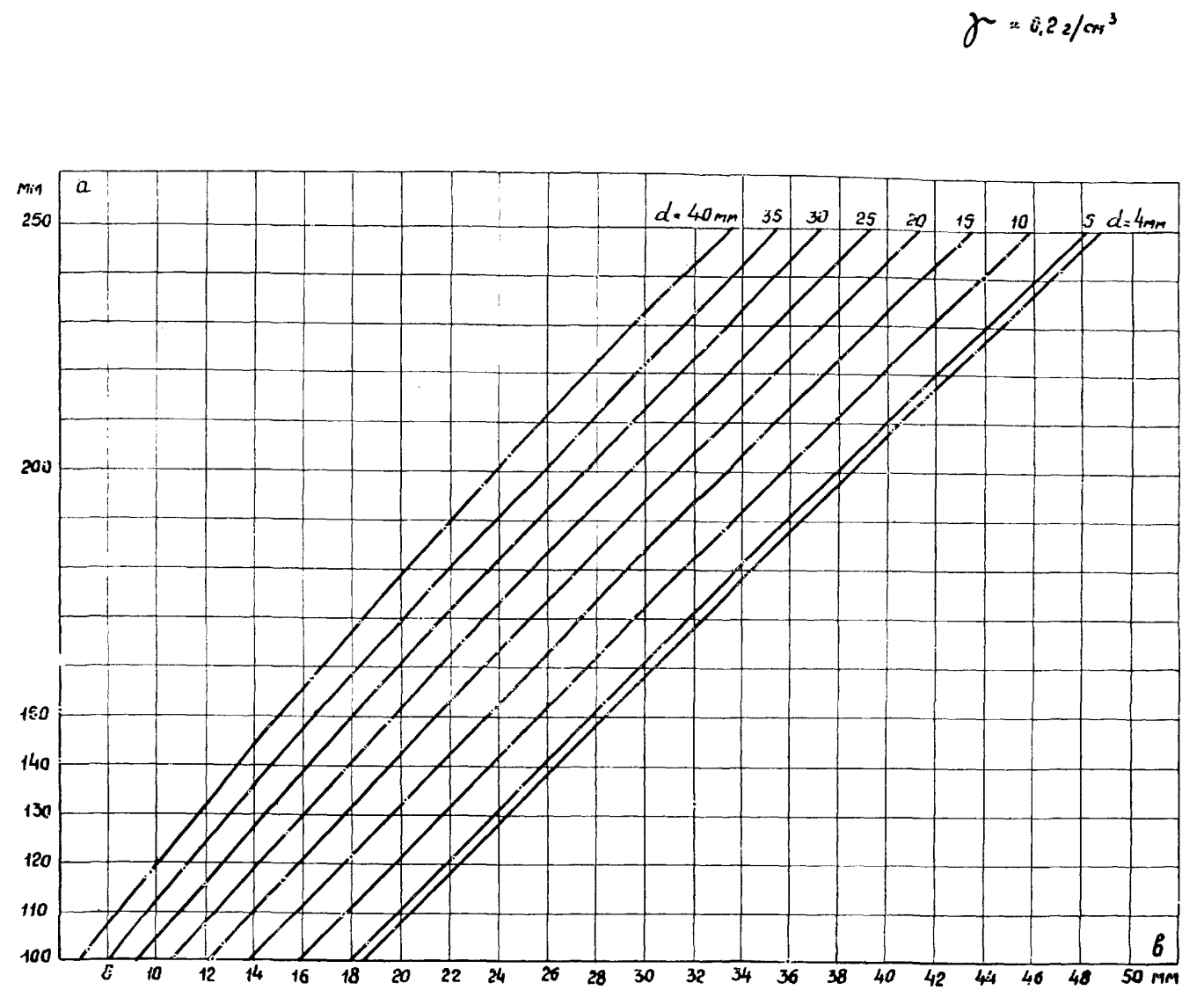
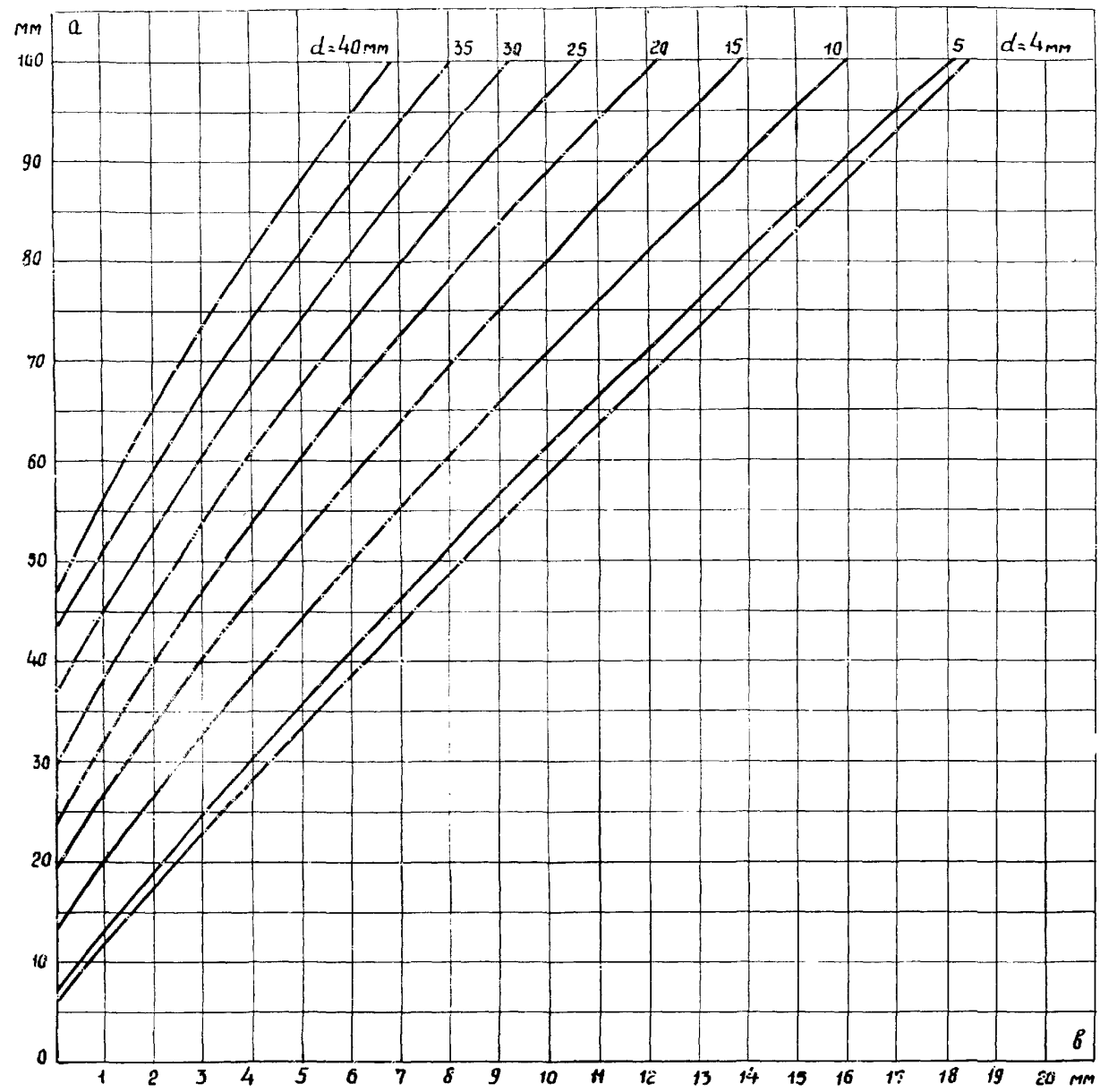


Рис. 35

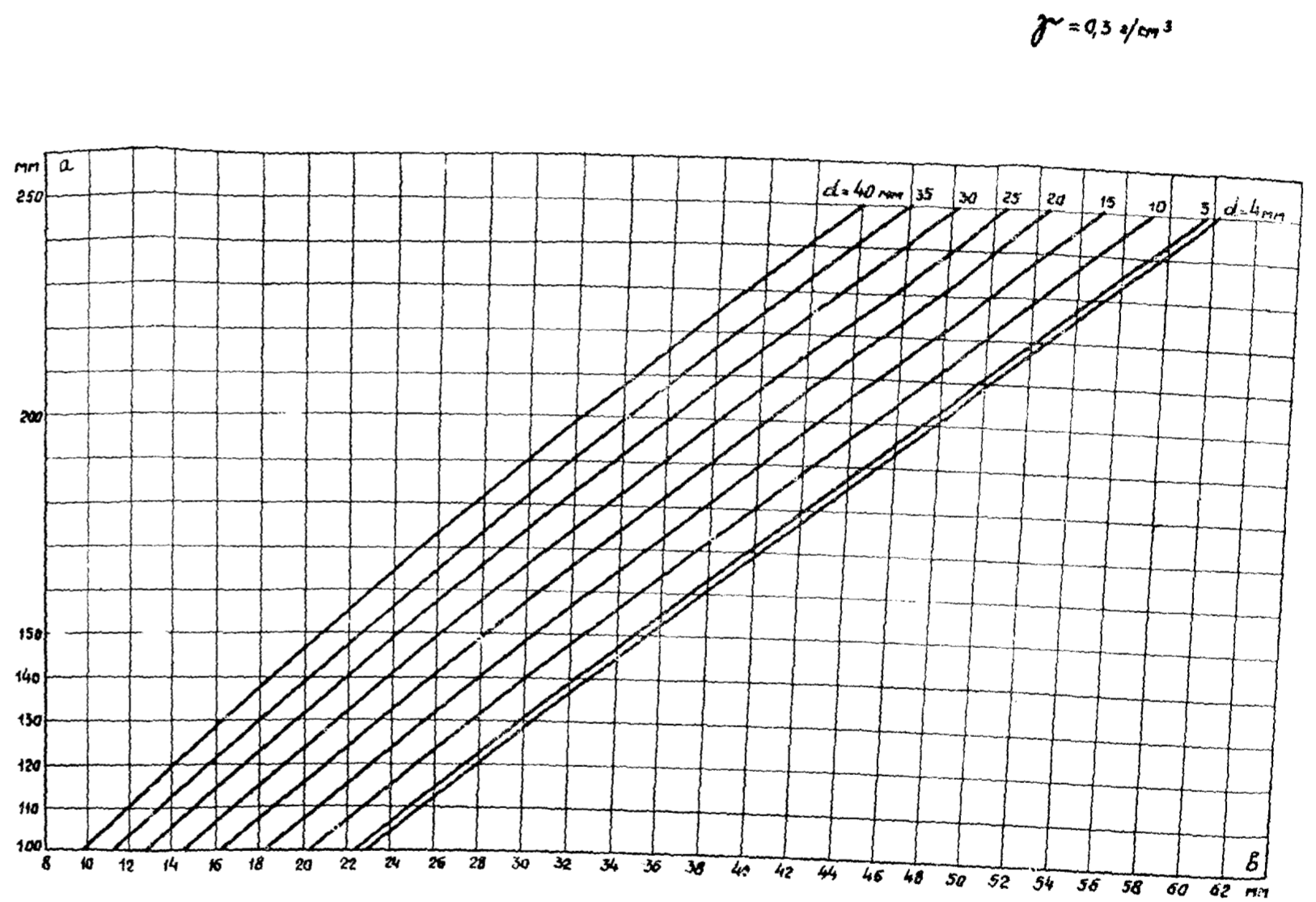
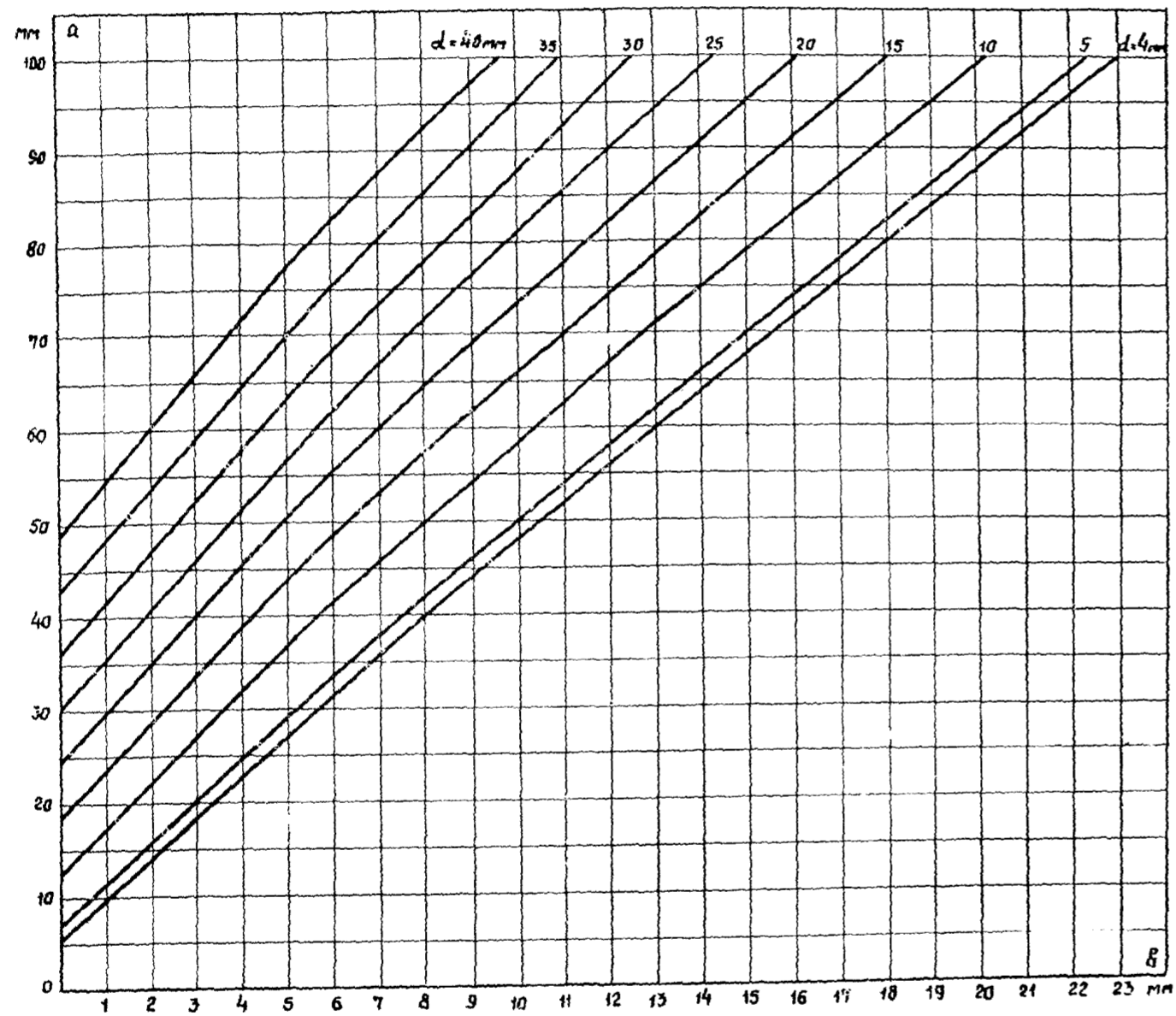


Рис. 36

$\sigma = 0,42/cm^3$

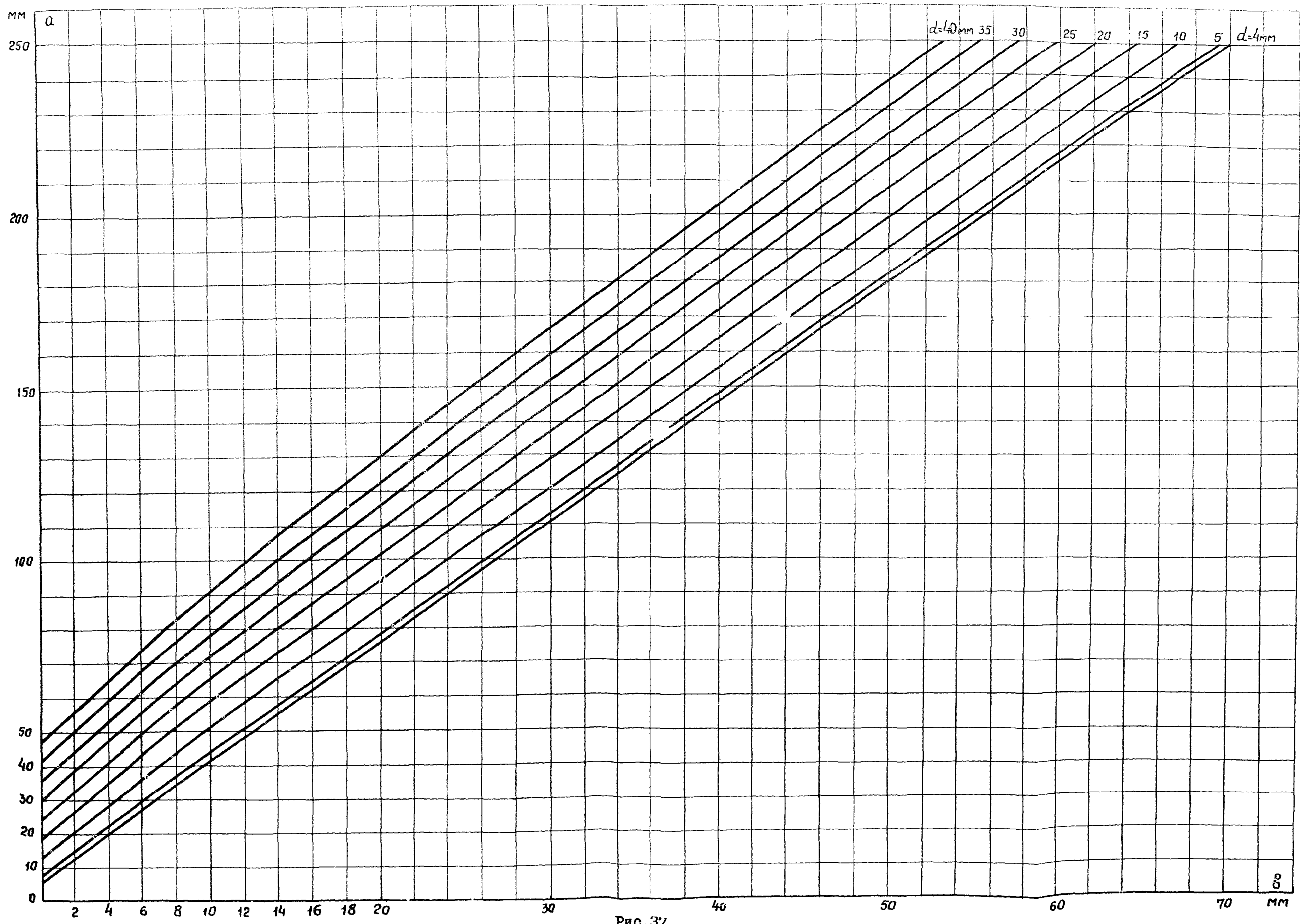


Рис. 37

$$\gamma = 0,5 \text{ z/cm}^3$$

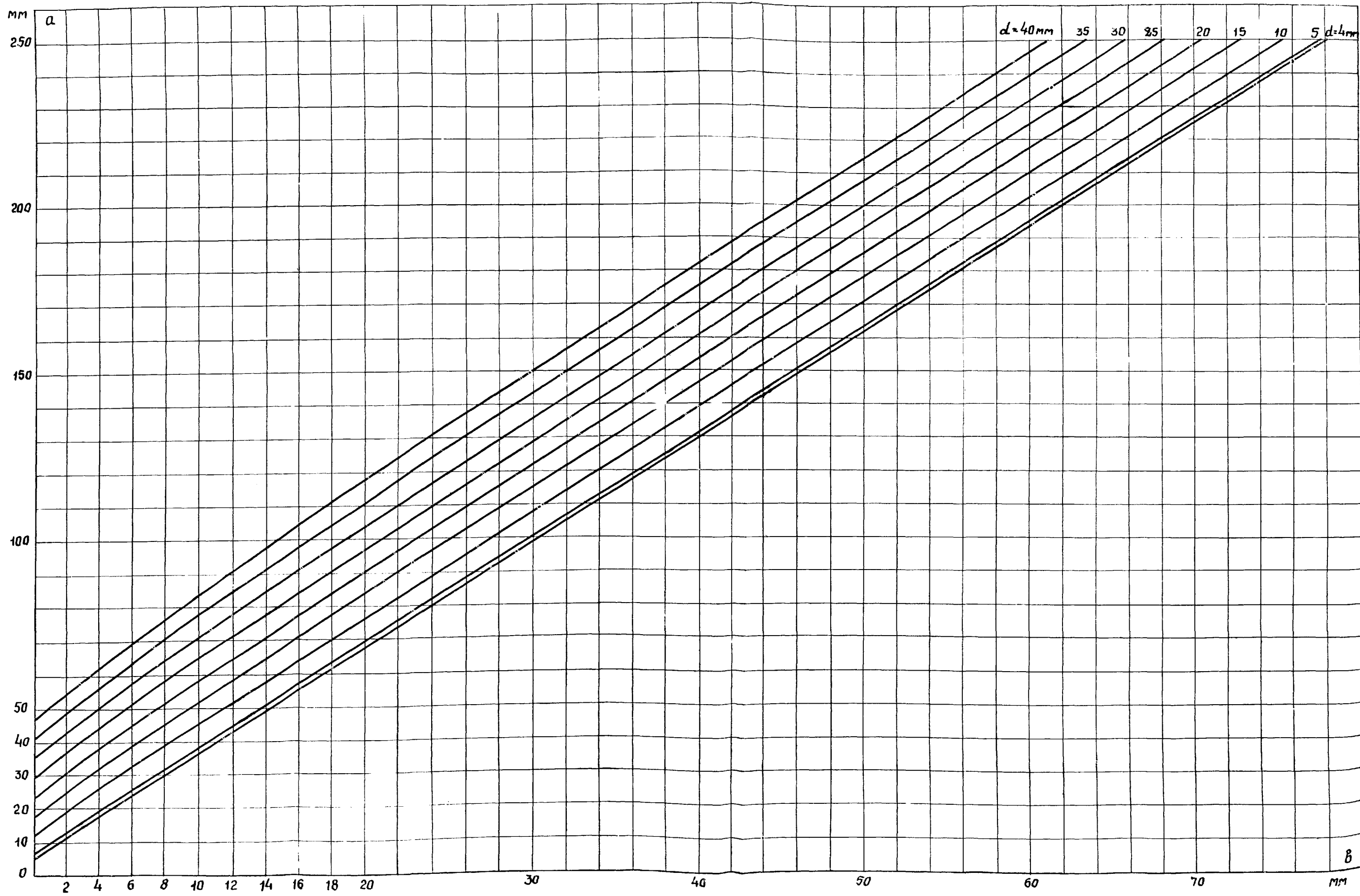


Рис.38

$\gamma = 0,6 \text{ z/cm}^3$

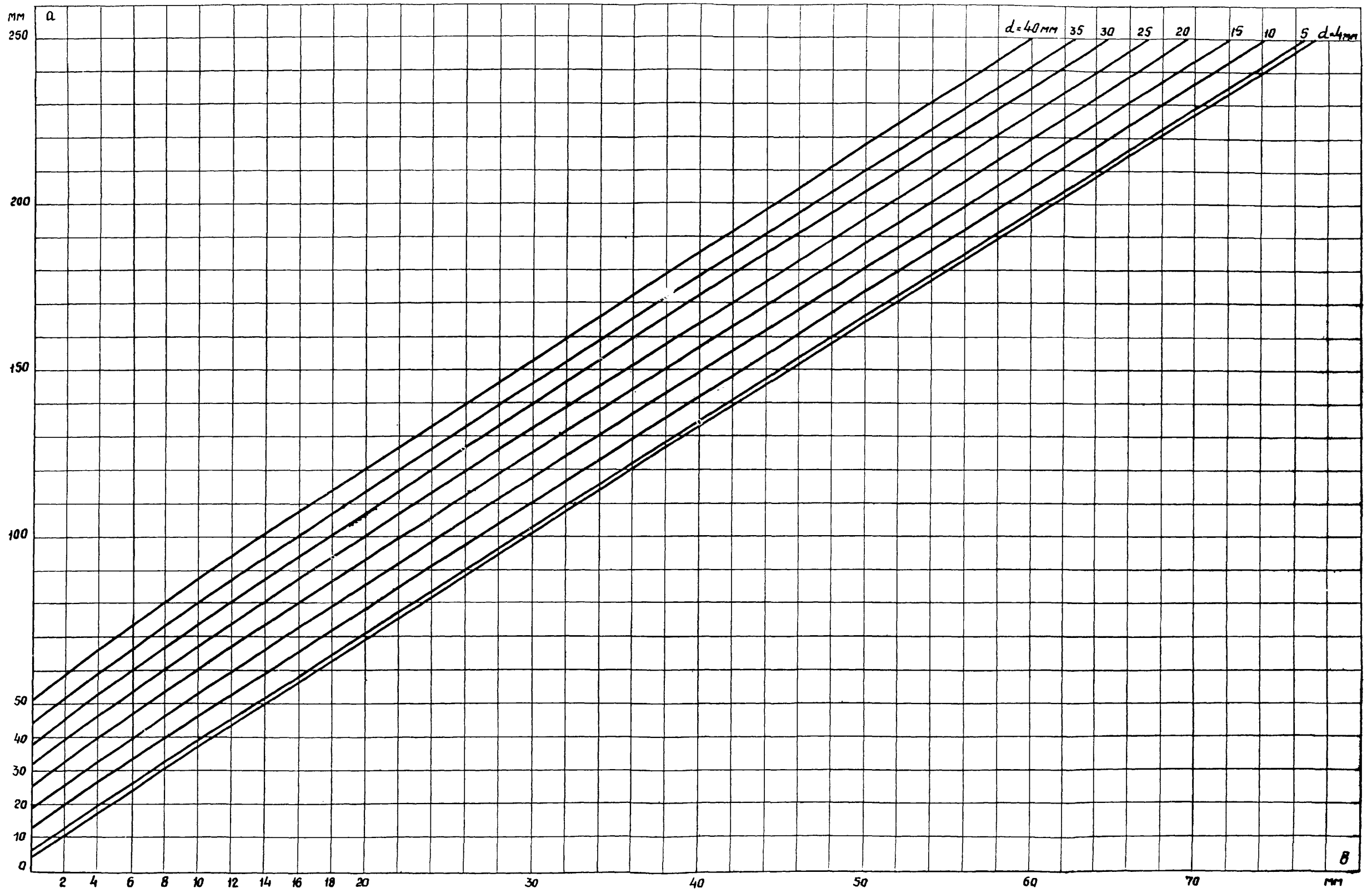


Рис. 39

8

$$\gamma = 0,75 \text{ г/см}^3$$

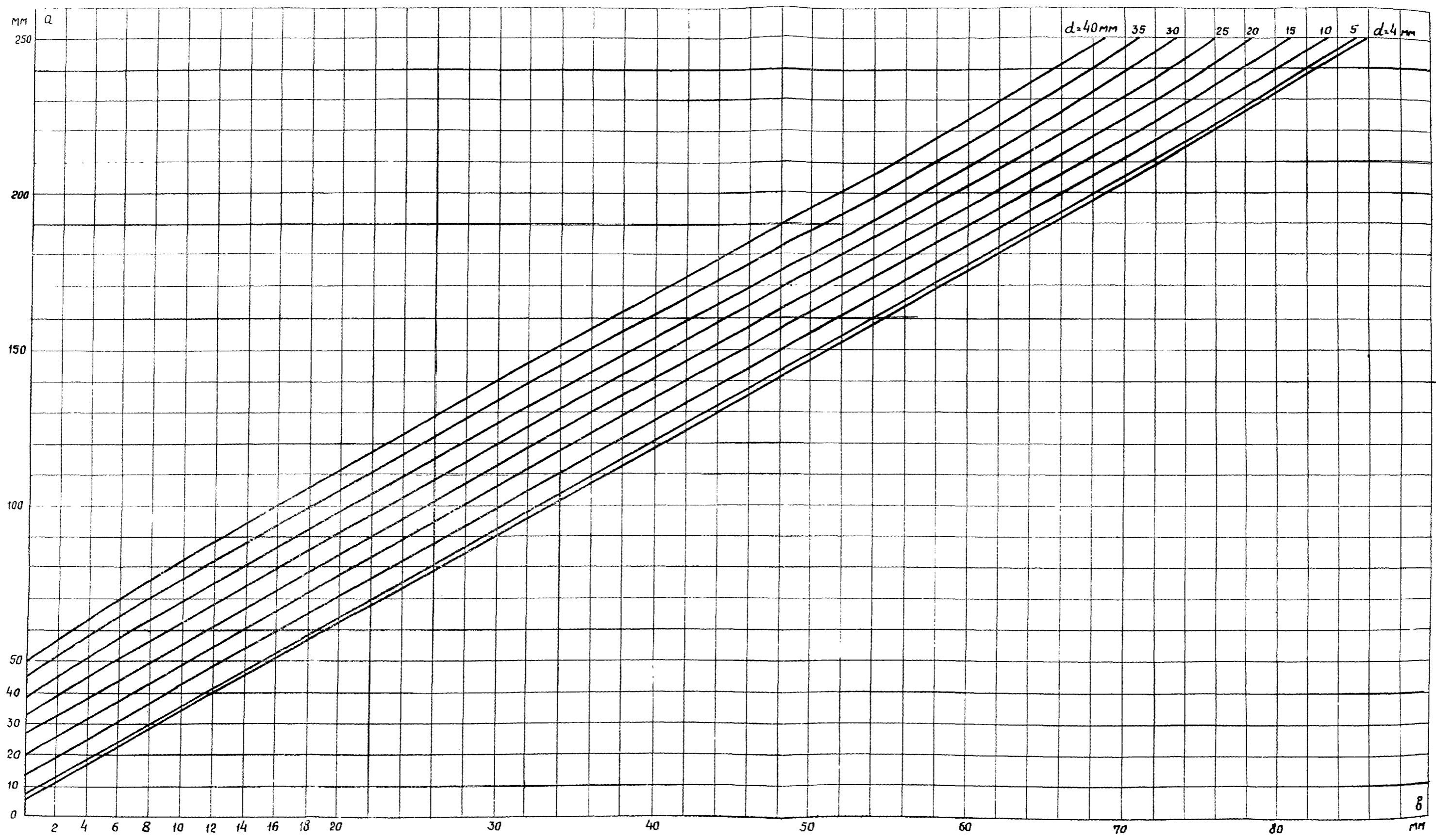


Рис. 40

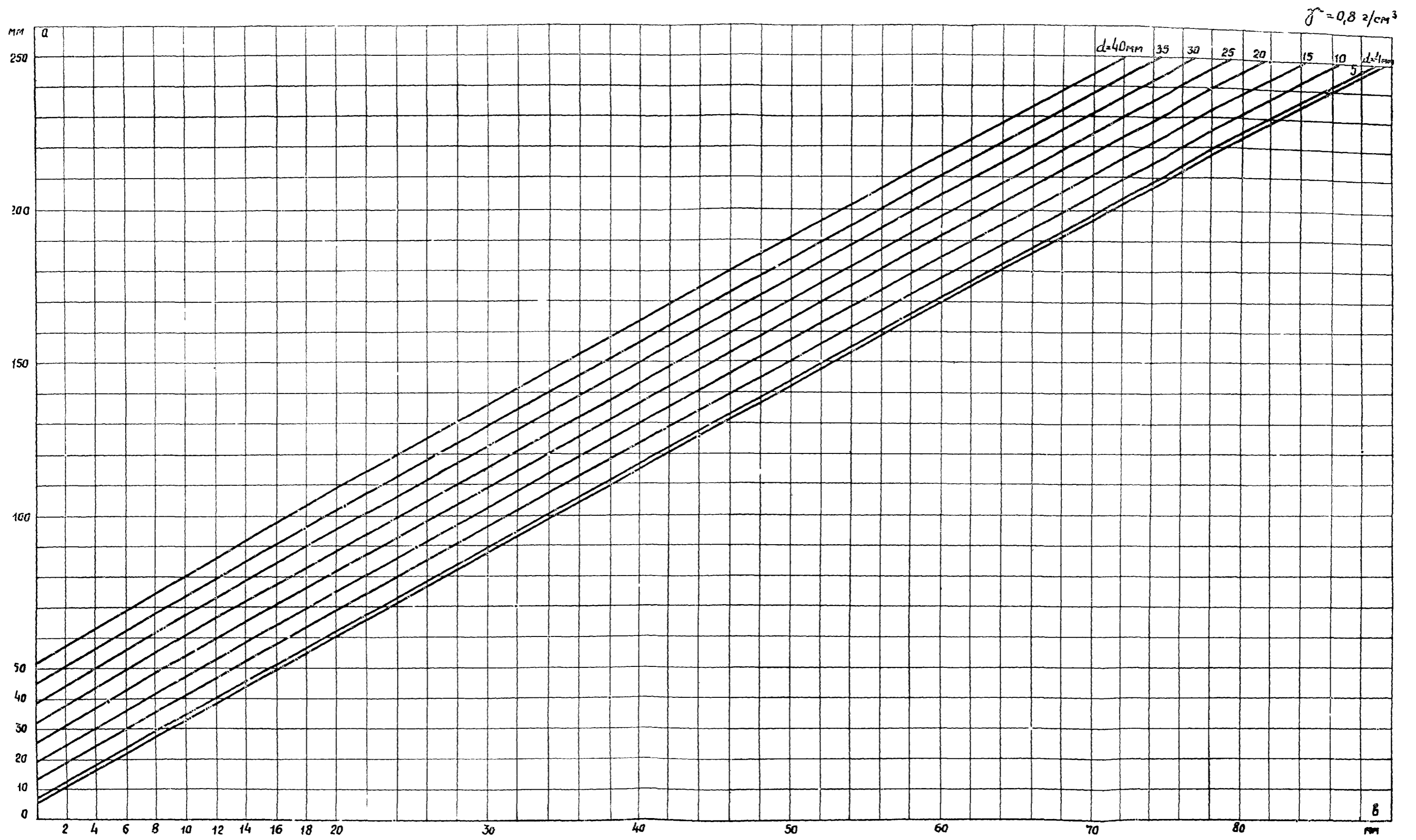


Рис.4І

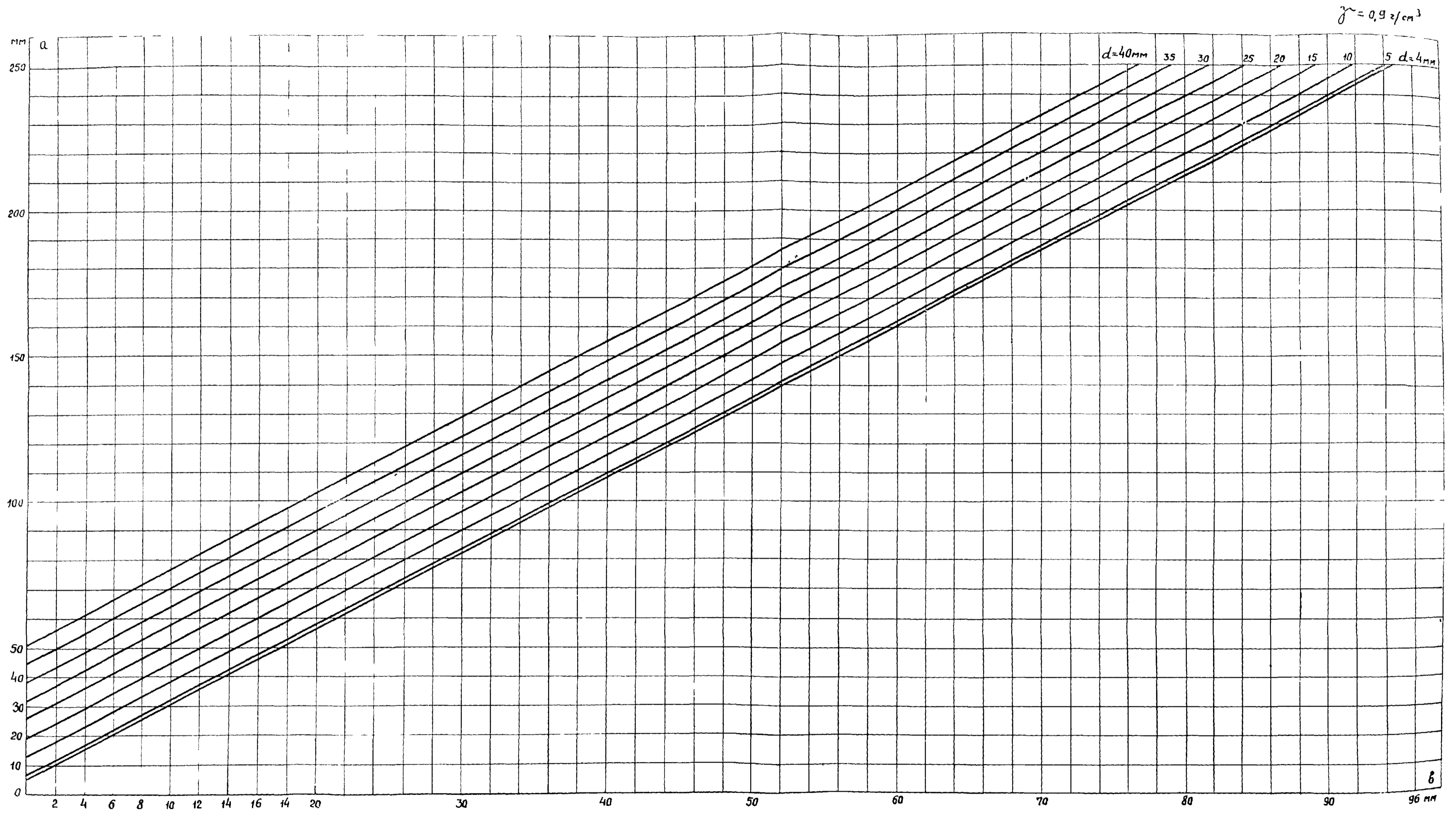


Рис.42

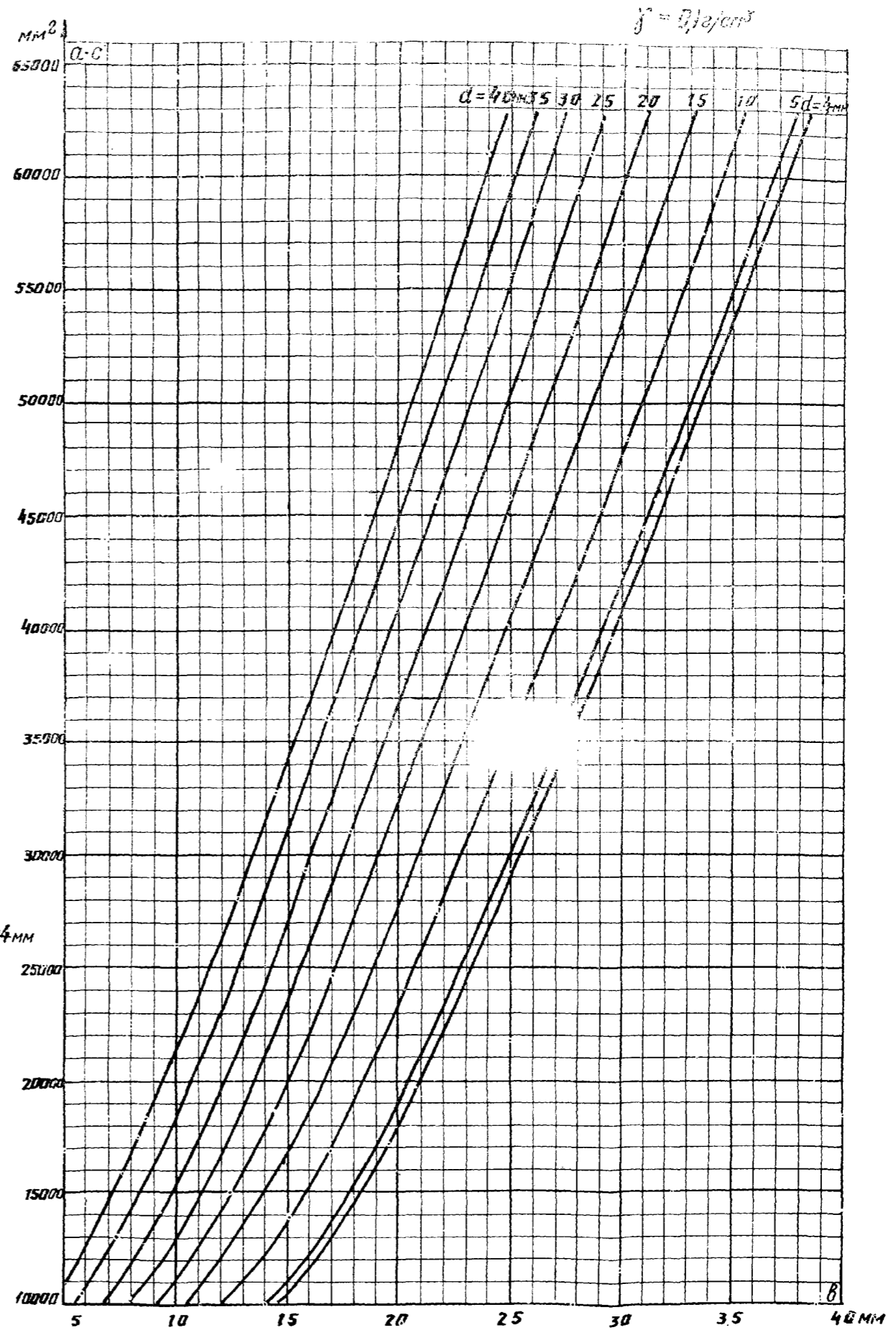
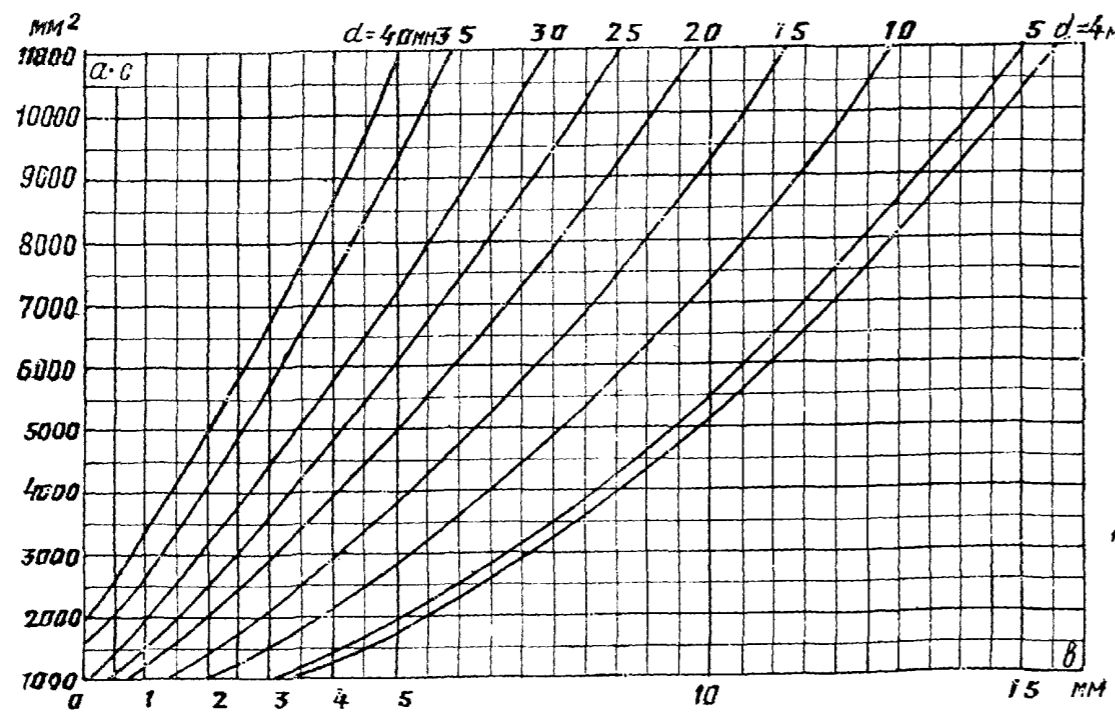
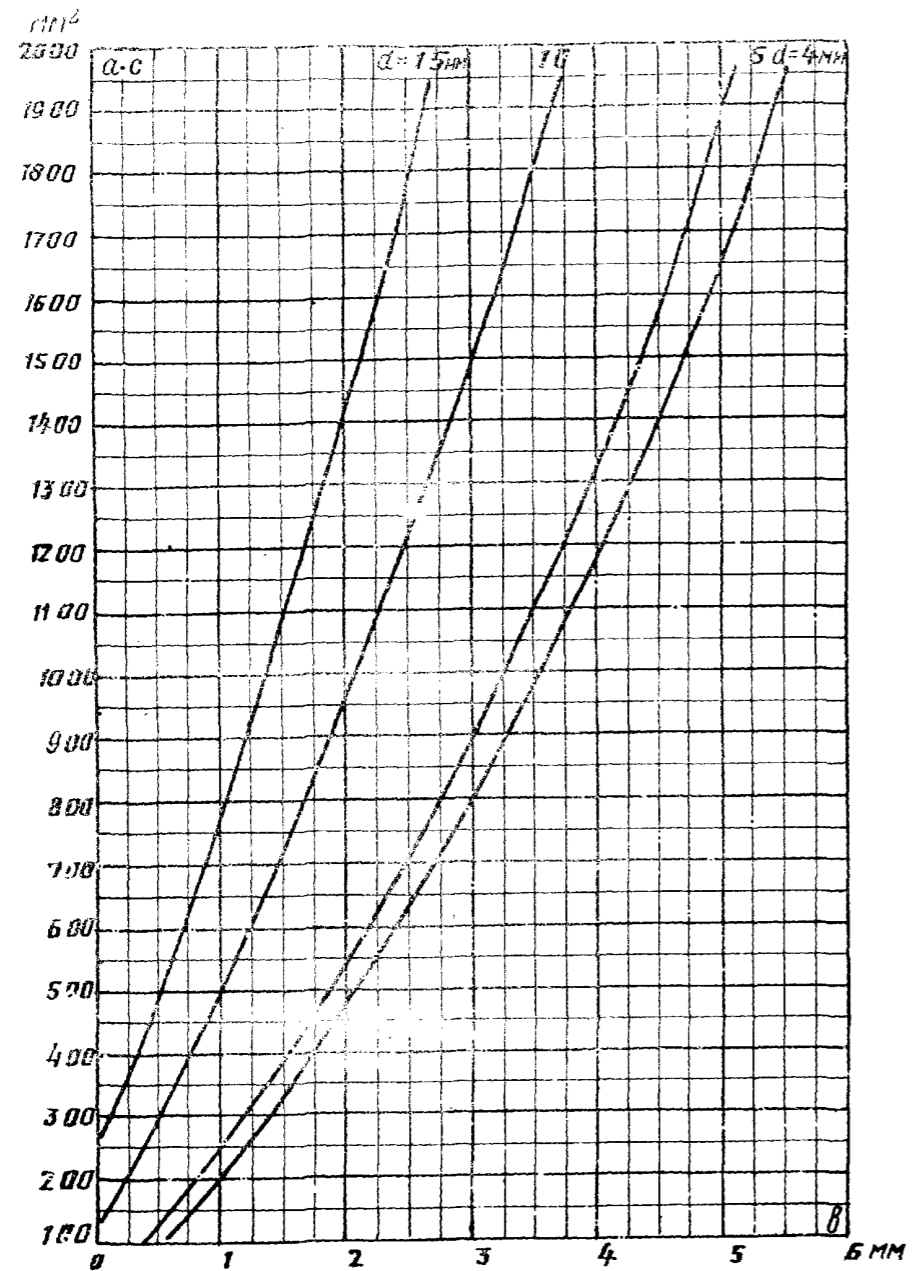


Рис. 43

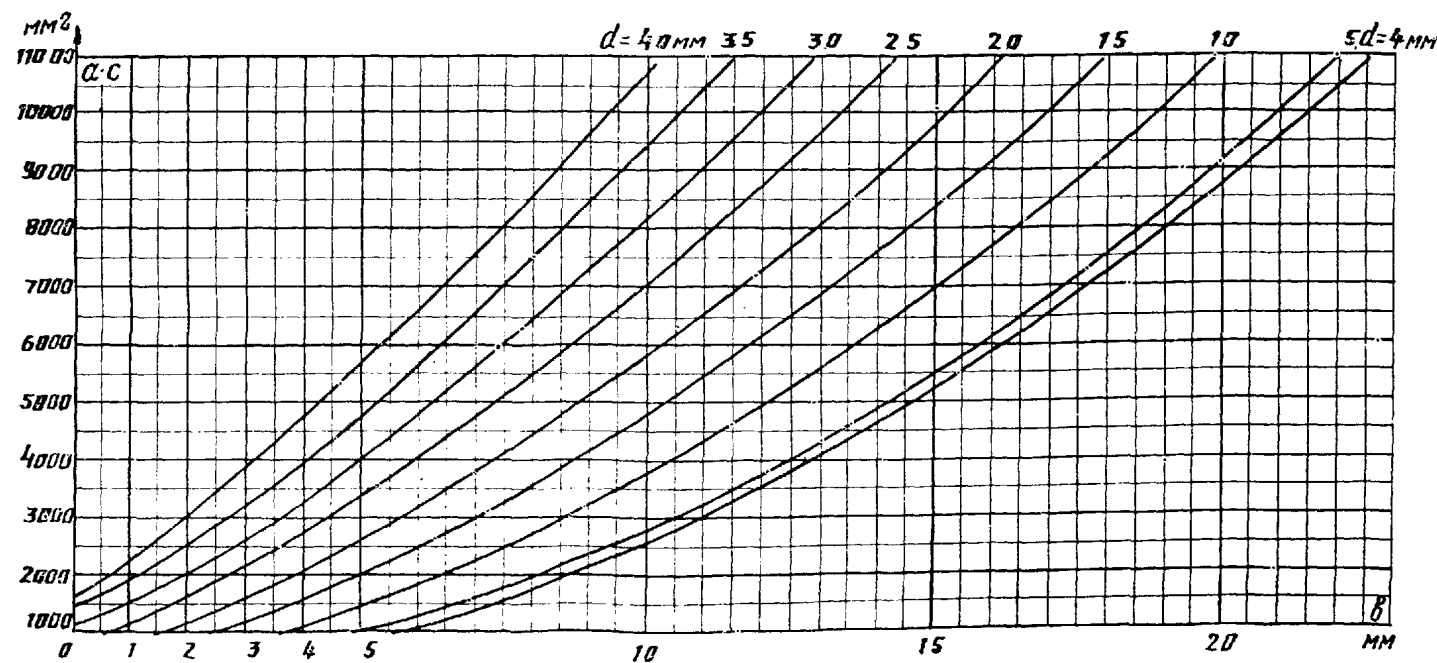
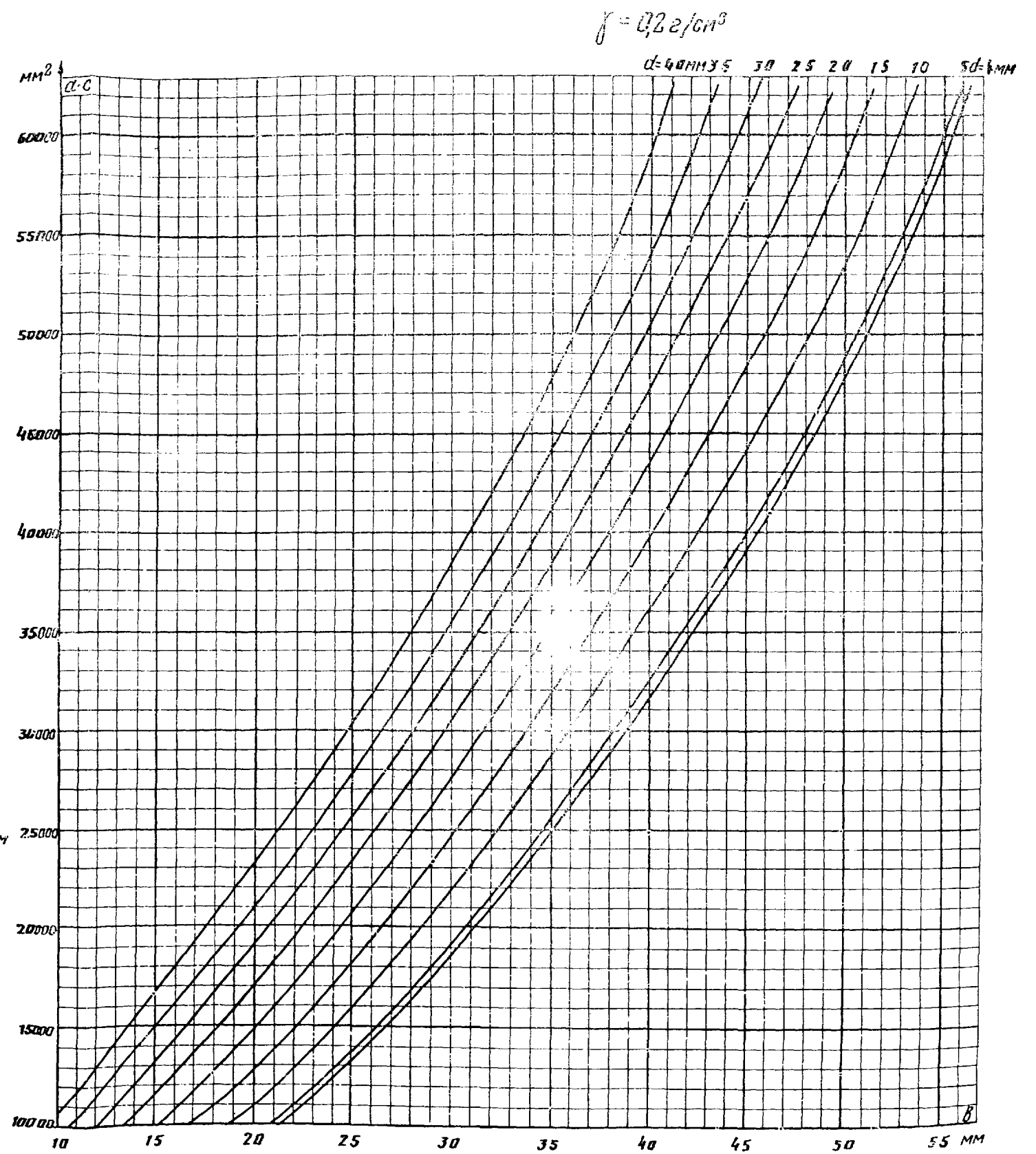
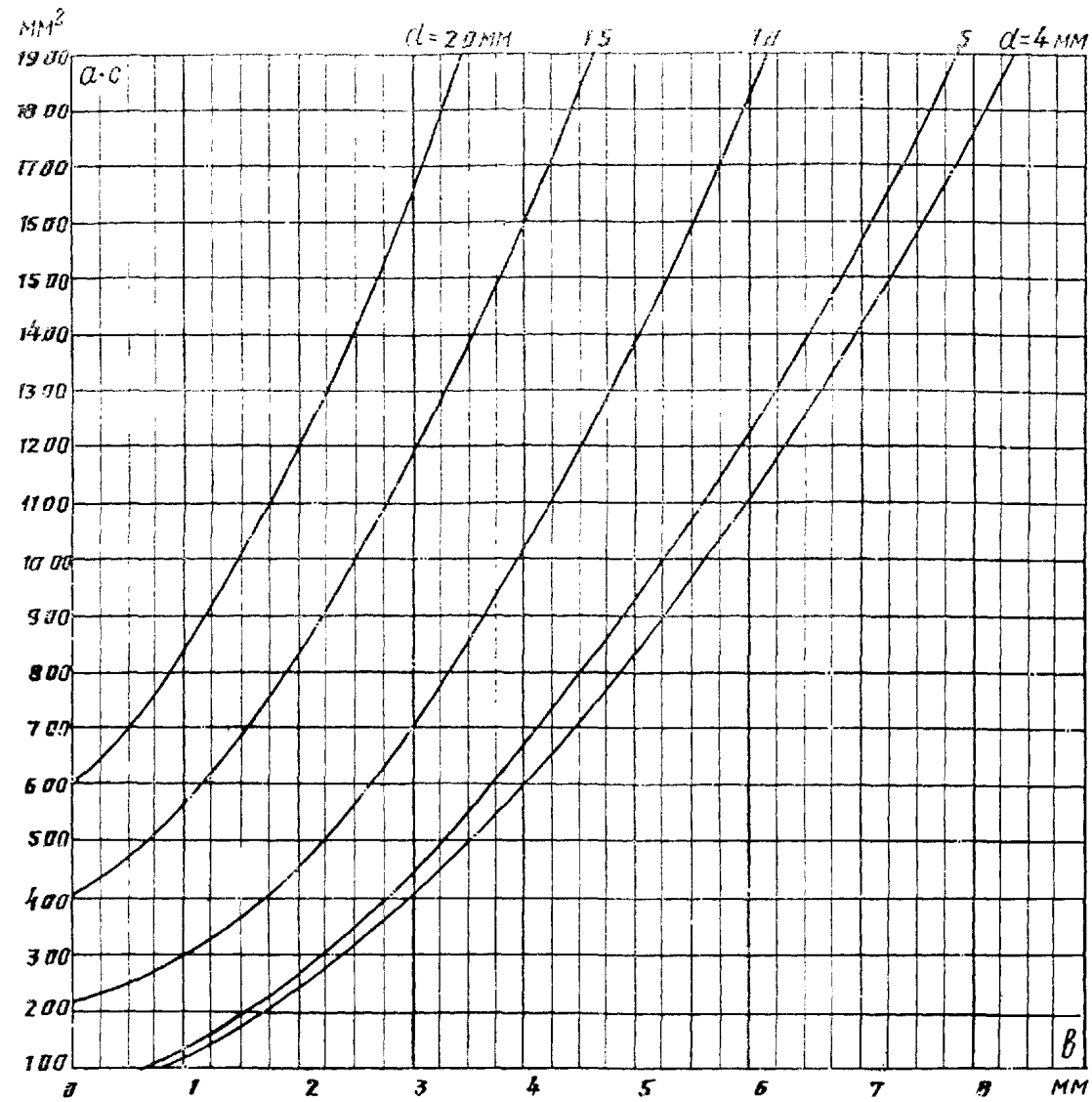


Рис. 44

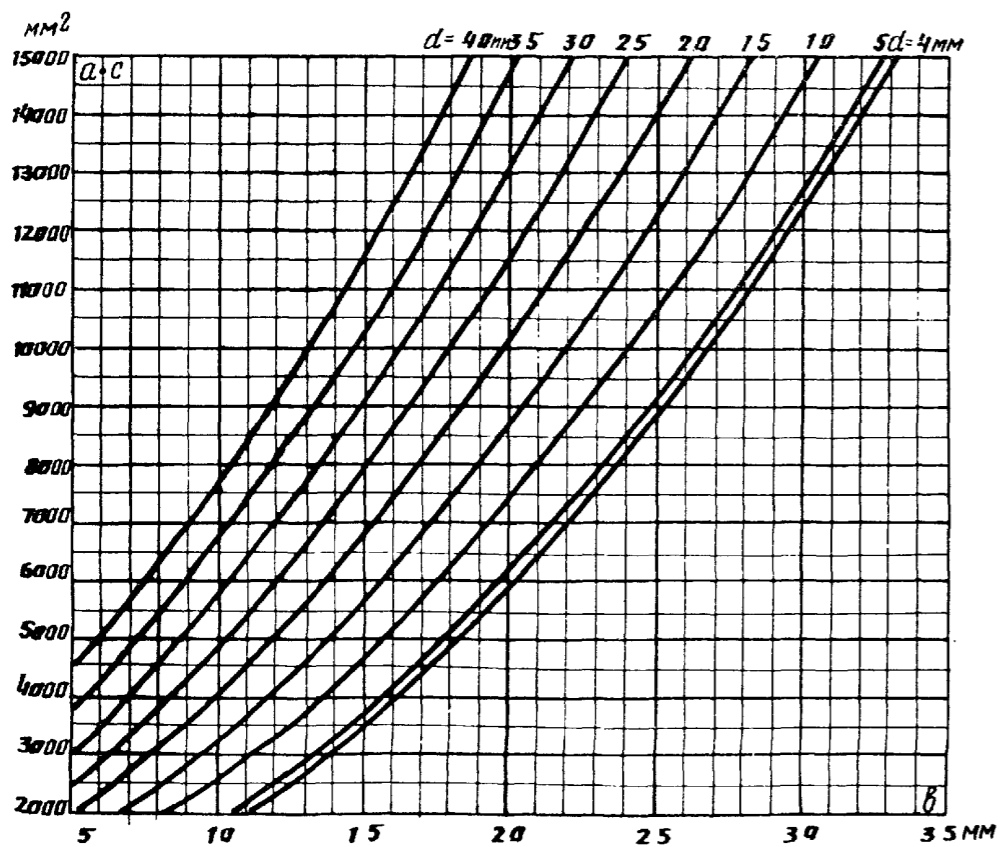
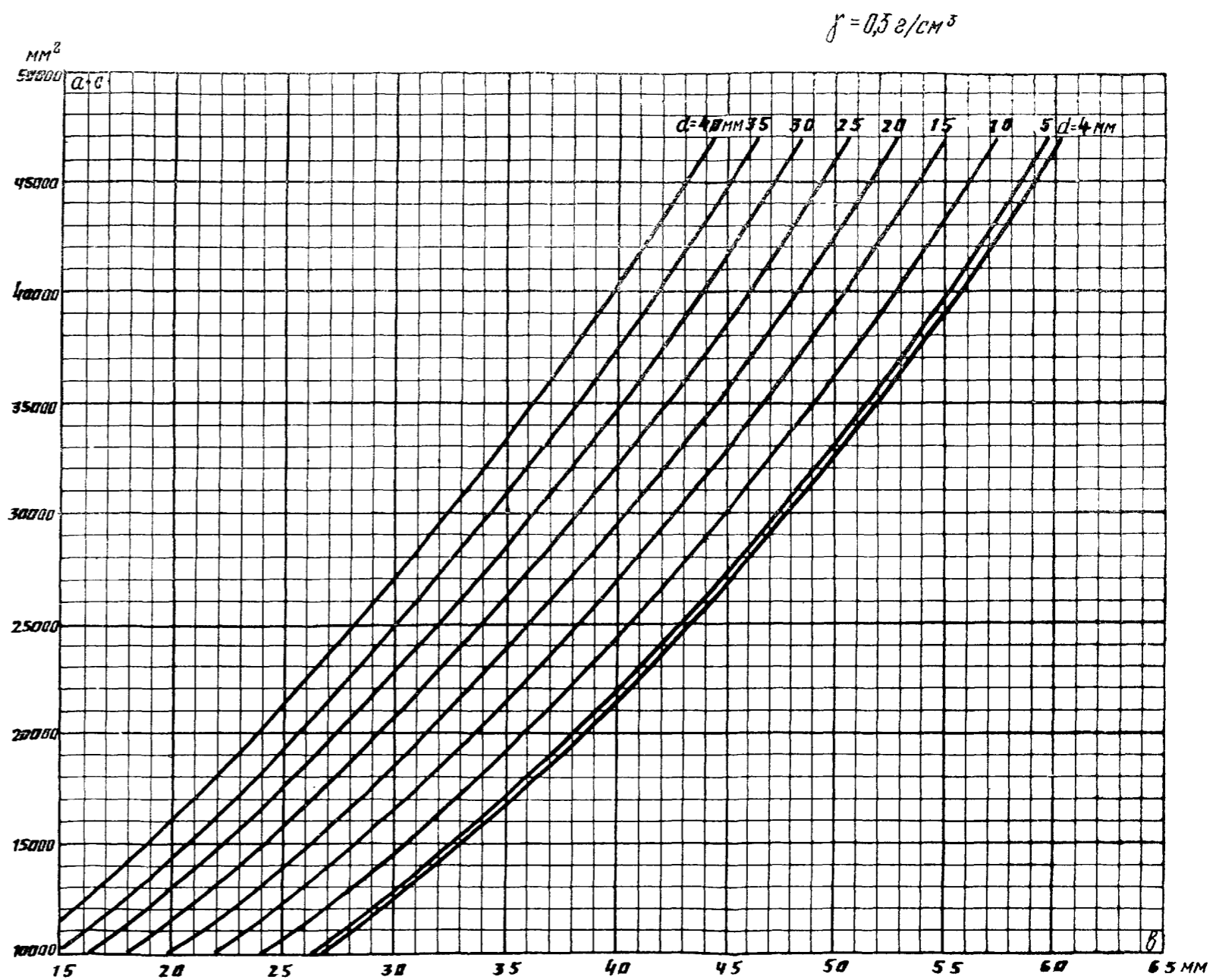
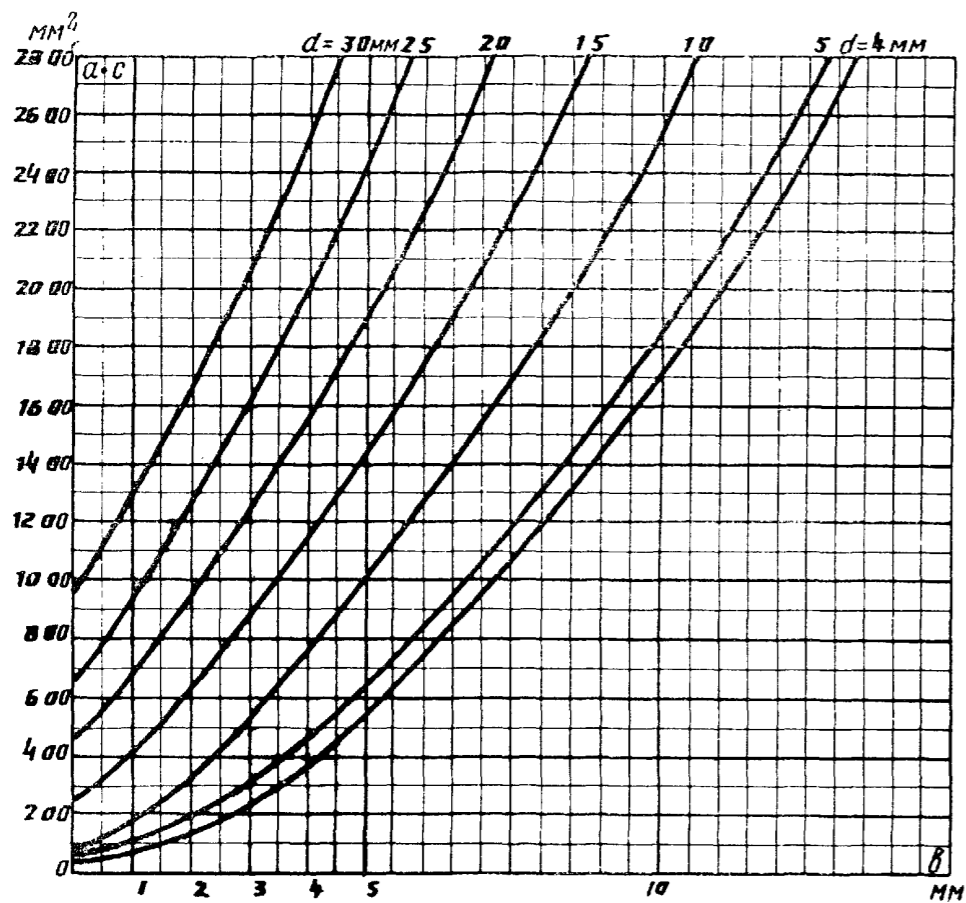


Рис. 45

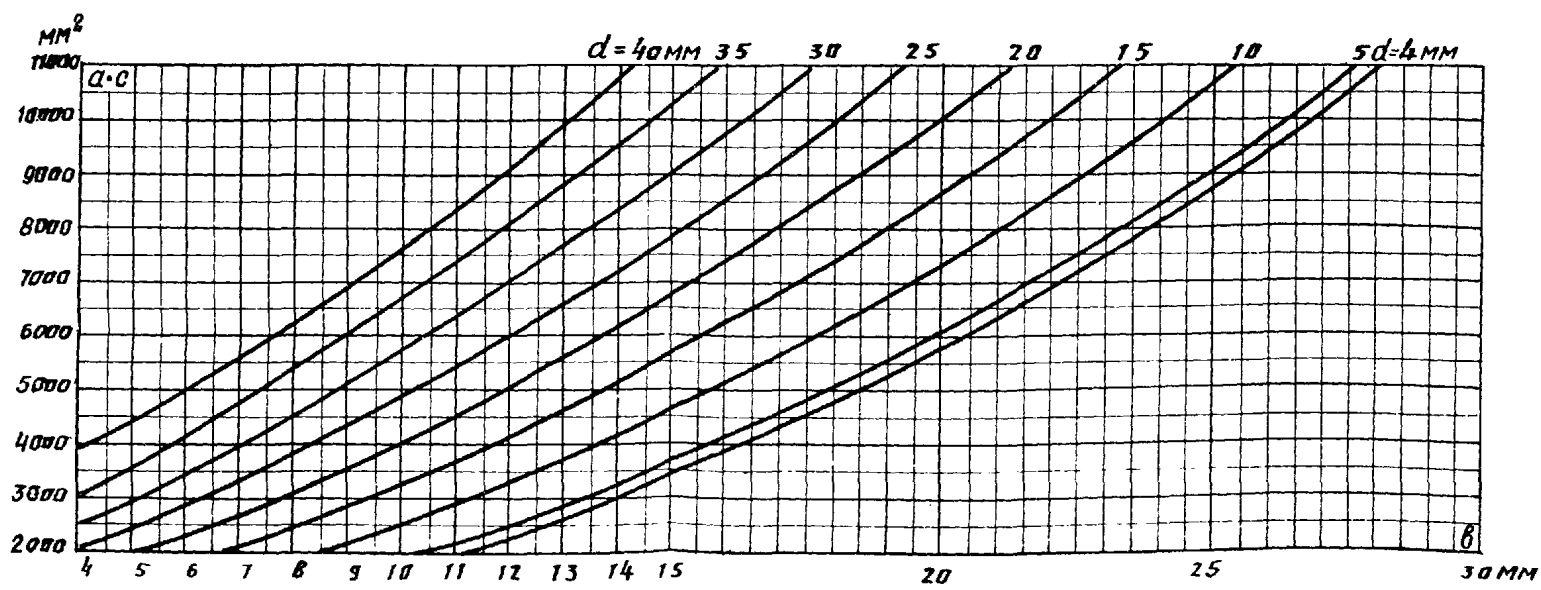
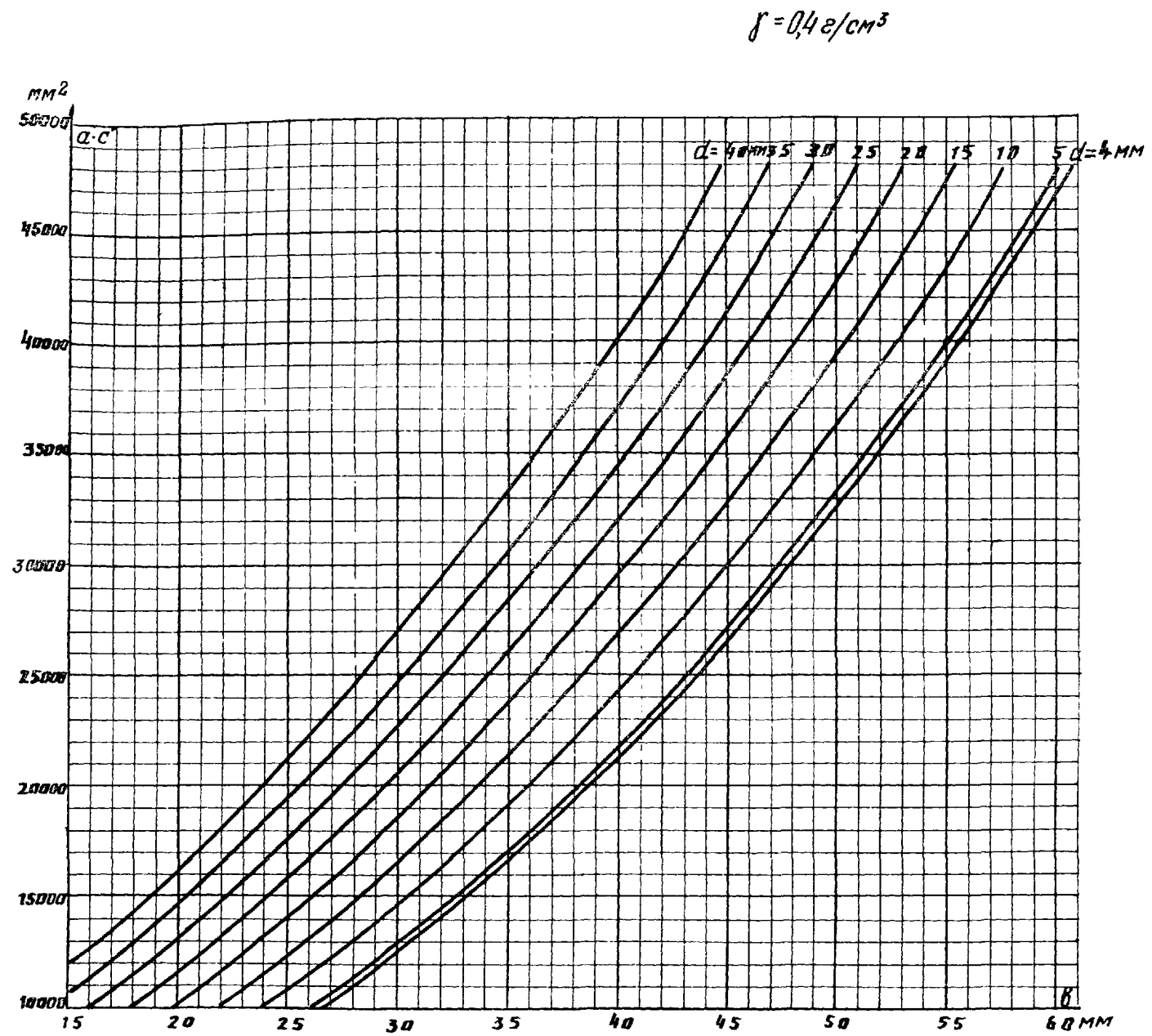
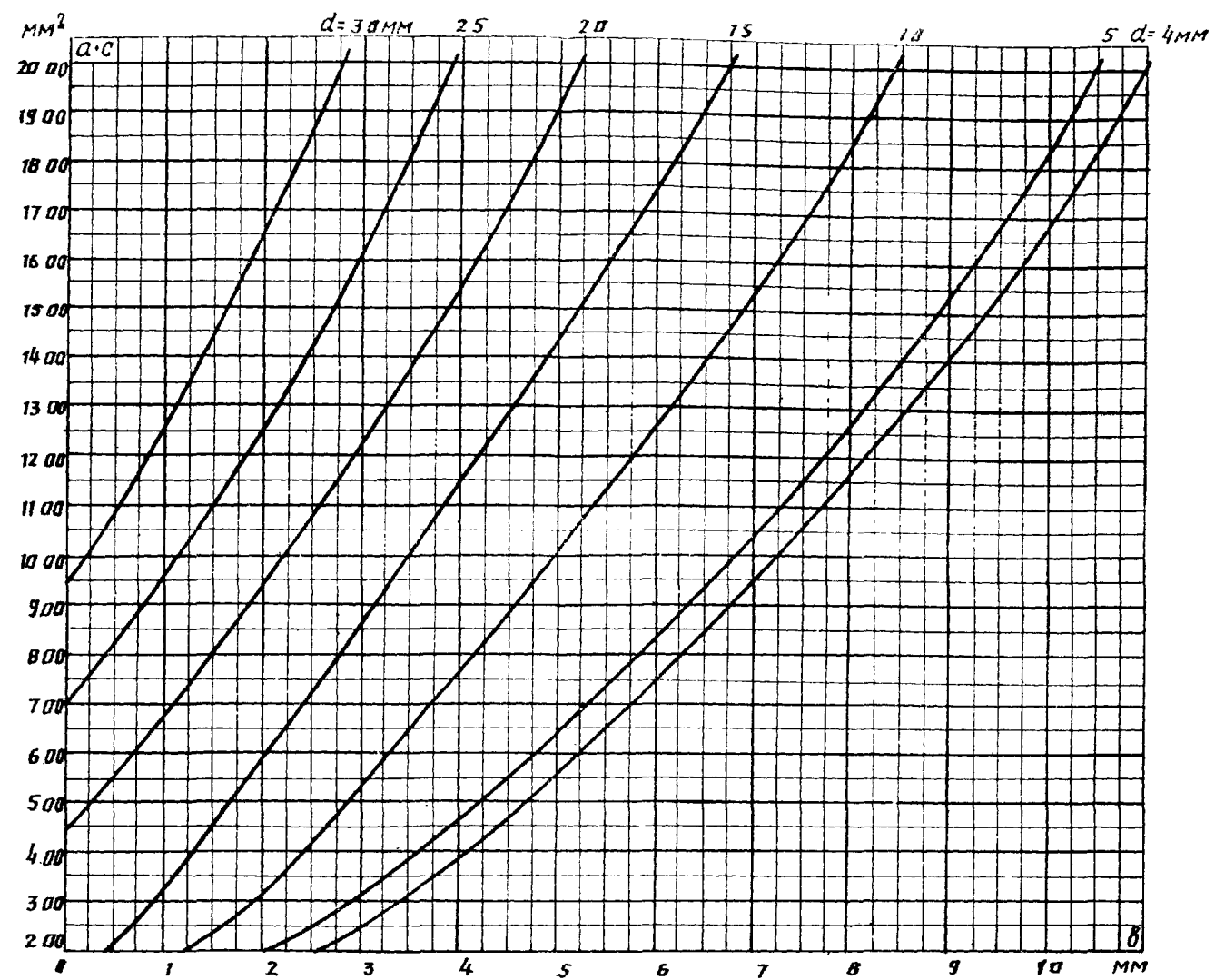


Рис. 46

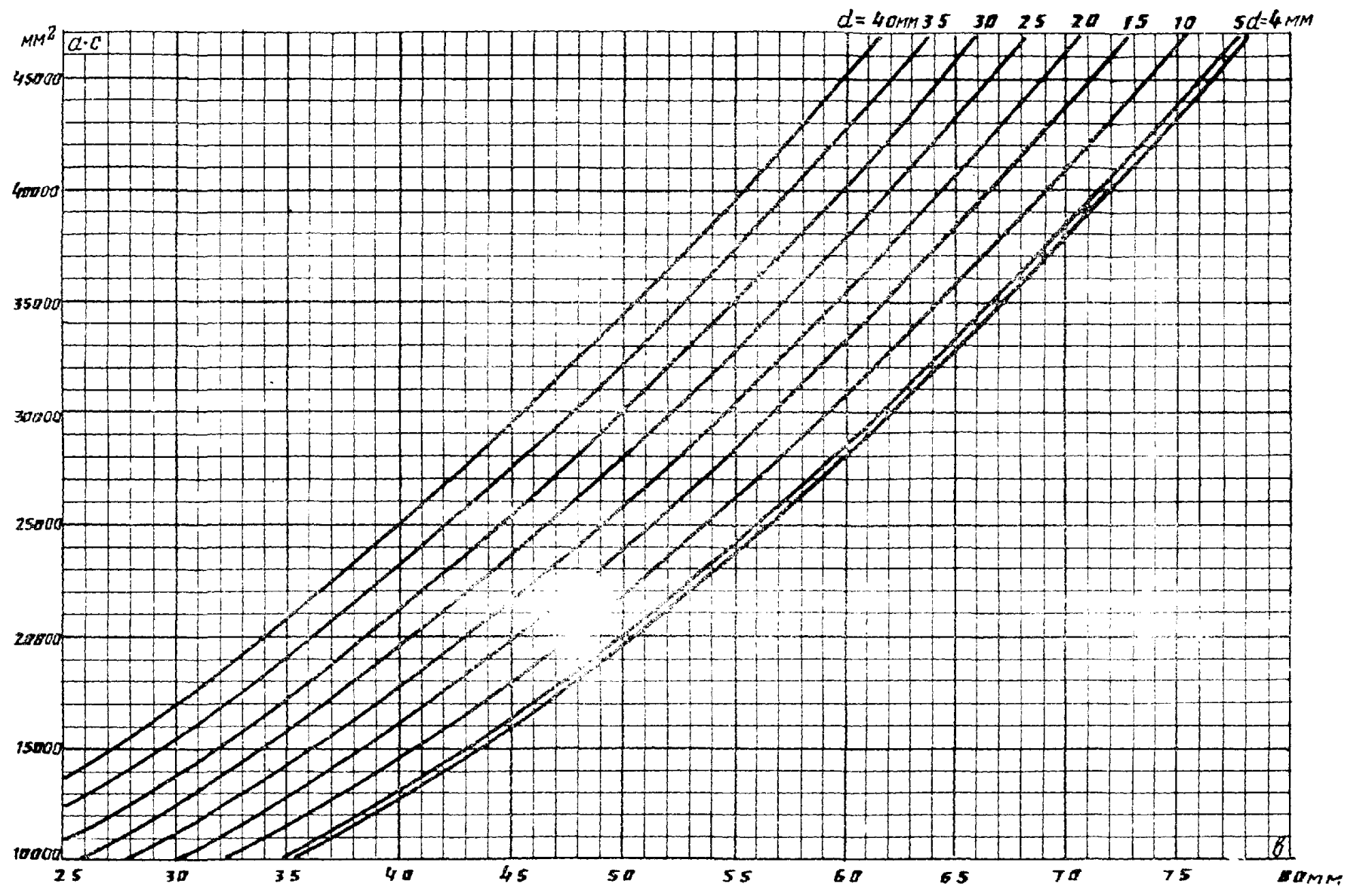
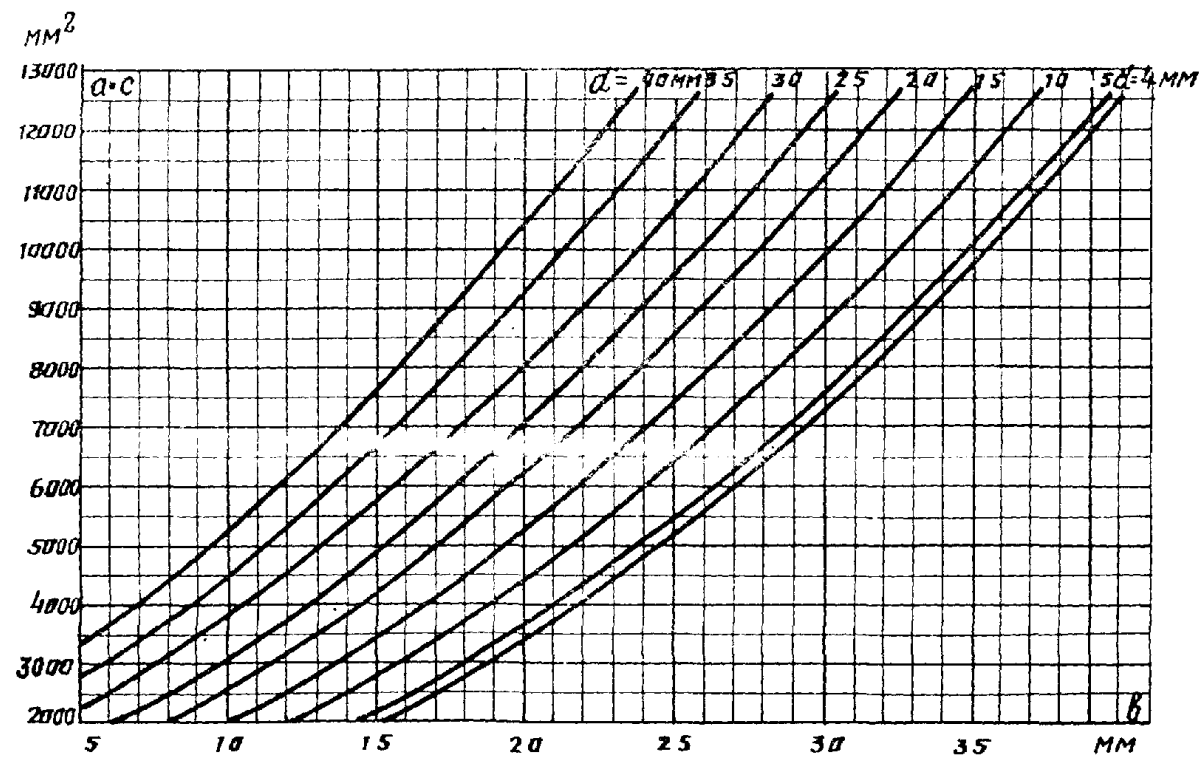


Рис.47

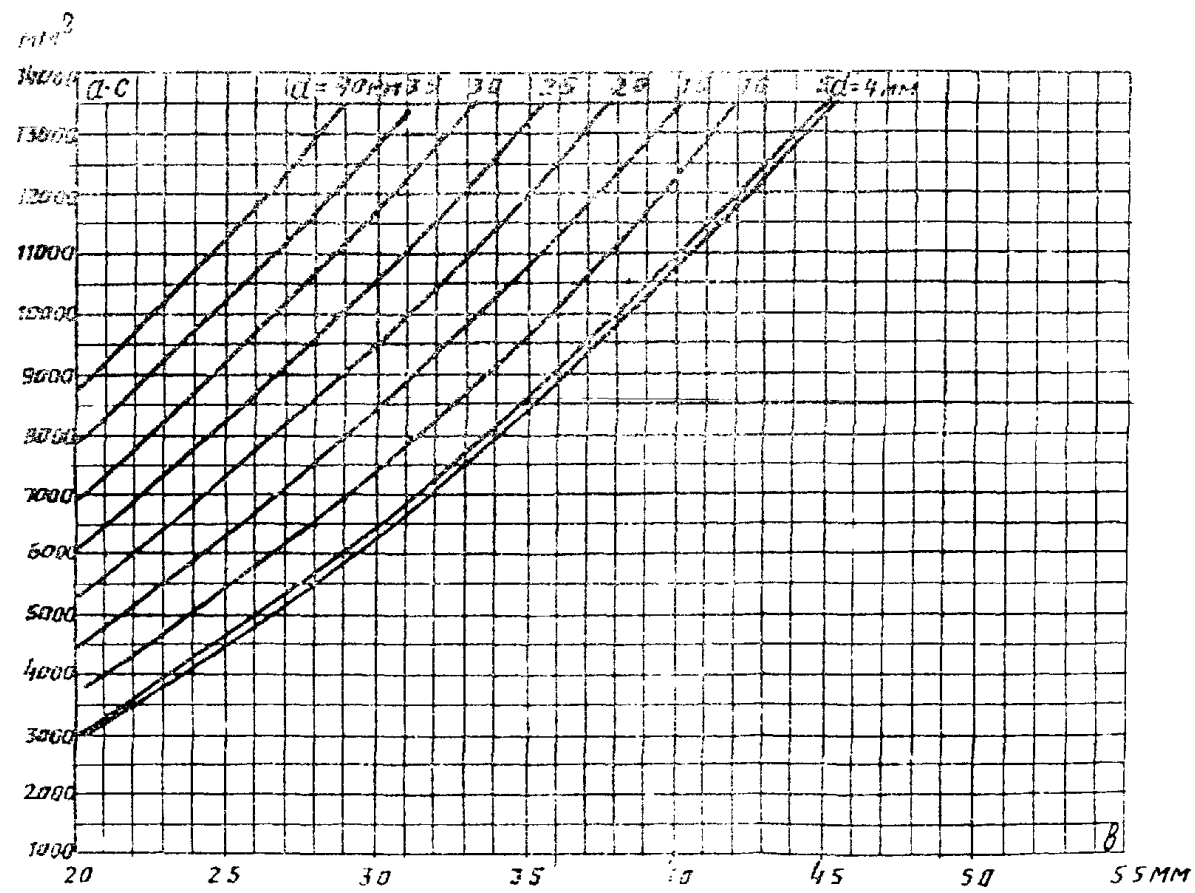
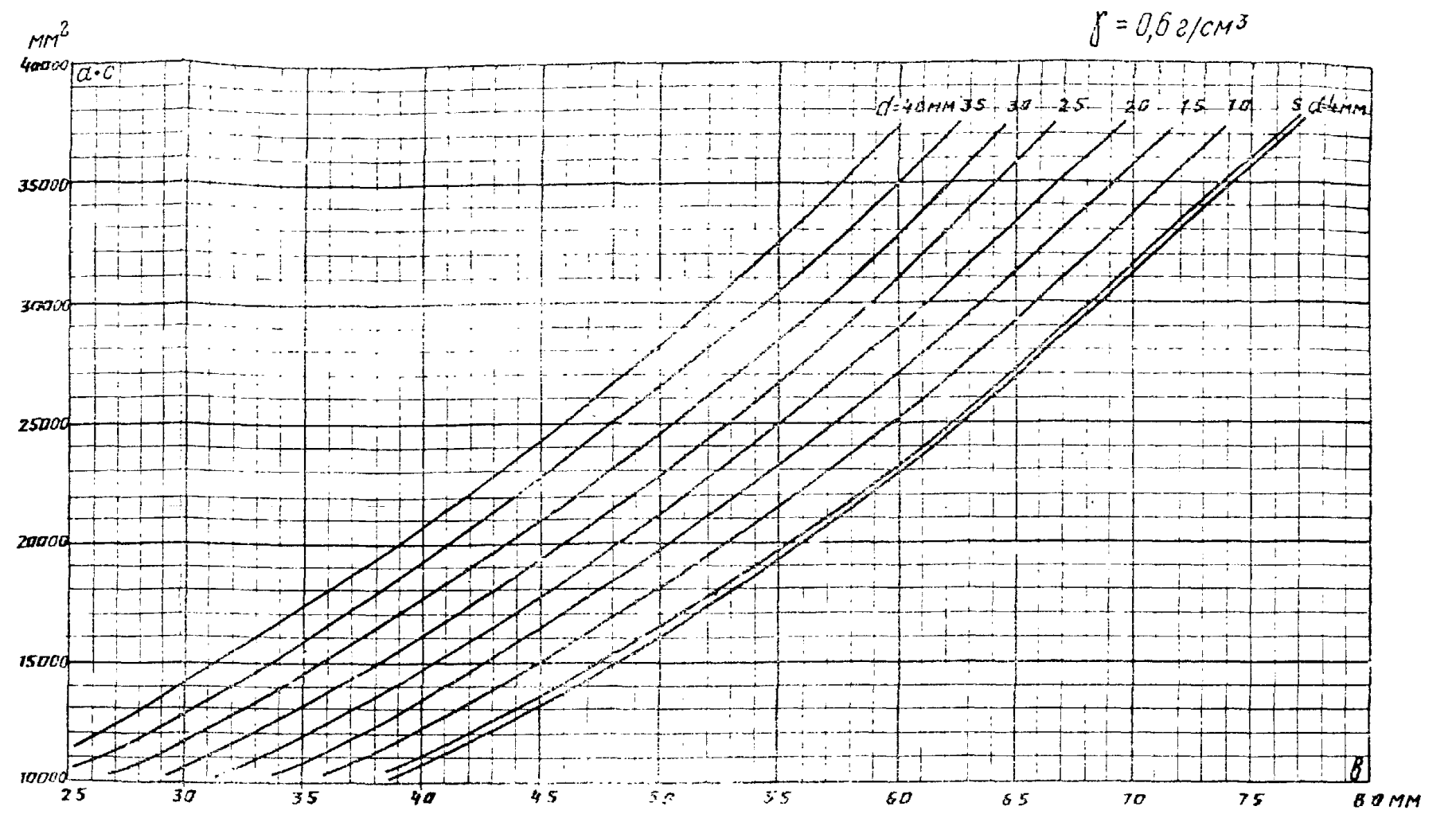
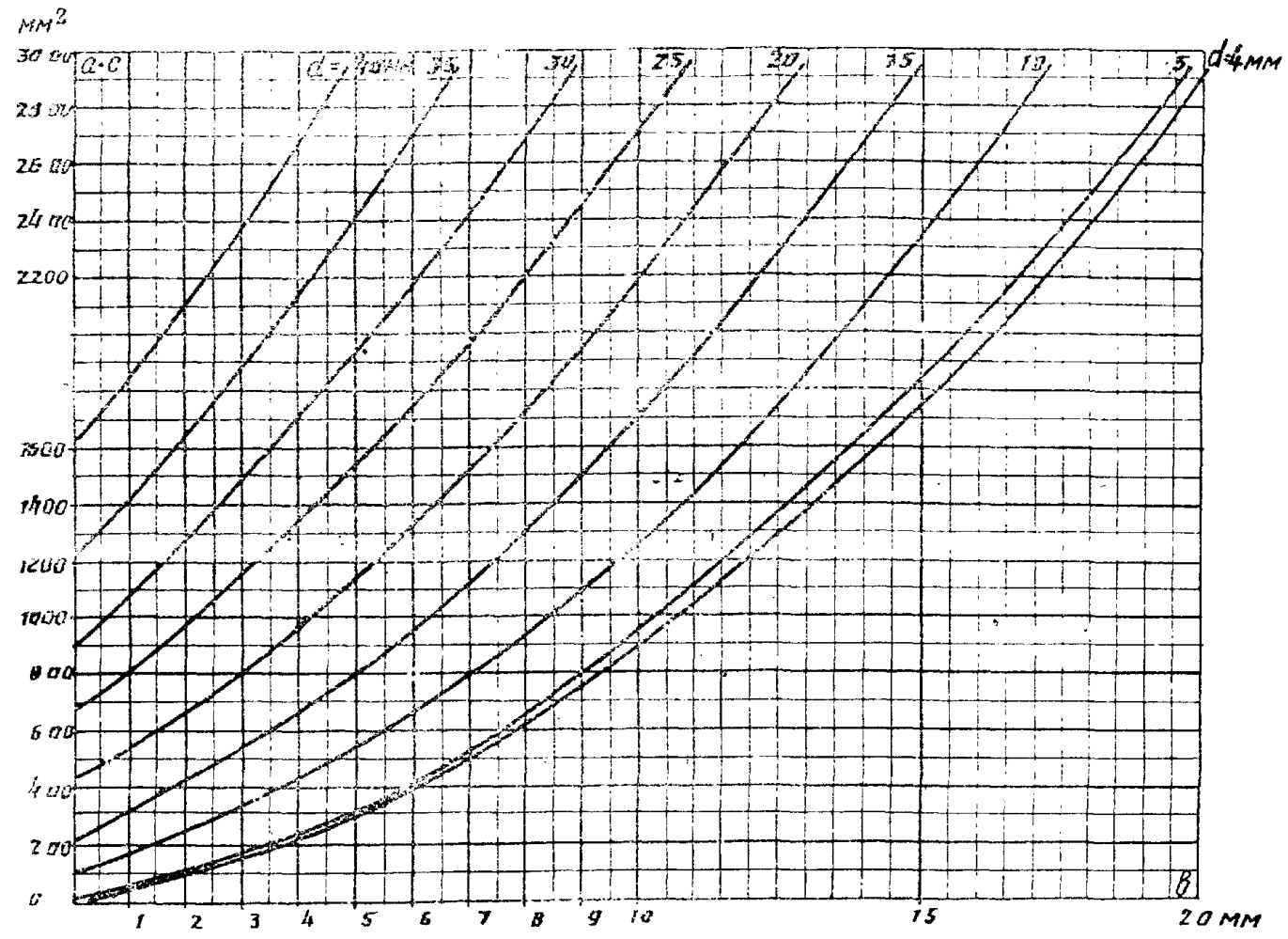


Рис. 48

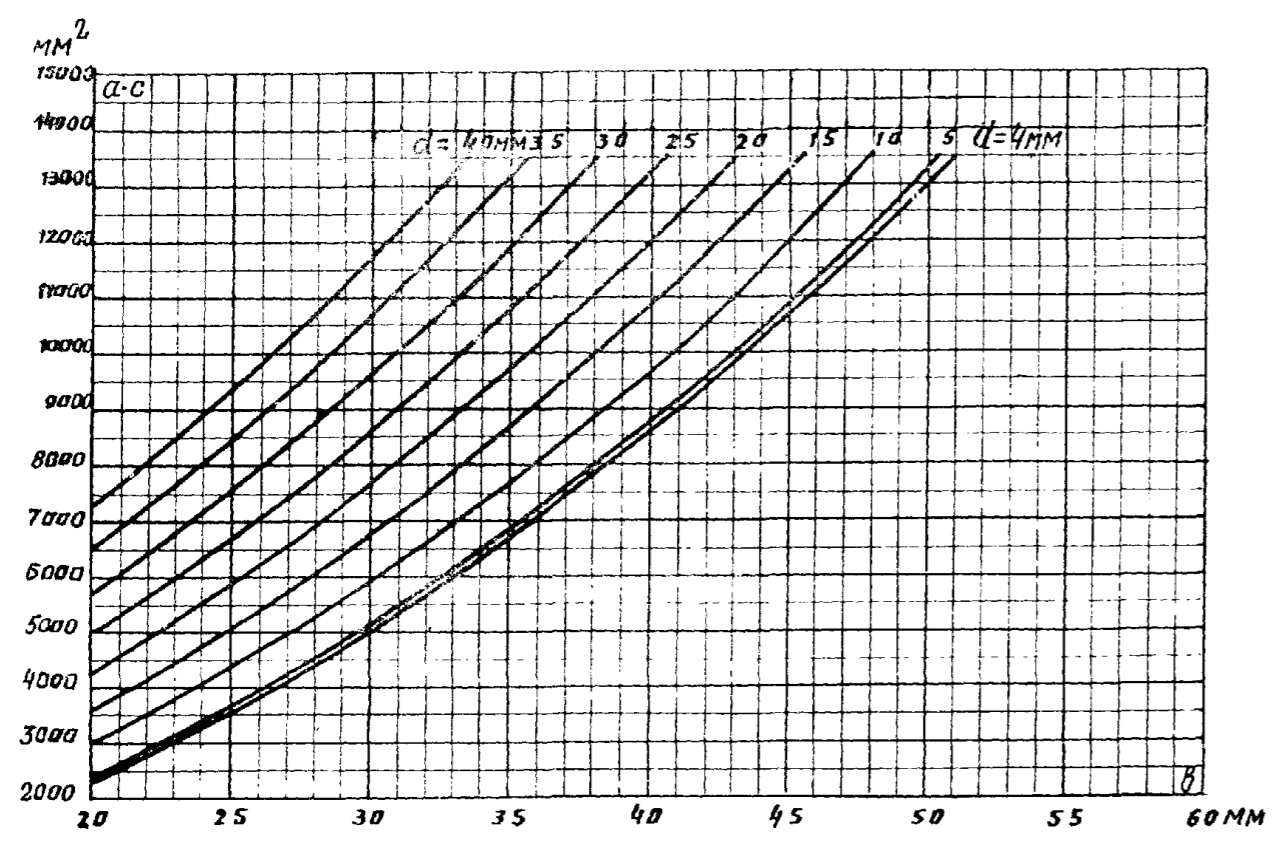
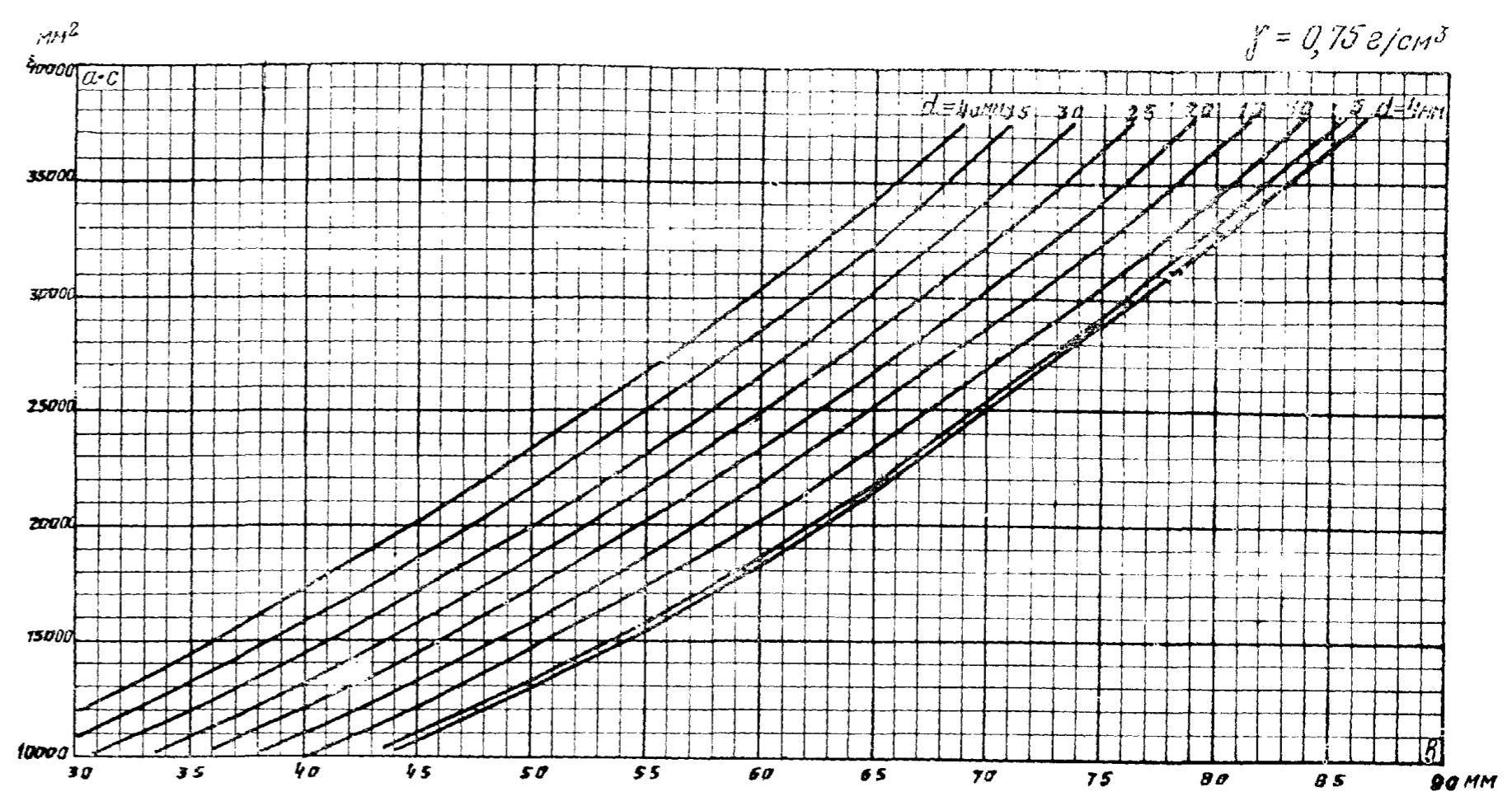
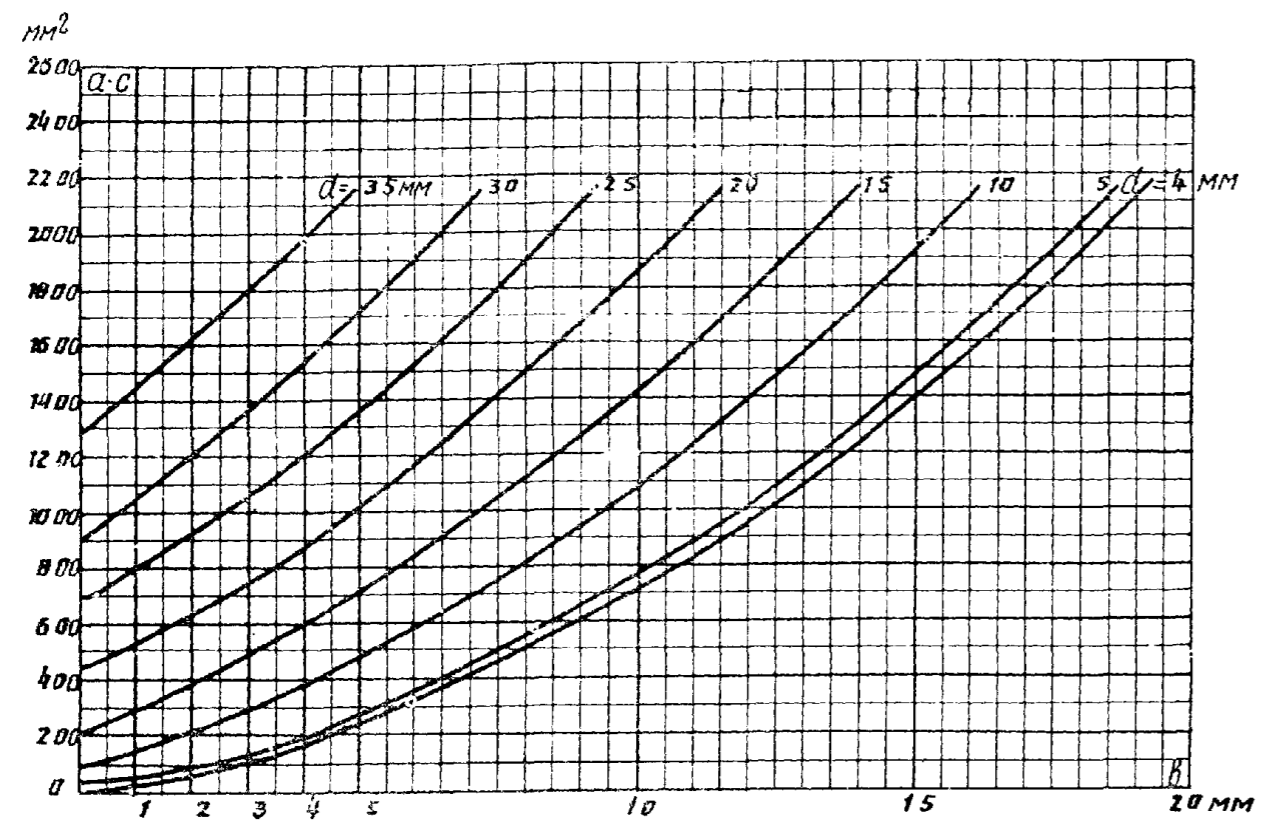


Рис. 49

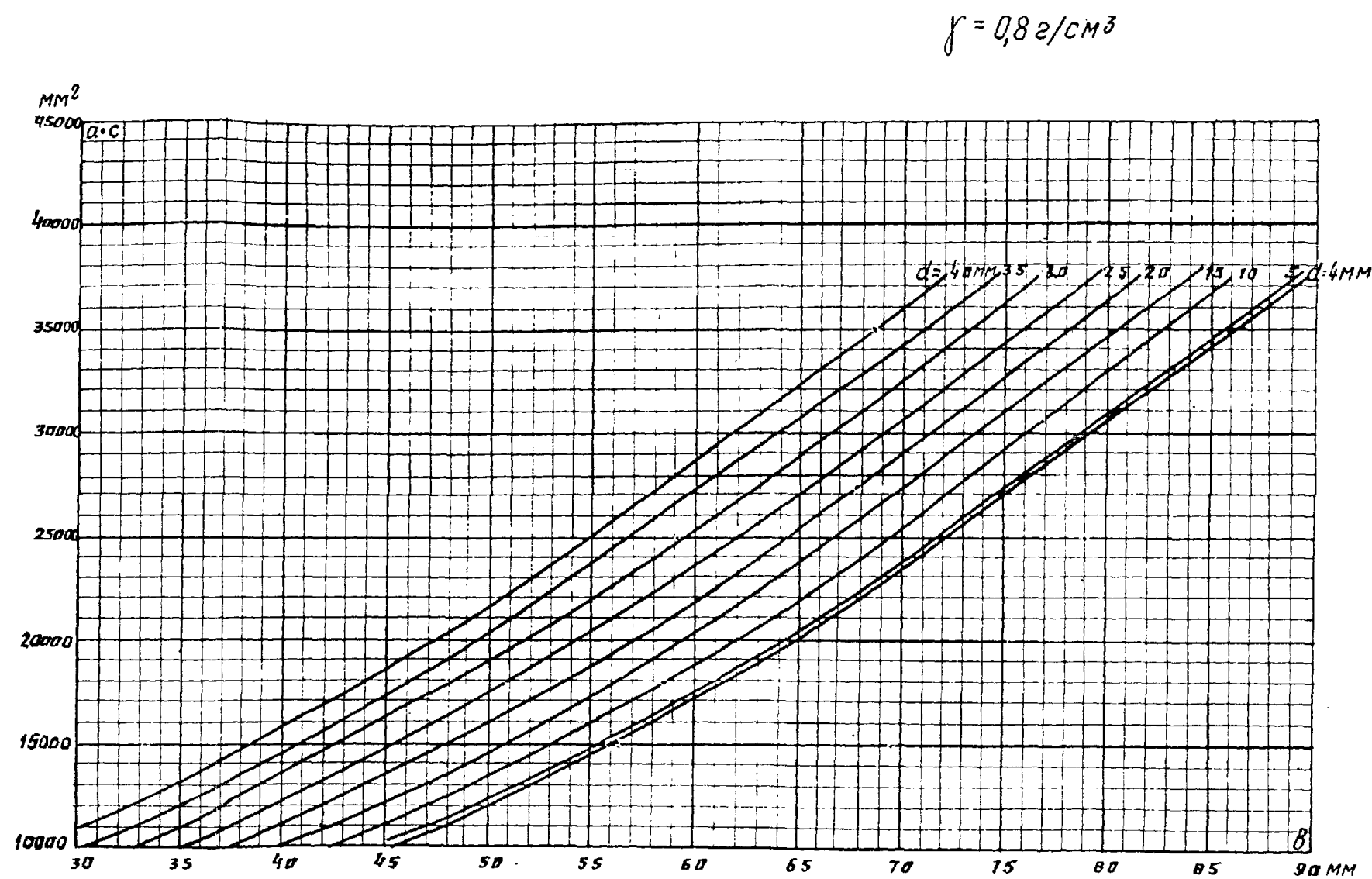
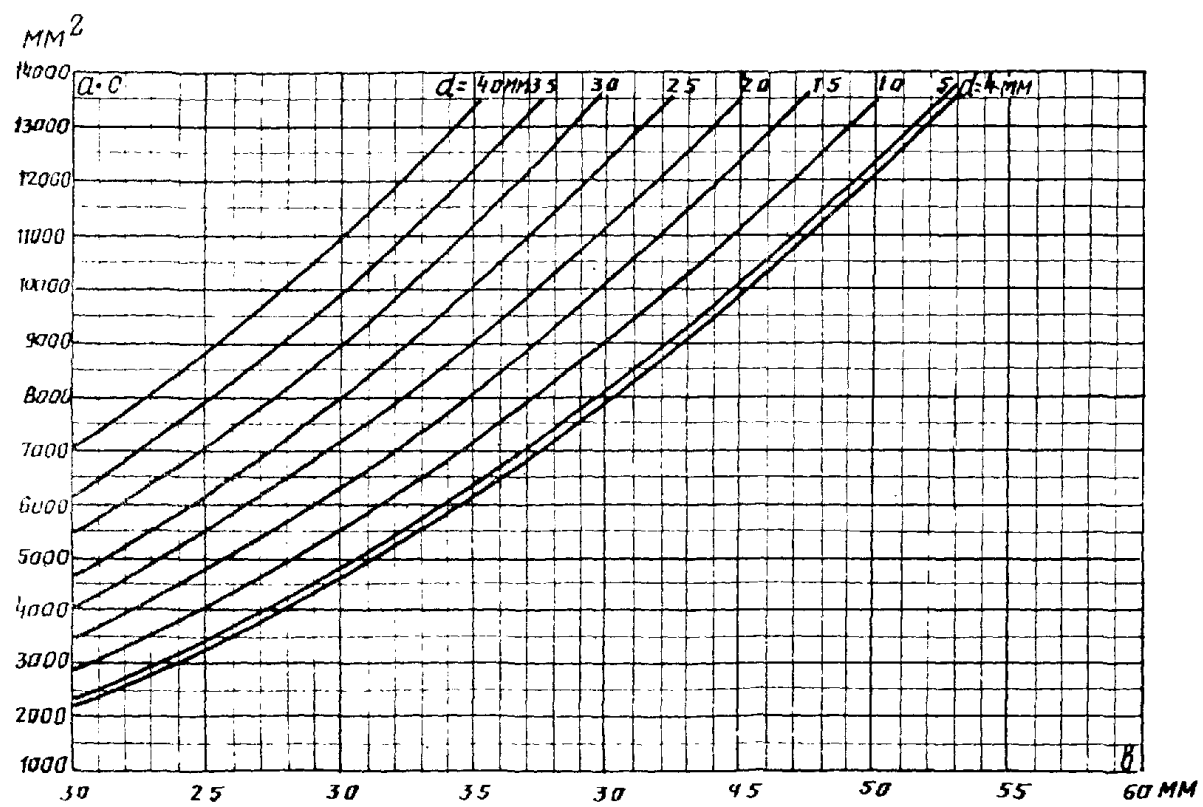
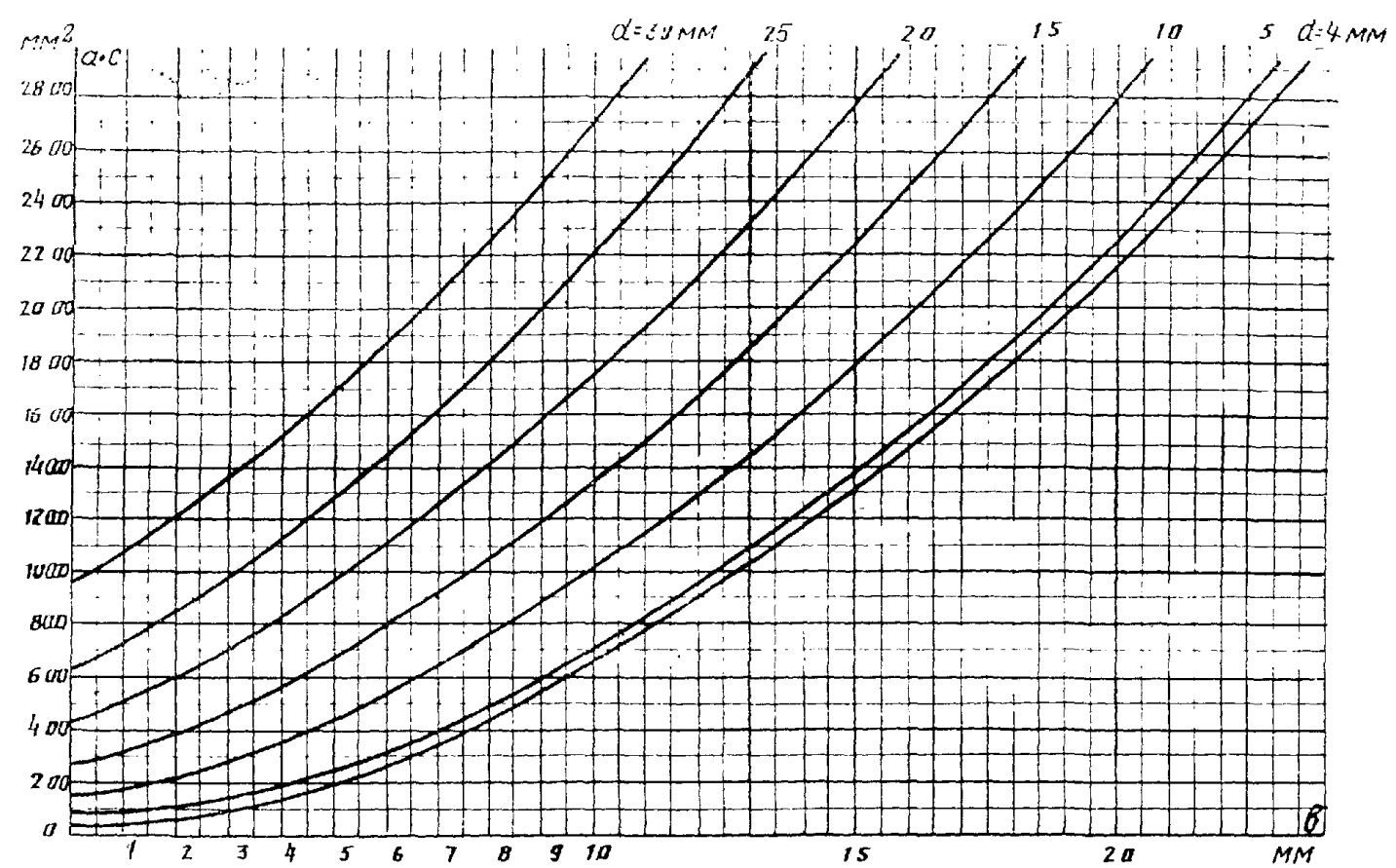


Рис. 50

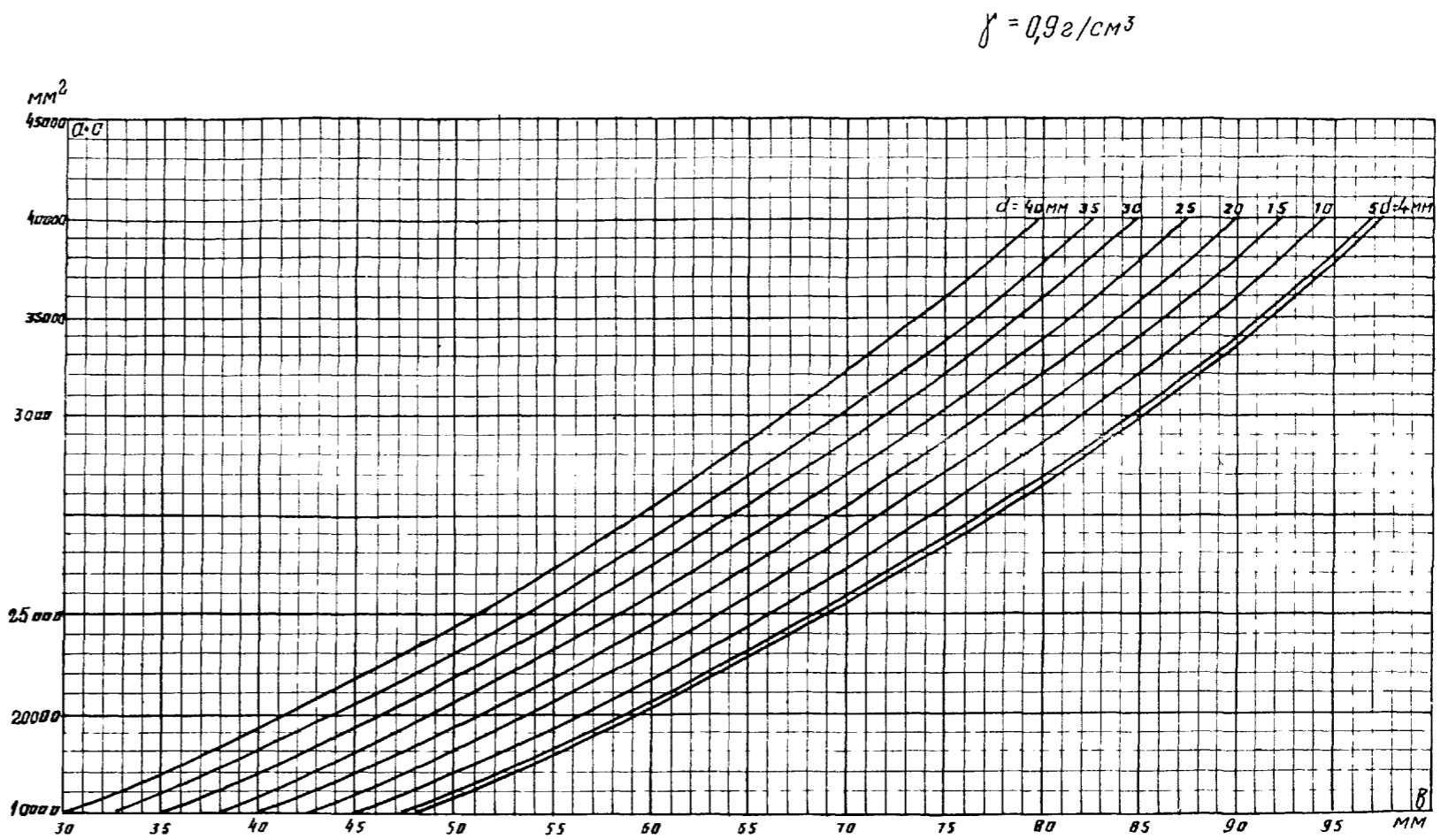
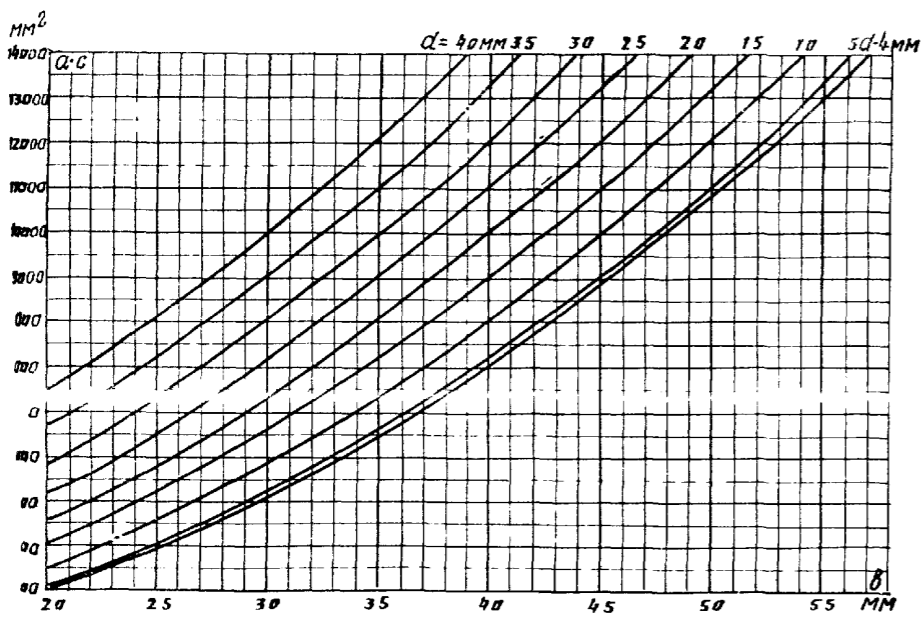
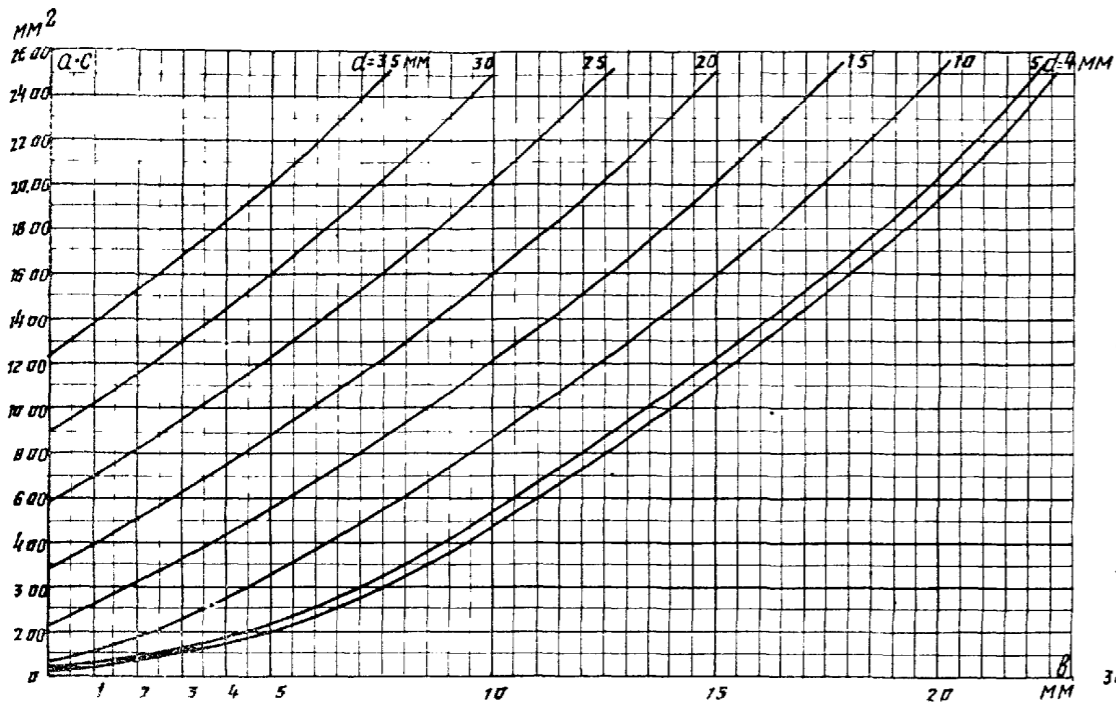


Рис.5I